

### Università degli Studi di Trieste

Dipartimento di Ingegneria e Architettura

Laurea Magistrale: Ingegneria Civile

Corso : Strade Ferrovie ed Aeroporti (284MI-2)



## Lezione 04: Rotatorie e zone di scambio

## Roberto Roberti

Tel.: 040 558 3588

E-mail: roberto.roberti@dia.units.it



Anno accademico 2021/2022

## **Sommario**

Cenni storici

Tipi di rotatorie

Classificazione rotatorie

Vantaggi e svantaggi rotatorie

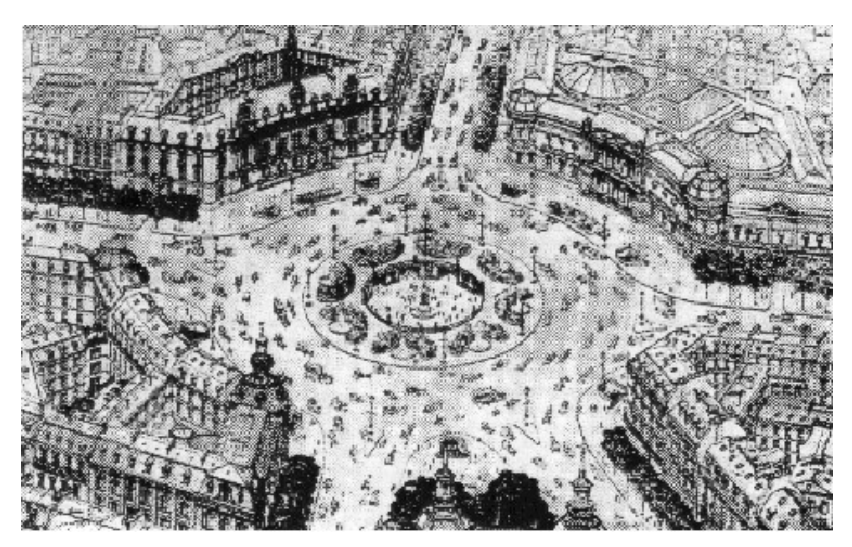
Caratteristiche geometriche delle rotatorie

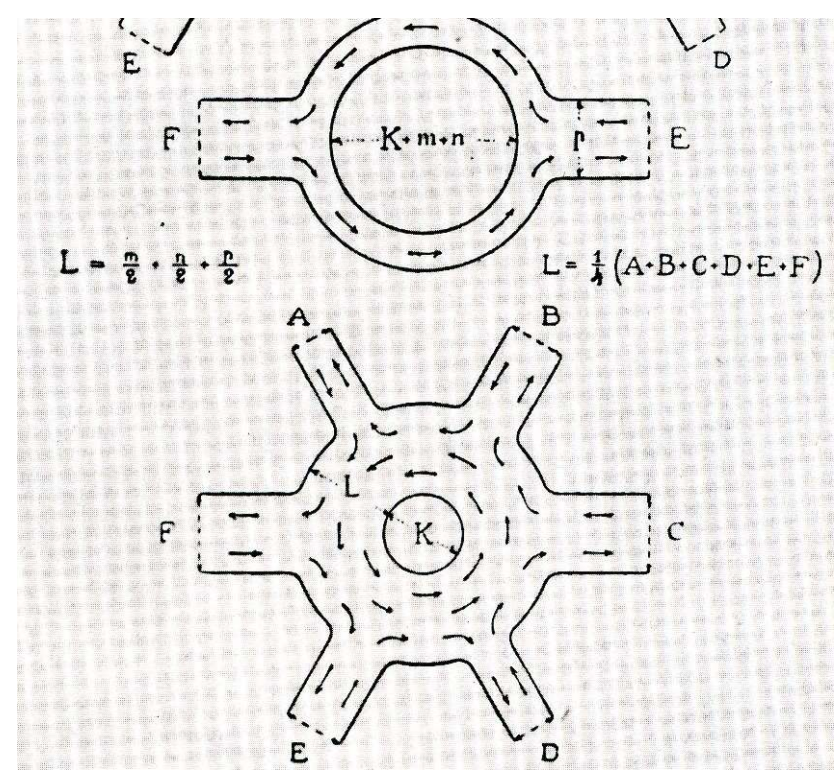
Capacità rotatorie

Sicurezza delle rotatorie

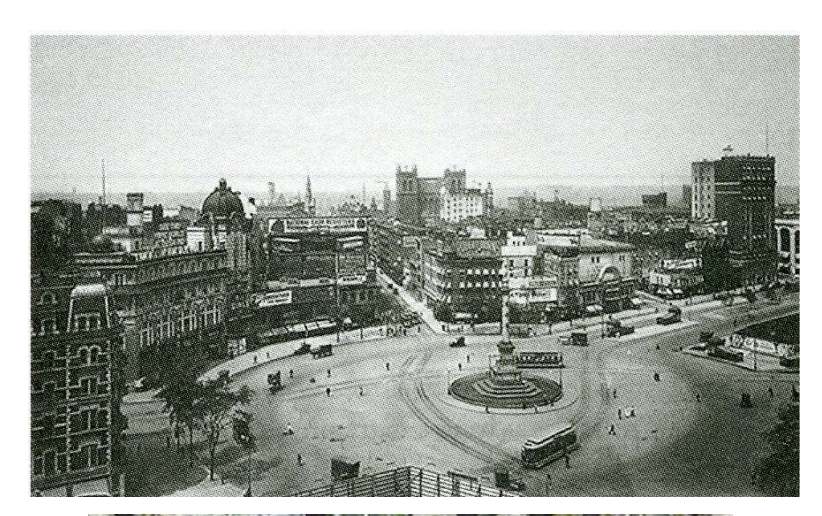
Zone di scambio

## Cenni storici sulle rotatorie (1)





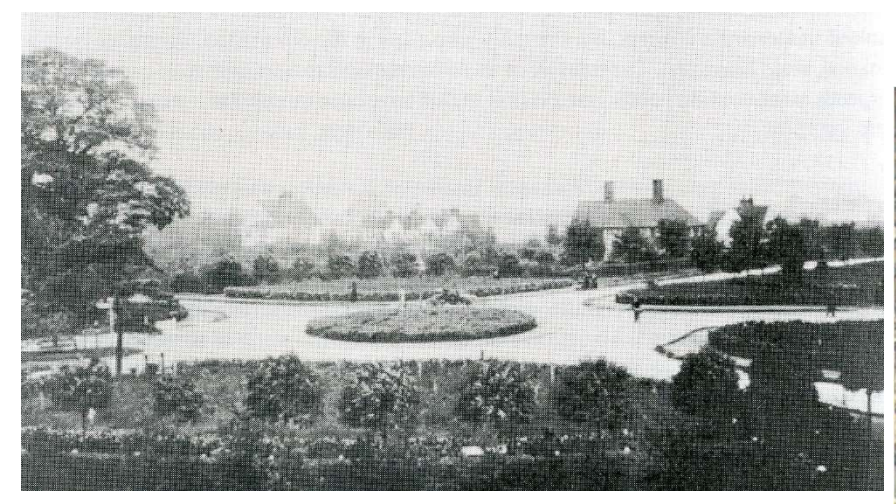
## Cenni storici sulle rotatorie (2)

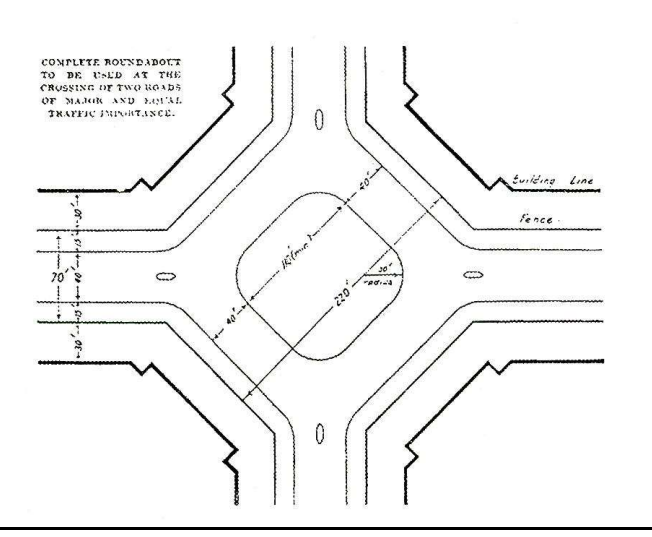


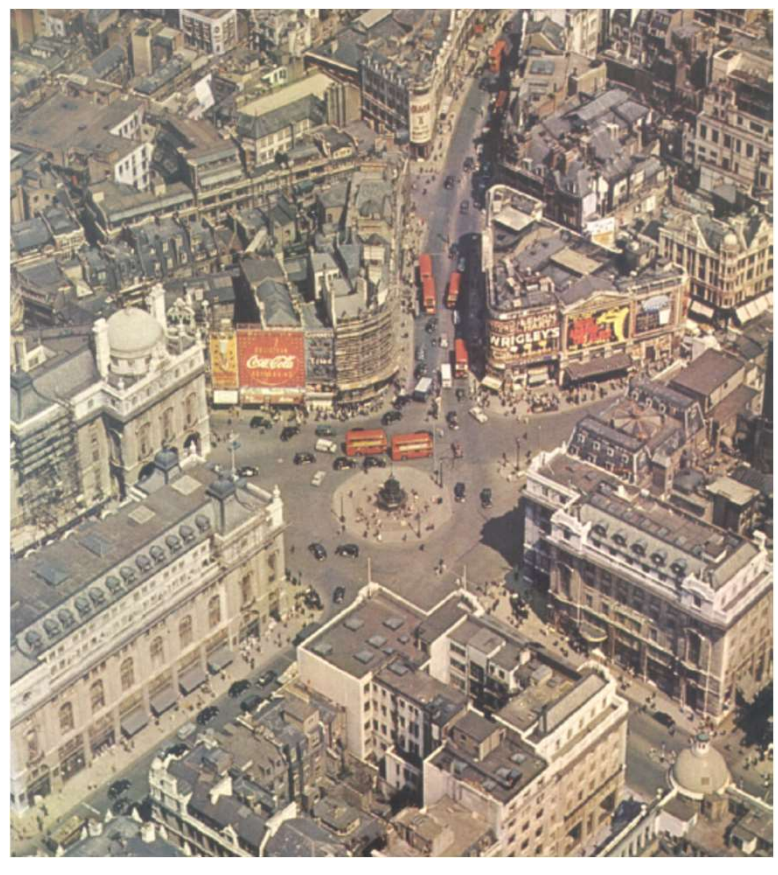




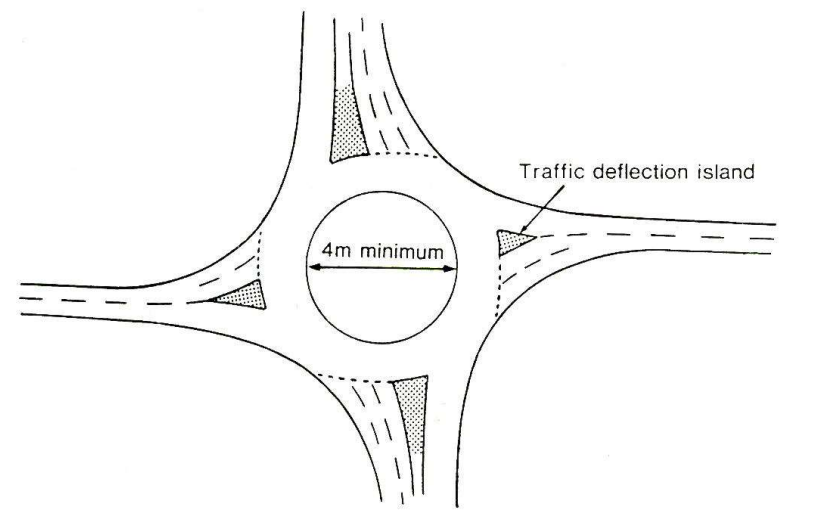
## Cenni storici sulle rotatorie (3)

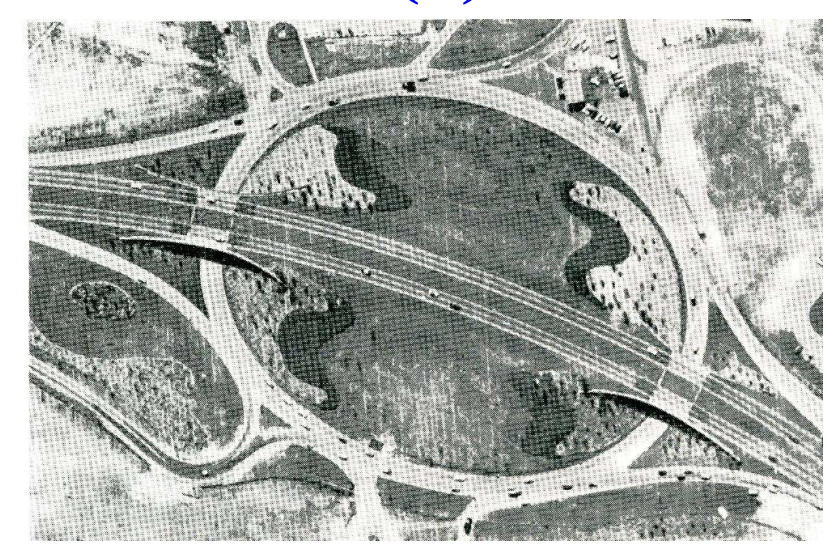






## Cenni storici sulle rotatorie (4)







## Definizione di rotatoria

Intersezione a raso costituita da un anello, in cui confluiscono i bracci dell'intersezione, che viene percorso a senso unico in direzione antioraria.

Un'intersezione stradale risolta a rotatoria va accompagnata lungo i rami di approccio da idonea segnaletica, se necessario anche integrativa rispetto a quella di preavviso, e da eventuali ulteriori strumenti di regolazione della velocita.





Figura II 27 Art. 96

## CIRCOLAZIONE ROTATORIA Presegnala sulle strade extraurbane una intersezione regolata con circolazione rotatoria



Figura II 84 Art. 122

#### **ROTATORIA**

Indica la presenza di una intersezione, un'area, una piazza, ecc. nella quale la circolazione è regolata a rotatoria secondo il senso indicato dalle frecce

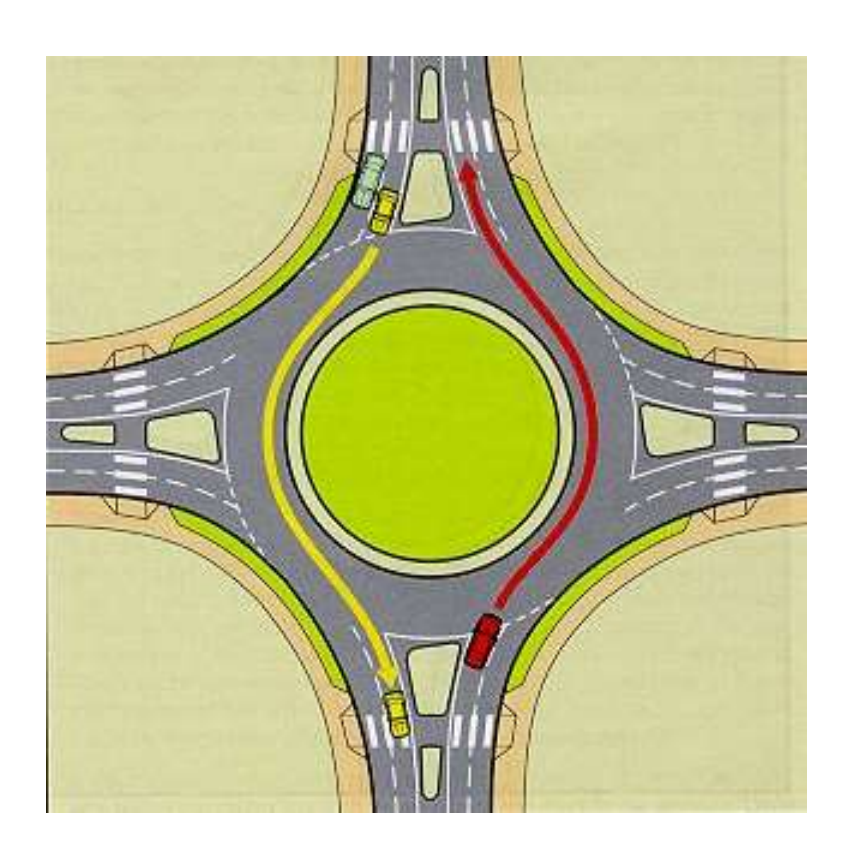
## Caratteristiche delle rotatorie

Isola centrale inaccessibile circondata da un anello percorso dal traffico proveniente da più entrate

Circolazione nell'anello a senso unico antiorario non necessariamente con diritto di precedenza

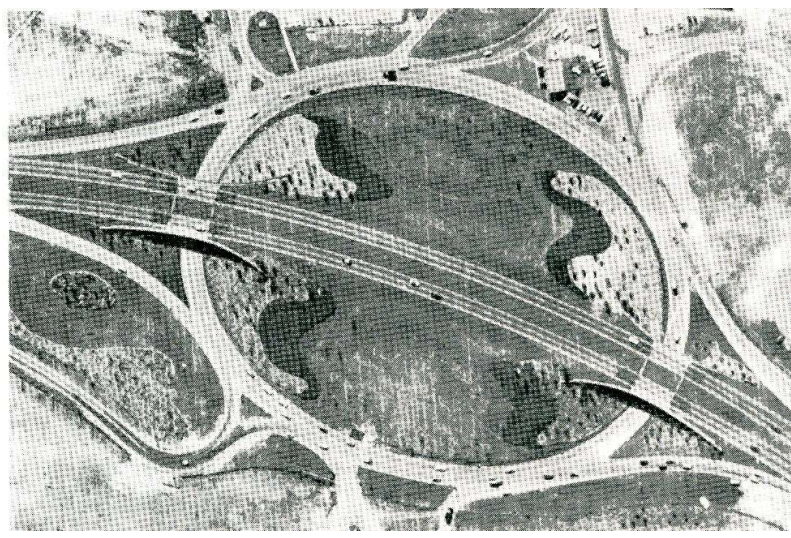
Riduzione di velocità imposta dalla deflessione delle traiettorie

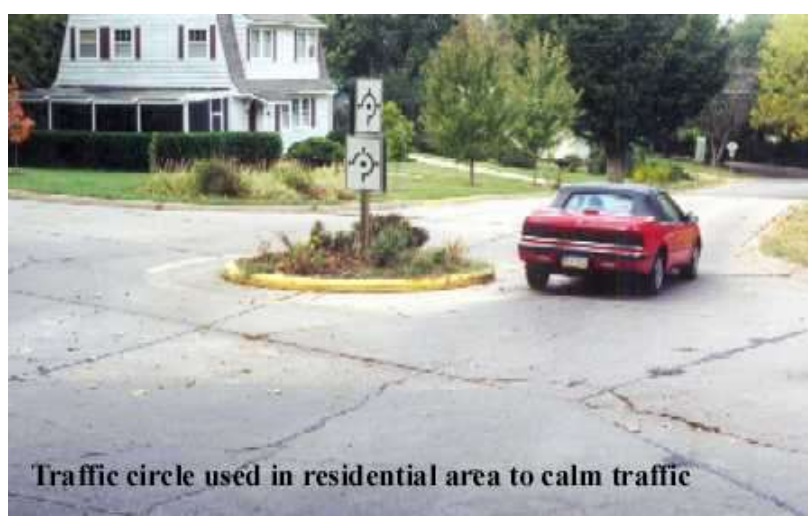
La regolazione della circolazione è affidata all'utente con il criterio della precedenza non necessariamente sull'anello



# Tipi di rotatorie

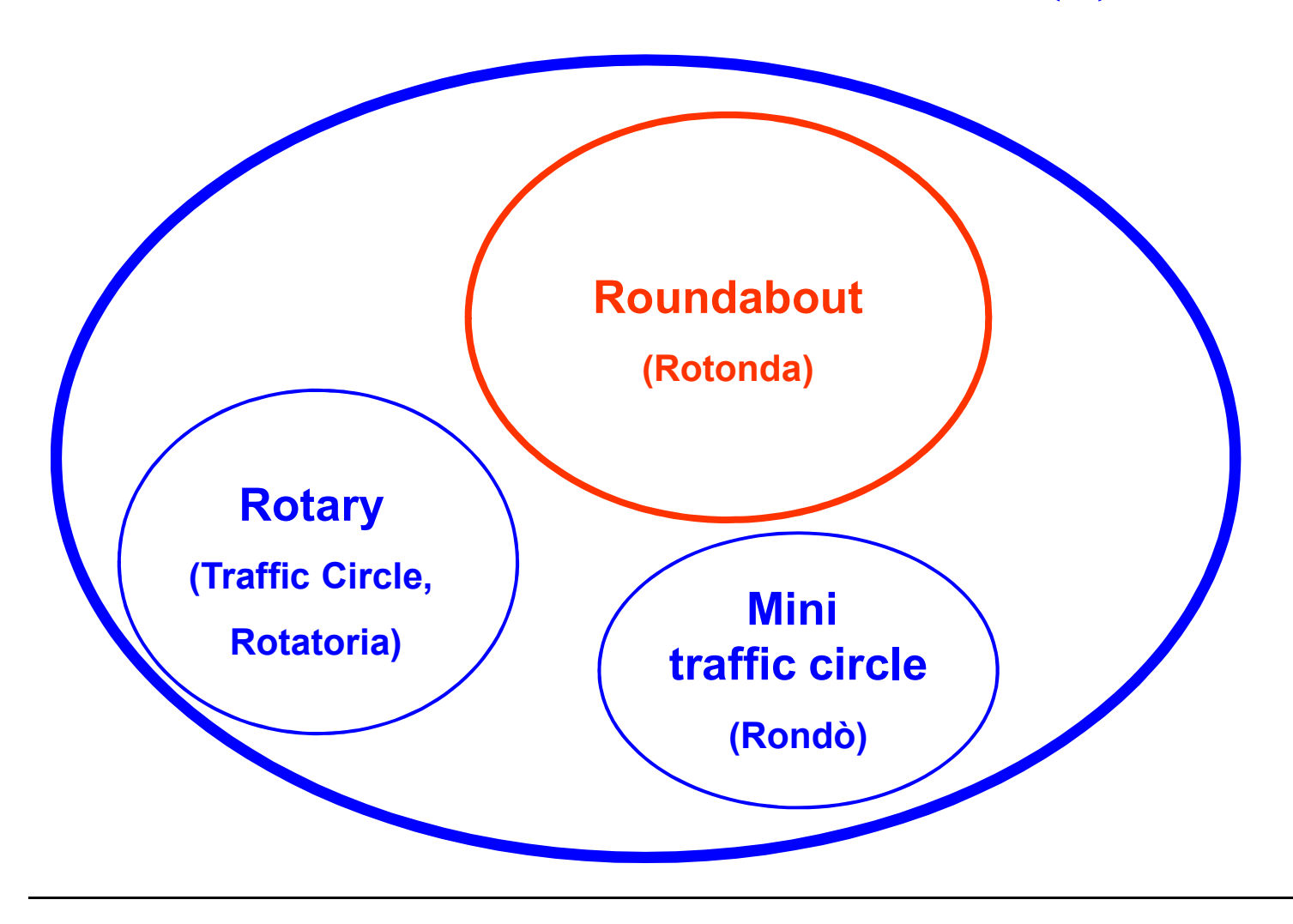








## Rotatorie, rotonde e.. (1)



# Rotatorie, rotonde e.. (2)





Table S.1: Distinguishing Features of Roundabouts and Traffic Circles

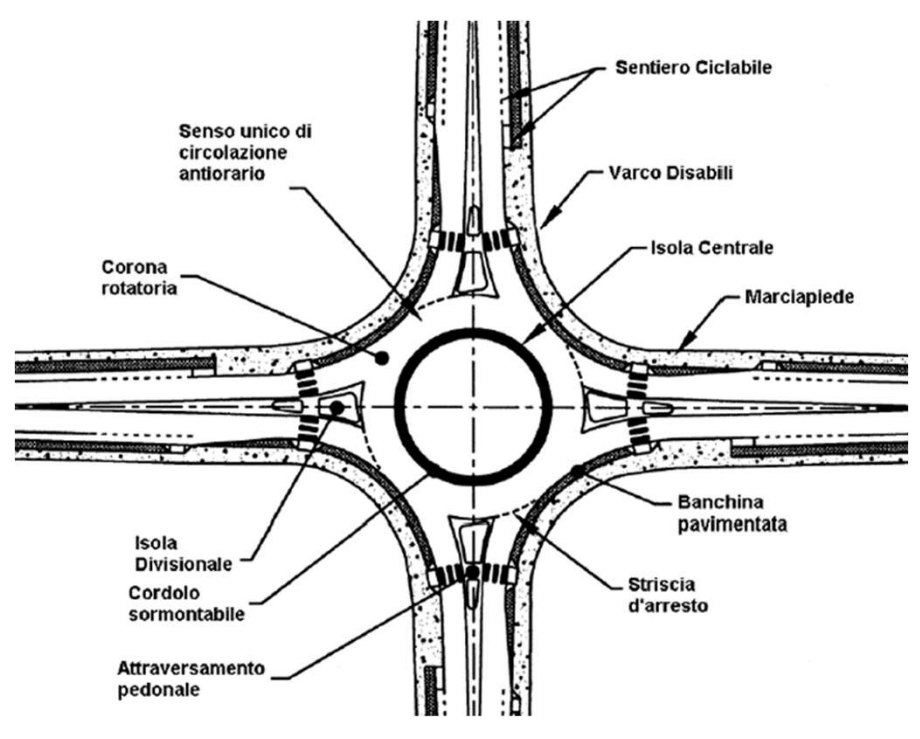
	Modern Roundabout	Traffic Circle
Control at Entry	Yield sign for entering vehicles.	Stop, signal, or give priority to entering vehicles.
Operational	Vehicles in the roundabout will have a	Allow weaving areas to resolve the conflicted
Characteristics	priority over the entering vehicle.	movement.
Deflection	Use deflection to control the low speed	Some large traffic circles provide straight path
	operation through roundabout.	for major movement with higher speed.
Parking	No parking is allowed on the	Some larger traffic circles permit parking within
	circulating roadway.	the circulating roadway.
Pedestrian Crossing	No pedestrian activities take place on	Some larger traffic circles provide for pedestrian
	the central island.	crossing to, and activities on, the central island.
Turning Movement	All vehicles circulate around the central	Mini-traffic circles, left-turning vehicles are
	island.	expected to pass to the left of the central island.
Splitter Island	Required.	Optional.

# Rotatorie, rotonde e.. (3)





## Classificazione delle rotatorie (1)



Si considerano tre tipologie fondamentali di rotatorie in base al diametro della circonferenza esterna (limite della corona rotatoria):

- rotatorie CONVENZIONALI con diametro esterno compreso tra 40 e 50 m;
- rotatorie COMPATTE con diametro esterno compreso tra 25 e 40 m;
- MINI rotatorie con diametro esterno compreso tra 14 e 25 m.

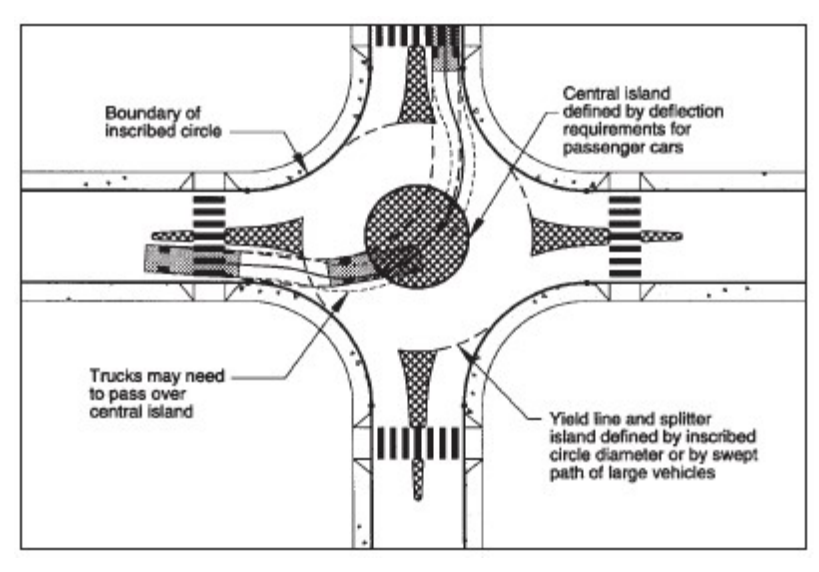
Per sistemazioni con "circolazione rotatoria", che non rientrano nelle tipologie su esposte, il dimensionamento e la composizione geometrica debbono essere definiti con il principio dei tronchi di scambio tra due bracci contigui. In questi casi le immissioni devono essere organizzate con appositi dispositivi.

## Classificazione delle rotatorie (2)

Design Element	Mini- Roundabout	Urban Compact	Urban Single-Lane	Urban Double-Lane	Rural Single-Lane	Rural Double-Lane
Recommended maximum entry design speed	25 km/h (15 mph)	25 km/h (15 mph)	35 km/h (20 mph)	40 km/h (25 mph)	40 km/h (25 mph)	50 km/h (30 mph)
Maximum number of entering lanes per approach	1	1	1	2	1	2
Typical inscribed circle diameter¹	13 m to 25 m (45 ft to 80 ft)	25 to 30 m (90 to 100 ft)	30 to 40 m (100 to 130 ft)	45 to 55 m (150 to 190 ft)	35 to 40 m (115 to 130 ft)	55 to 60 m (180 to 200 ft)
Splitter island treatment	Raised if possible, crosswalk cut if raised	Raised, with crosswalk cut	Raised, with crosswalk cut	Raised, with crosswalk cut	Raised and extended, with crosswalk cut	Raised and extended, with crosswalk cut
Typical daily service volumes on 4-leg roundabout (veh/day)	10,000	15,000	20,000	Refer to Chapter 4 procedures	20,000	Refer to Chapter 4 procedures

<sup>1.</sup> Assumes 90-degree entries and no more than four legs.

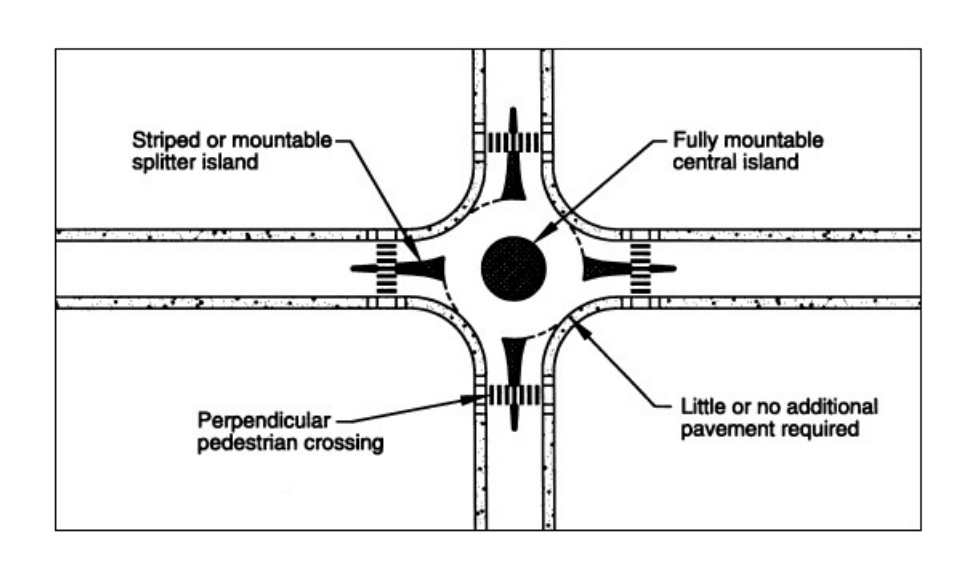
## Mini rotatorie (1)





Un ulteriore elemento distintivo tra le tre tipologie fondamentali di attrezzatura rotatoria e rappresentato dalla sistemazione dell'isola circolare centrale, che può essere resa in parte transitabile per le manovre dei veicoli pesanti, nel caso di mini-rotatorie con diametro esterno compreso fra 25 e 18 m, mentre lo diventa completamente per quelle con diametro compreso fra 18 e 14 m;

## Mini rotatorie (2)





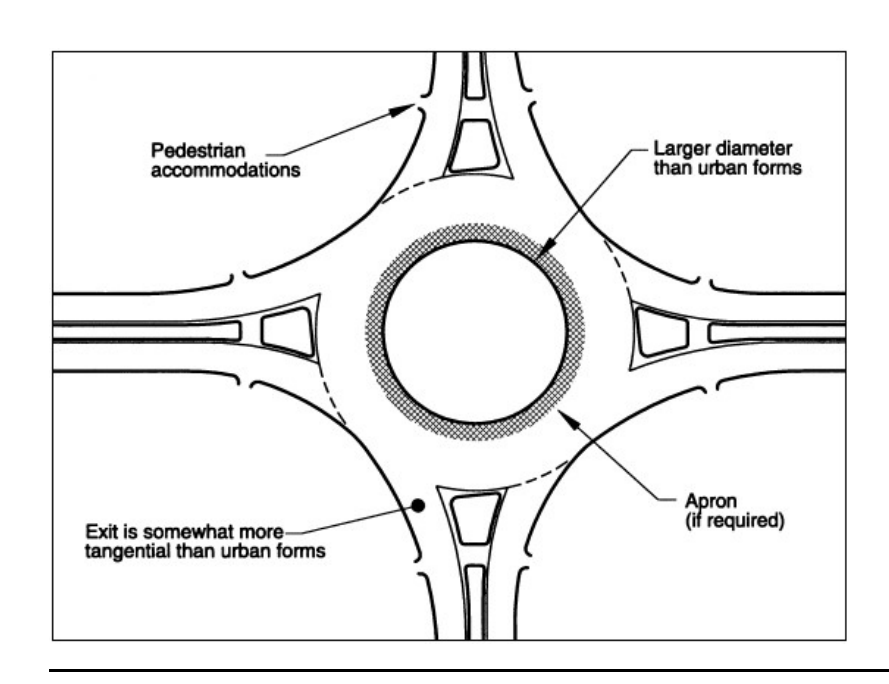
In base alla classificazione delle intersezioni riportata nel capitolo 3 (delle norma del 2006), in ambito extraurbano l'adozione di mini rotatorie viene limitata agli incroci tipo F/F tra strade locali, ......

## **Rotatorie compatte (1)**

..... le rotatorie compatte sono invece caratterizzate da bordure non sormontabili dell'isola centrale.

In ambito extraurbano le rotatorie compatte sono consentite anche per gli incroci tipo C/C, C/F, F/C.

### Rotatorie Extra-urbane Compatte a singola corsia

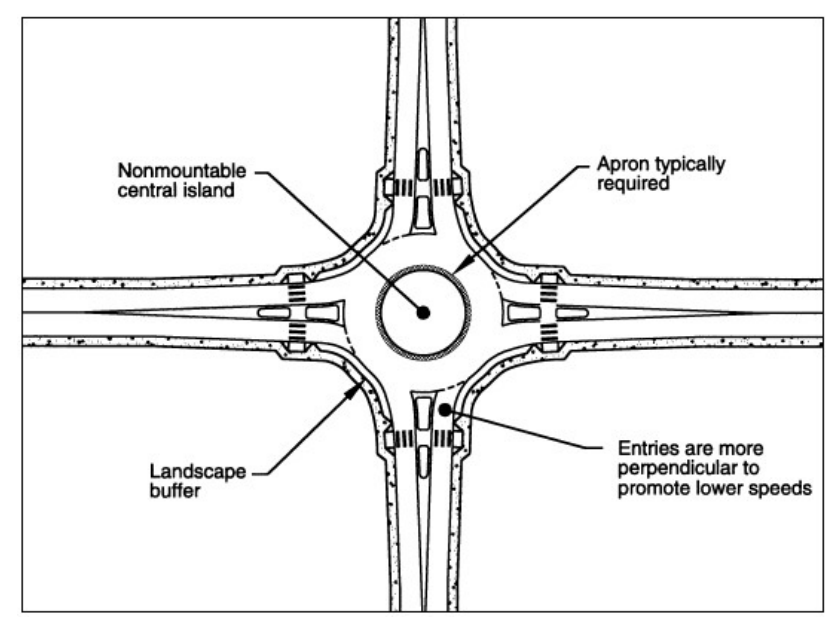




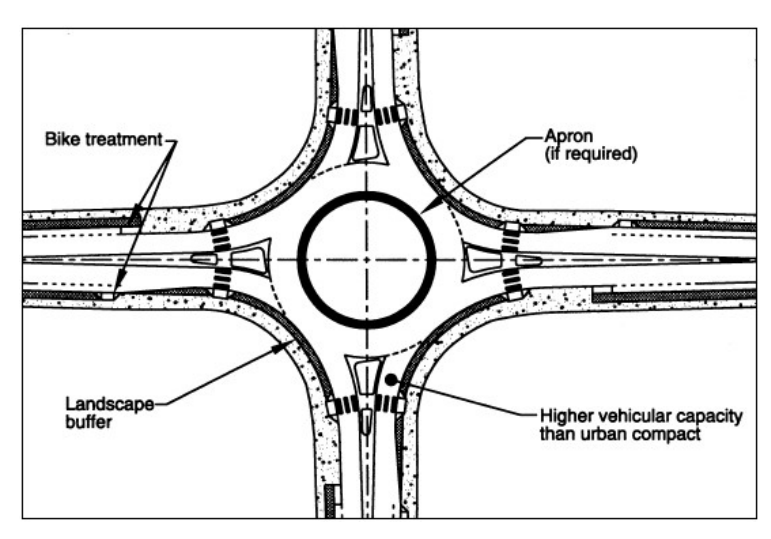
## **Rotatorie Compatte (2)**

### **Rotatorie Urbane Compatte**





## Rotatorie convenzionali (1)

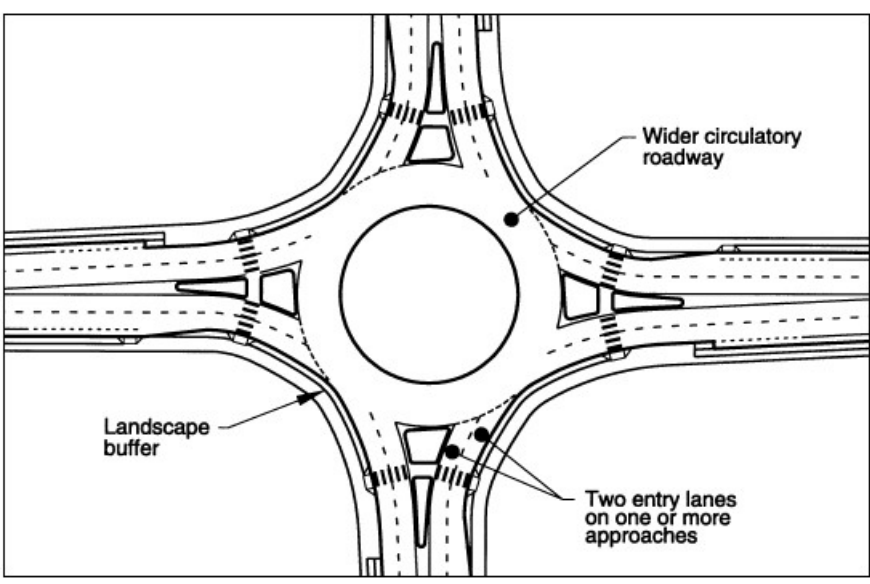


Rotatorie Urbane a doppia corsia



Rotatorie Urbane a singola corsia

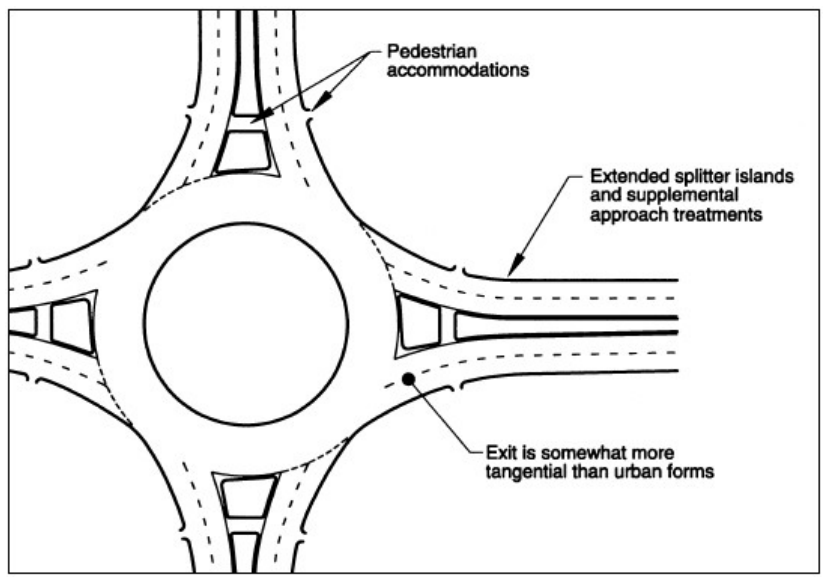




## Rotatorie convenzionali (2)

Rotatorie Extra- urbane a doppia corsia





# Vantaggi e svantaggi delle rotatorie (1) Table S.2: Advantages and Disadvantages Comparison

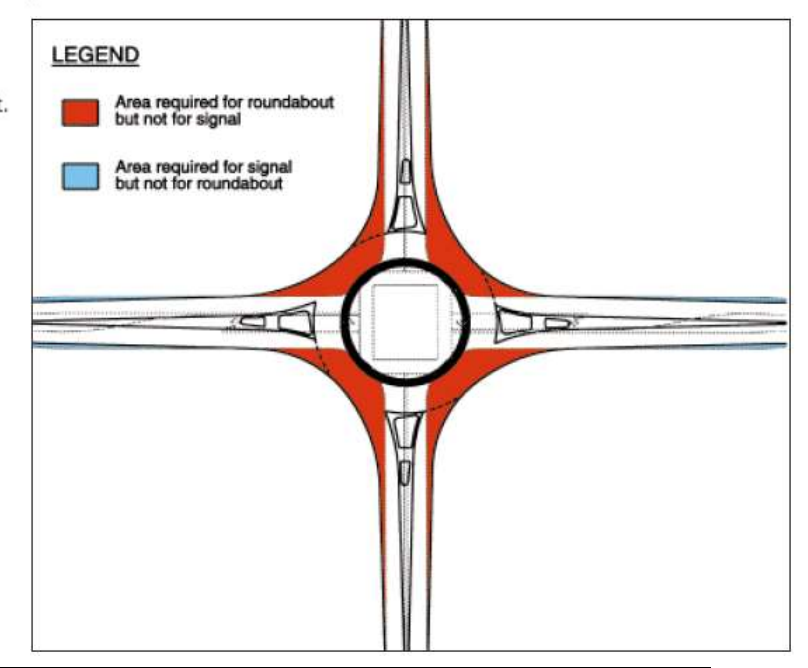
Category	Advantages	Disadvantages
Safety	There are a reduced number of conflict points compared to uncontrolled intersection.     Lower operational speeds yield less severe and	- Since roundabouts are unfamiliar to the average driver in the US, there is likely to be an initial period where accidents increase.
	fewer accidents Slower speeds because of intersection geometry	- Signalized intersections can preempt control for emergency vehicles.
	reduce accidents.	
Capacity	- Traffic <i>yields</i> rather than <i>stops</i> , often resulting in the acceptance of smaller gaps For isolated intersections, roundabouts should give higher capacity/lane than signalized intersections due to the omission of lost time (red and yellow) at signalized intersections.	Where the coordinated signal network can be used, a signalized intersection will increase the overall capacity of the network.     Signals may be preferred at intersections that periodically operate at higher than designed capacities.
Delay	Overall delay will probably be less than for an equivalent volume signalized intersection (this does not equate to a higher level of service).     During the off-peak, signalized intersections with no retiming produce unnecessary delays to stopped traffic when gaps on the other flow are available.	Drivers may not like the geometric delays which force them to divert their cars from straight paths.     When queuing develops, entering drivers tend to force into the circulating streams with shorter gaps. This may increase the delays on other legs and the number of accidents.
Cost	- In general, less right-of-way is required Maintenance costs of signalized intersections include electricity, maintenance of loops, signal heads, controller, timing plans (roundabout maintenance includes only landscape maintenance, illumination, and occasional sign replacement) Accident costs are low due to the low number of accidents and severity.	Construction costs may be higher.     In some locations, roundabouts may require more illumination, increasing costs.
Pedestrians and Bicyclists	A splitter island provides a refuge for pedestrians that will increase safety.     At low speed and low traffic volume, roundabouts should improve safety for bicyclists.	- A splitter island may cause difficulty to people using wheelchairs Tight dimensions of roundabouts create an uncomfortable feeling to bicyclists Longer paths increase travel distances for both pedestrians and bicyclists Roundabouts may increase delay for pedestrians seeking acceptable gaps to cross.

## Vantaggi e svantaggi delle rotatorie (2)

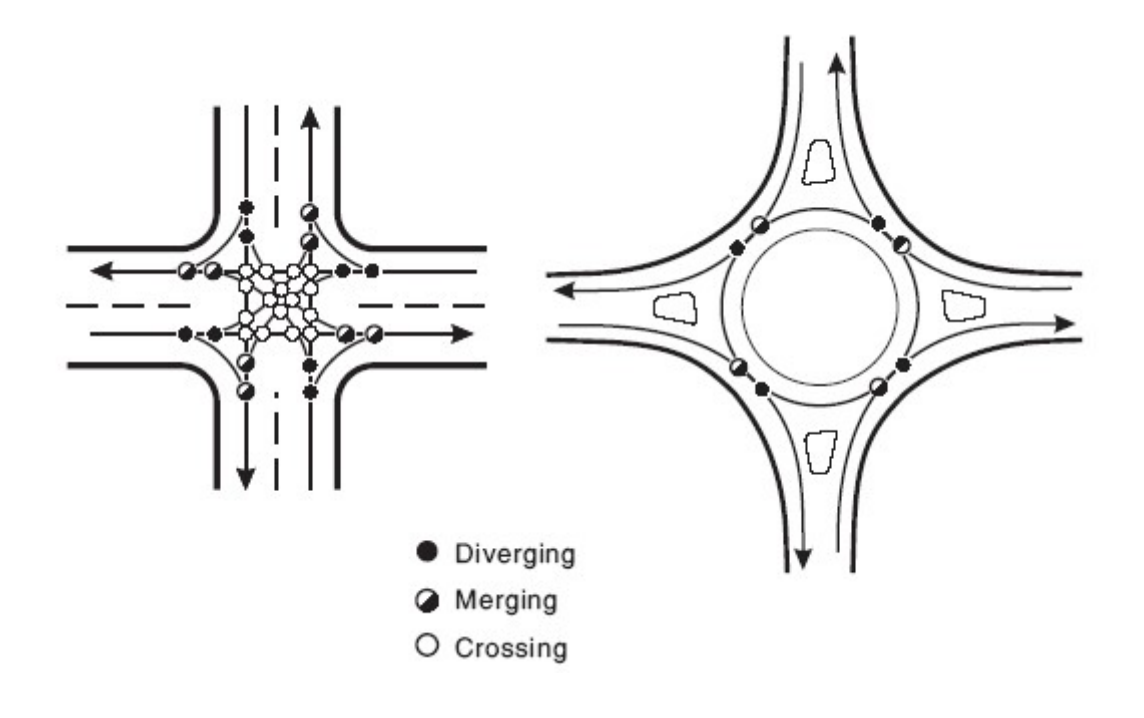
Type of		Roundabout			Roundabout			Percent Change 5		
	Sites	Total	Inj.³	PDO <sup>4</sup>	Total	lnj.	PDO	Total	lnj.	PDO
Small/Moderate <sup>1</sup>	8	4.8	2.0	2.4	2.4	0.5	1.6	-51%	73%	-32%
Large <sup>2</sup>	3	21.5	5.8	15.7	15.3	4.0	11.3	-29%	-31%	-10%
Total	11	9.3	3.0	6.0	5.9	1.5	4.2	-37%	-51%	-29%

#### Notes:

- 1. Mostly single-lane roundabouts with an inscribed circle diameter of 30 to 35 m (100 to 115 ft).
- 2. Multilane roundabouts with an inscribed circle diameter greater than 50 m (165 ft).
- 3. Inj. Injury crashes
- 4. PDO Property Damage Only crashes
- 5. Only injury crash reductions for small/moderate roundabouts were statistically significant.



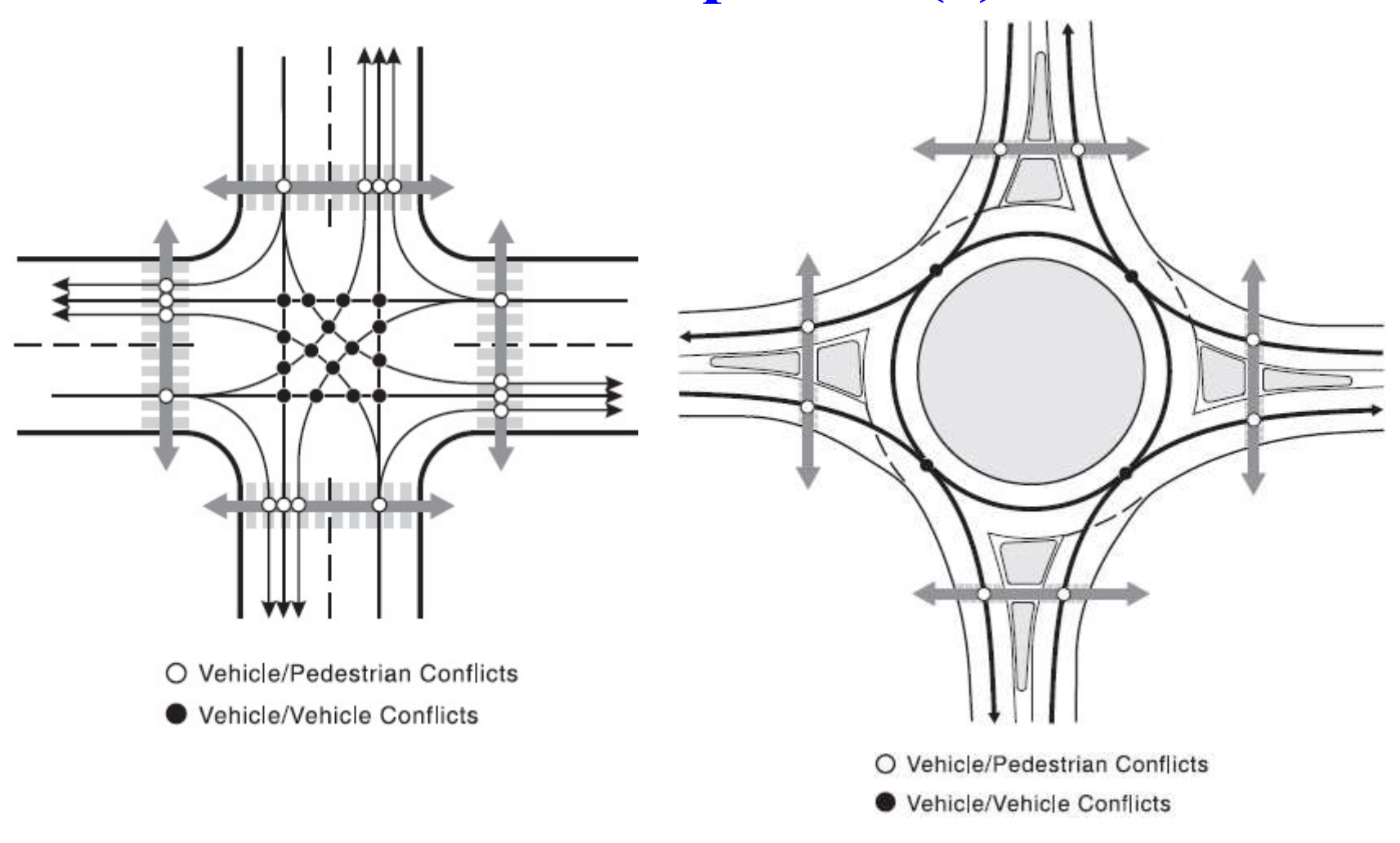
## Riduzione dei punti di conflitto



**PUNTI DI CONFLITTO** 

32 8

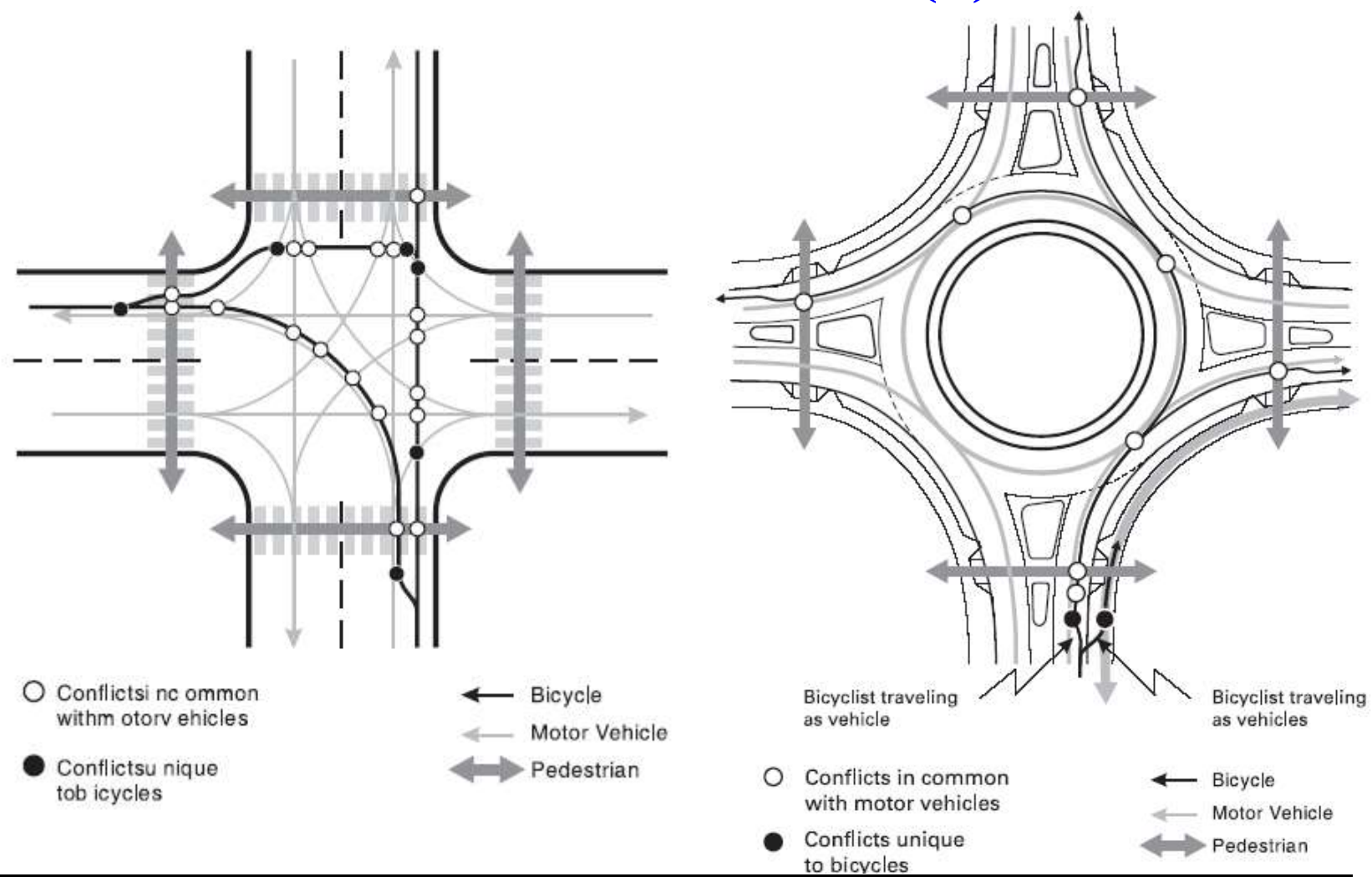
## Rotatorie e pedoni (1)



# Rotatorie e pedoni (2)

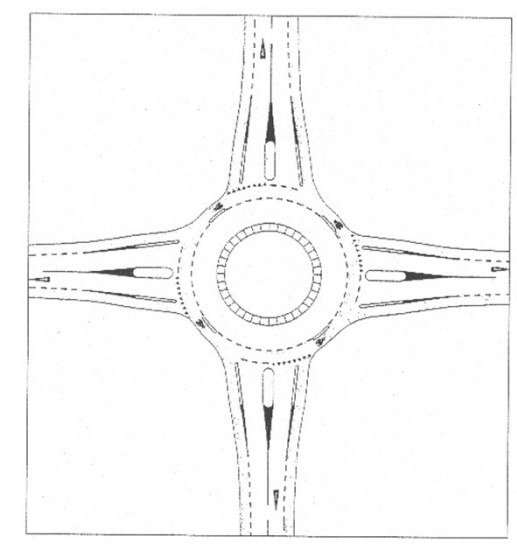


## Rotatorie e ciclisti (1)

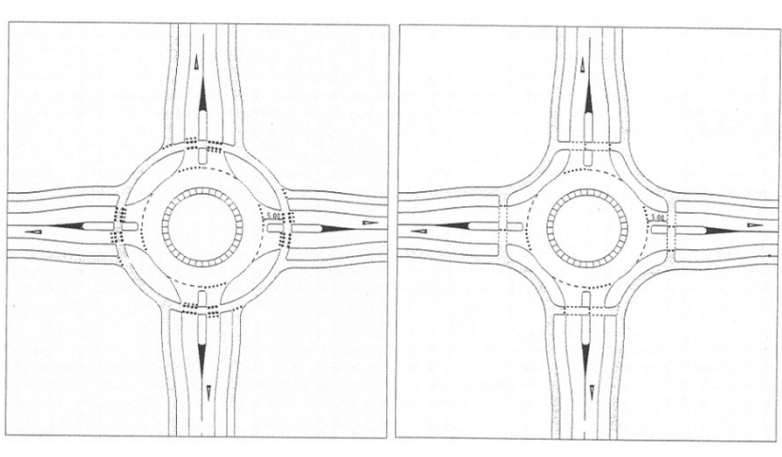


# Rotatorie e ciclisti (2)







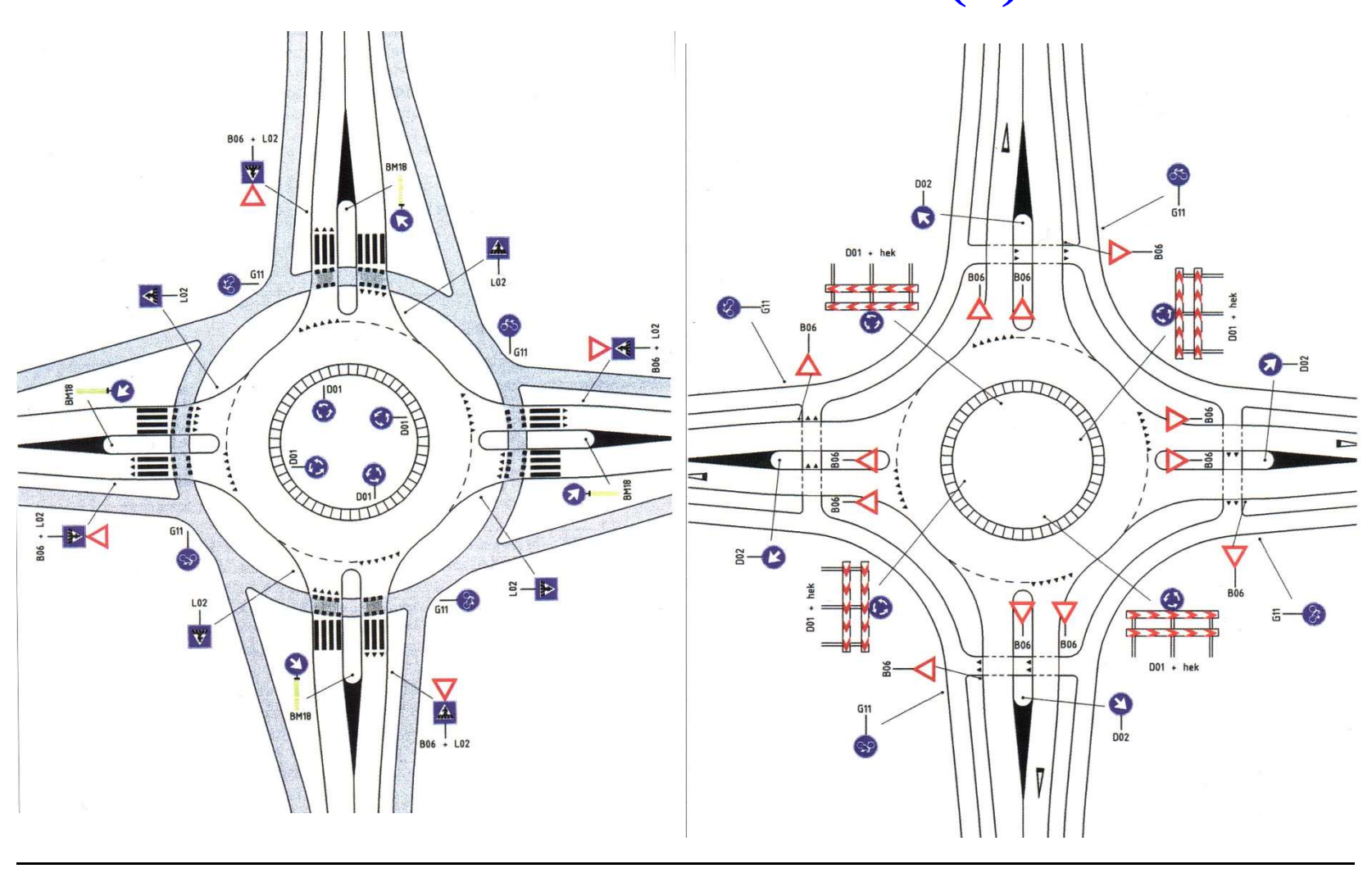


# Rotatorie e ciclisti (3)

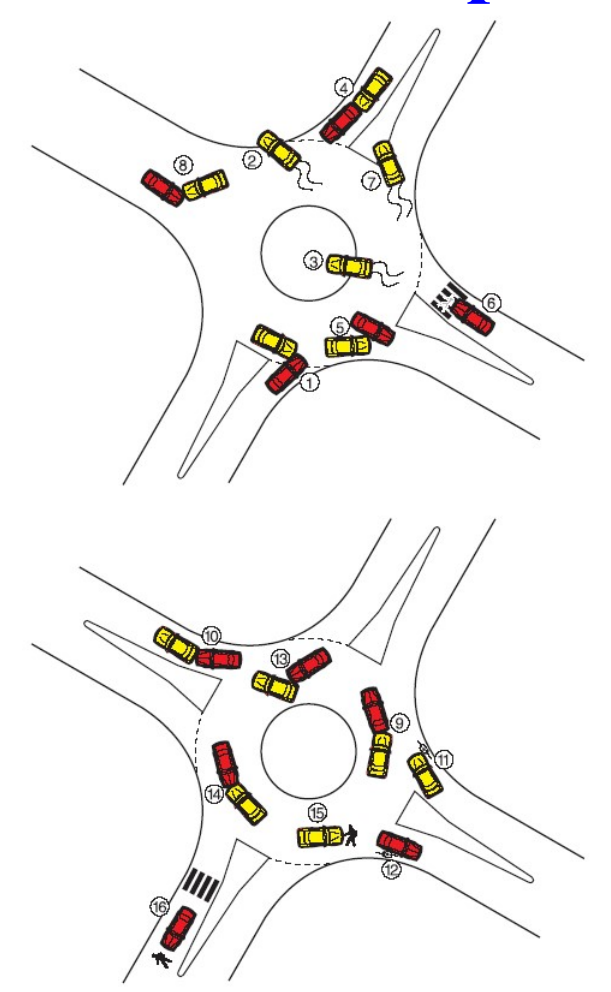


28

## Rotatorie e ciclisti (4)



## Tipologia di incidenti



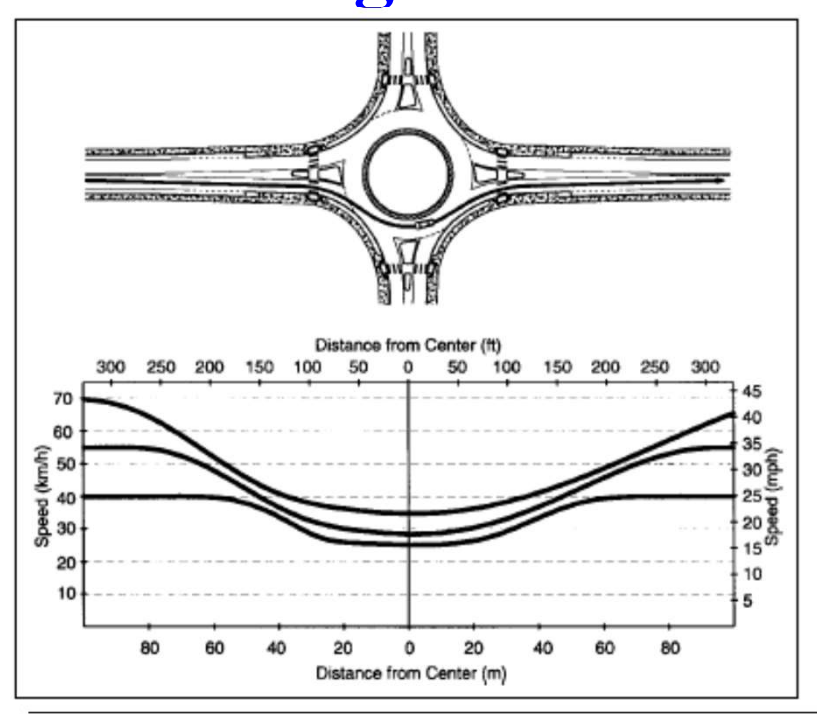
Collision Type	France	Queensland (Australia)	United Kingdom
Failure to yield at entry (entering-circulating)	36.6%	50.8%	71.1%
Single-vehicle run off the circulatory roadway	16.3%	10.4%	8.2%²
Single vehicle loss of control at entry	11.4%	5.2%	2
4. Rear-end at entry	7.4%	16.9%	7.0%³
5. Circulating-exiting	5.9%	6.5%	
6. Pedestrian on crosswalk	5.9%		3.5%4
7. Single vehicle loss of control at exit	2.5%	2.6%	2
8. Exiting-entering	2.5%		
9. Rear-end in circulatory roadway	0.5%	1.2%	
10. Rear-end at exit	1.0%	0.2%	
11. Passing a bicycle at entry	1.0%		
12. Passing a bicycle at exit	1.0%		
13. Weaving in circulatory roadway	2.5%	2.0%	
14. Wrong direction in circulatory roadway	1.0%		
15. Pedestrian on circulatory roadway	3.5%		4
16. Pedestrian at approach outside crosswalk	1.0%		4
Other collision types		2.4%	10.2%
Other sideswipe crashes		1.6%	

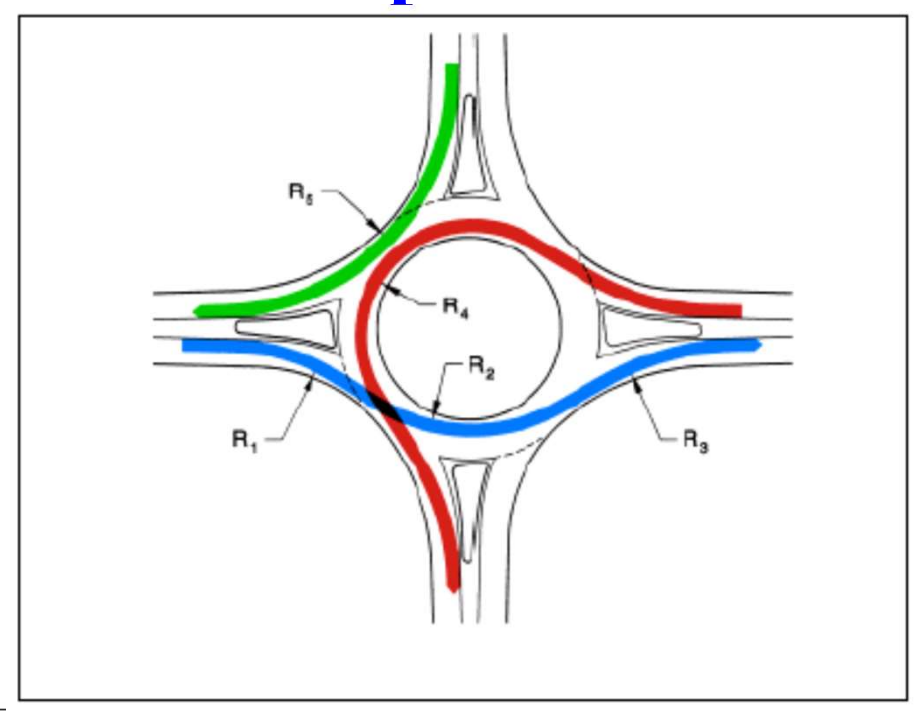
#### Motoc

- 1. Data are for "small" roundabouts (curbed central islands > 4 m [13 ft] diameter, relatively large ratio of inscribed circle diameter to central island size)
- 2. Reported findings do not distinguish among single-vehicle crashes.
- 3. Reported findings do not distinguish among approaching crashes.
- 4. Reported findings do not distinguish among pedestrian crashes.

Sources: France (12), Australia (13), United Kingdom (1)

## Congruenza delle velocità operative

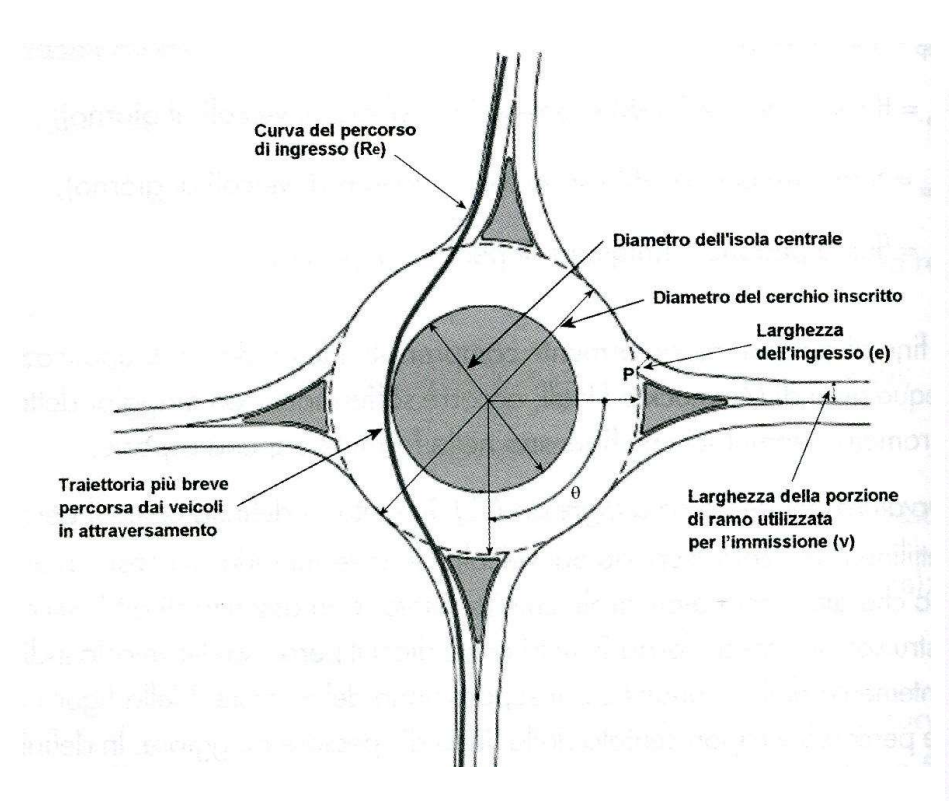




Site Category	Recommended Maximum Entry Design Speed				
Mini-Roundabout	25 km/h (15 mph)				
Urban Compact	25 km/h (15 mph)				
Urban Single Lane	35 km/h (20 mph)				
Urban Double Lane	40 km/h (25 mph)				
Rural Single Lane	40 km/h (25 mph)				
Rural Double Lane	50 km/h (30 mph)				

R1<R2<R3

## Modelli di incidentalità (1)



Modello di Maycock ed Hall

### 1) Incidenti tra veicoli entranti e circolanti

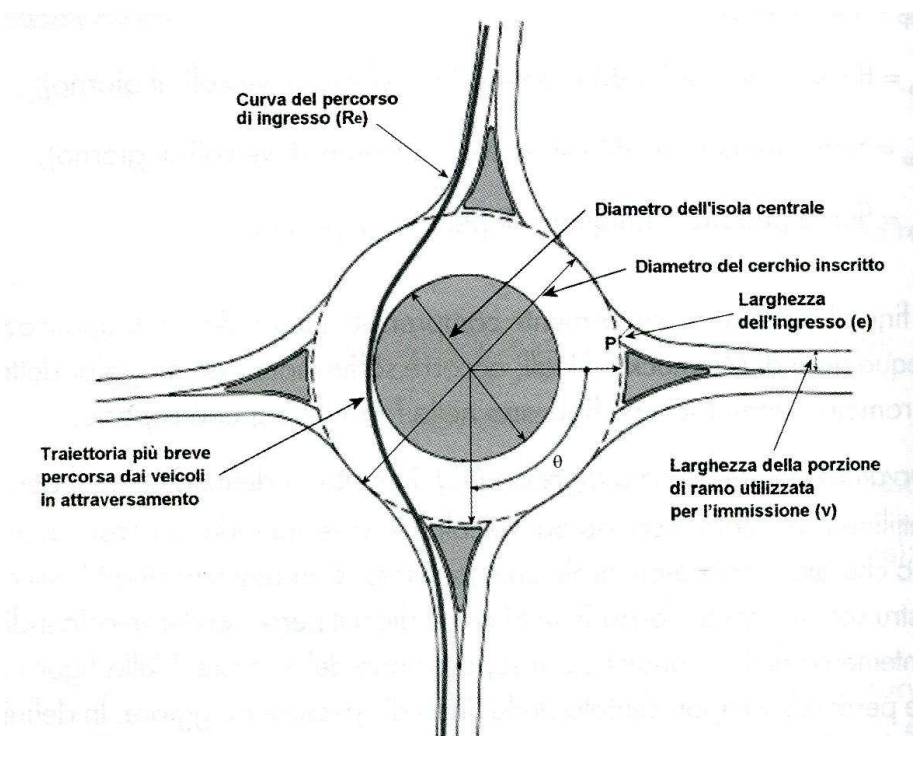
$$A = 0.052 \cdot Q_e^{0.7} \cdot Q_c^{0.4} \cdot exp \left( -40 \cdot C_e + 0.14 \cdot e - 0.007 \cdot e \cdot v - \frac{1}{1 + exp(4 \cdot R - 7)} + 0.2 \cdot P_m - 0.01 \cdot \theta \right)$$

#### dove:

- > A = incidenti annui (con feriti e/o morti) per ramo della rotatoria;
- > Q<sub>e</sub> = flusso entrante (TGM espresso in migliaia di veicoli al giorno);
- > Q<sub>c</sub> = flusso circolante (TGM espresso in migliaia di veicoli al giorno);
- $ightharpoonup C_e$  = curvatura del percorso in ingresso = 1/  $R_e$ ;
- > R<sub>e</sub> = raggio della traiettoria più breve percorsa dai veicoli in ingresso (m);
- e = larghezza dell'entrata (m);
- > v = larghezza della porzione di ramo utilizzata per l'immissione (m);
- R = rapporto tra il diametro della corona giratoria e il diametro dell'isola centrale;
- > P<sub>m</sub> = percentuale di motocicli (%);
- $\rightarrow$   $\theta$  = angolo formato con il ramo successivo, misurato da asse ad asse (gradi).

32

## Modelli di incidentalità (2)



### 2) Incidenti in entrata

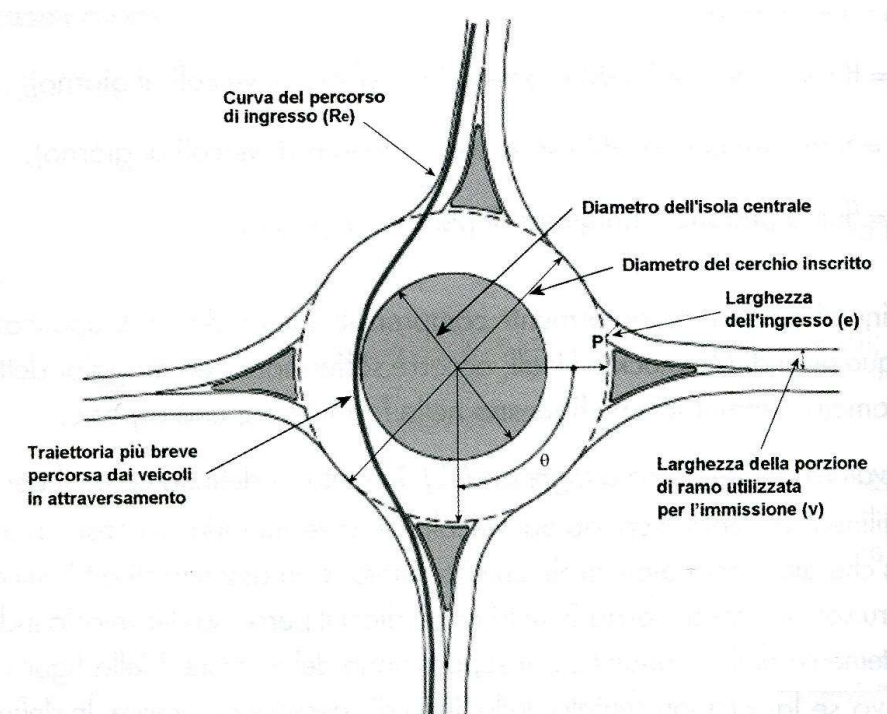
 $A = 0.0057 \cdot Q_e^{1.7} \cdot exp(20 \cdot C_e - 0.1 \cdot e)$ 

#### dove

- ➤ A = incidenti annui (con feriti e/o morti) per ingresso o ramo della rotatoria;
- > Q<sub>e</sub> = flusso entrante (TGM espresso in migliaia di veicoli al giorno);
- $ightharpoonup C_e$  = curvatura del percorso in ingresso = 1/ $R_e$ ;
- R<sub>e</sub> = raggio della traiettoria più breve percorsa dai veicoli in ingresso (m);
- e = larghezza dell'entrata (m).

Modello di Maycock ed Hall

## Modelli di incidentalità (3)



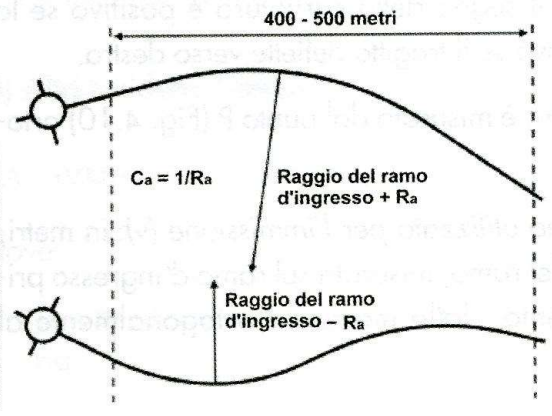
Modello di Maycock ed Hall

3) Incidenti relativi al veicolo isolato

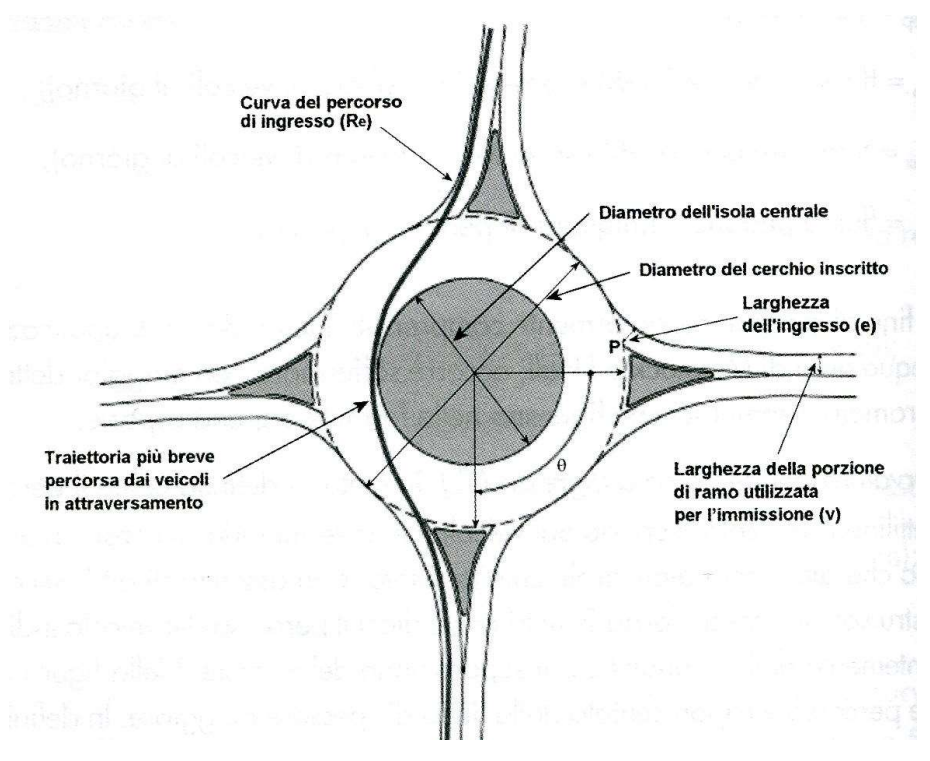
$$A = 0.0064 \cdot Q_e^{0.8} \cdot exp(25 \cdot C_e + 0.2 \cdot v - 45 \cdot C_a)$$

dove:

- A = incidenti annui (con feriti e/o morti) per ingresso o ramo della rotatoria;
- > Q<sub>e</sub> = flusso entrante (TGM espresso in migliaia di veicoli al giorno);
- $> C_e = \text{curvatura del percorso in ingresso} = 1/R_e$ ;
- > R<sub>e</sub> = raggio della traiettoria più breve percorsa dai veicoli in ingresso (m);
- > v = larghezza della porzione di ramo utilizzata per l'immissione (m);
- $ightharpoonup C_a = \text{curvatura del ramo d'ingresso} = 1/R_a;$
- R<sub>a</sub>= raggio del ramo d'ingresso (m) (definito come il raggio della curva più vicina all'intersezione all'interno dello spazio compreso tra 50 m e 500 m dalla linea del "dare precedenza").



## Modelli di incidentalità (4)



### 4) Altri incidenti (veicolari)

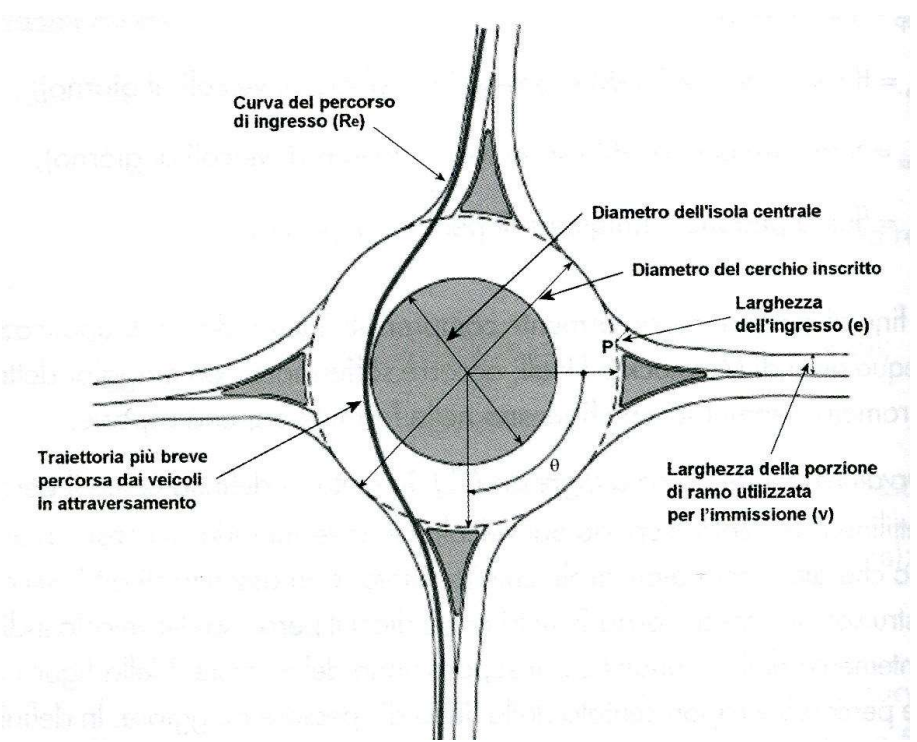
$$A = 0.0026 \cdot Q_{ec}^{0.8} \cdot exp(0.2 \cdot P_{m})$$

#### dove

- > A = incidenti annui (con feriti e/o morti) per ingresso o ramo della rotatoria;
- $> Q_{ec} = Q_{e} \cdot Q_{c}$
- > Q<sub>e</sub> = flusso entrante (TGM espresso in migliaia di veicoli al giorno);
- > Q<sub>c</sub> = flusso circolante (TGM espresso in migliaia di veicoli al giorno);
- $> P_m = percentuale di motocicli (%).$

Modello di Maycock ed Hall

## Modelli di incidentalità (5)



### 5) Incidenti tra veicoli e pedoni

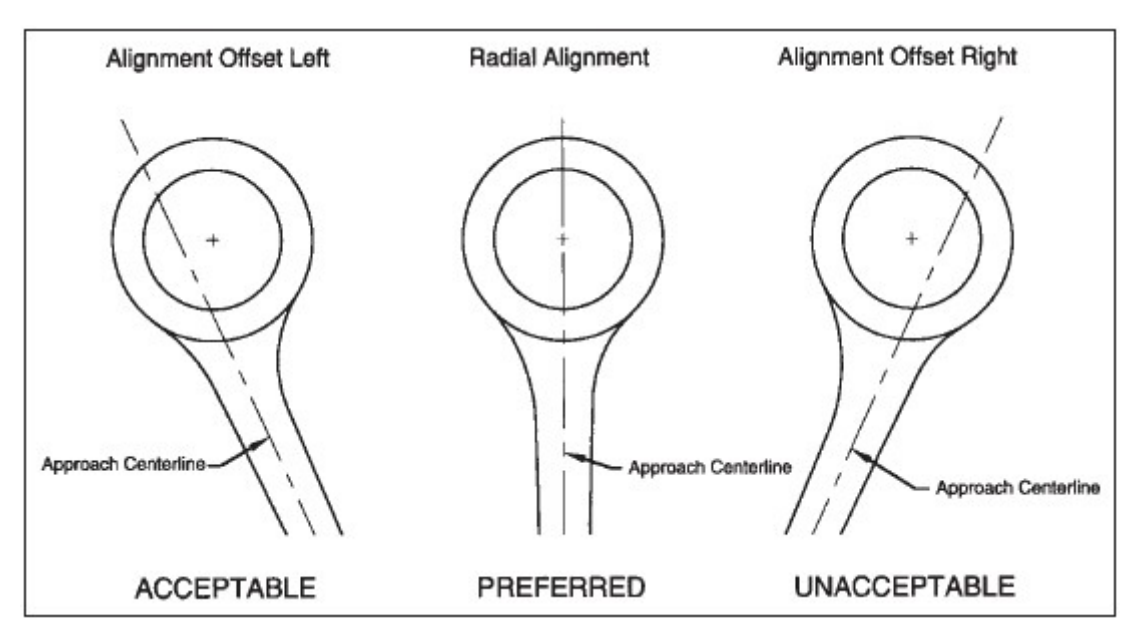
 $A = 0.029 \cdot Q_{ep}^{0.5}$ 

#### dove

- > A = incidenti annui (con feriti e/o morti) per ingresso o ramo della rotatoria;
- $> Q_{ep} = (Q_e + Q_{ex}) \cdot Q_p$
- > Q<sub>e</sub> = flusso entrante (TGM espresso in migliaia di veicoli al giorno);
- > Q<sub>ex</sub> = flusso uscente (TGM espresso in migliaia di veicoli al giorno);
- > Q<sub>p</sub> = flusso pedonale (migliaia di pedoni al giorno).

Modello di Maycock ed Hall

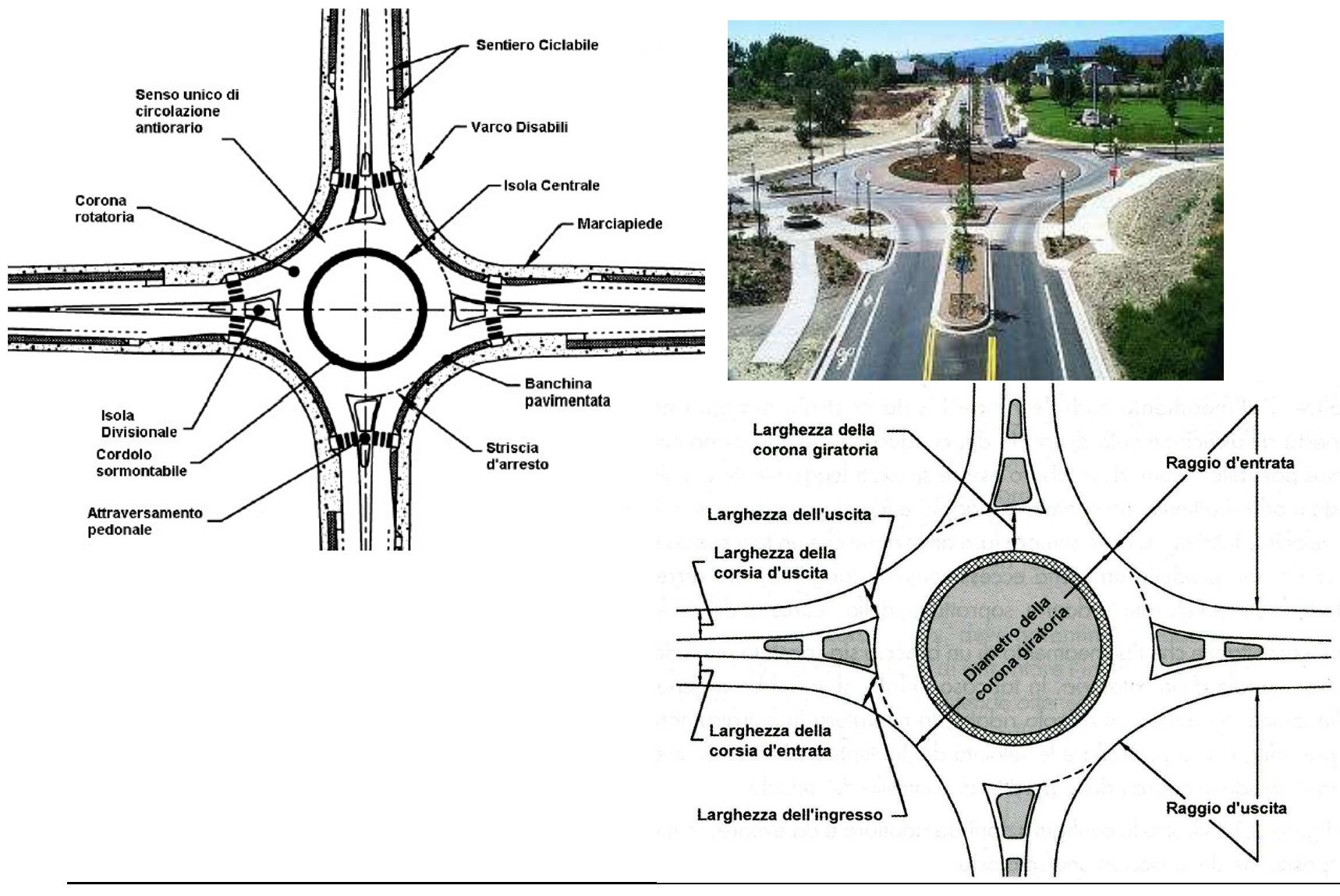
### Posizionamento rotatorie



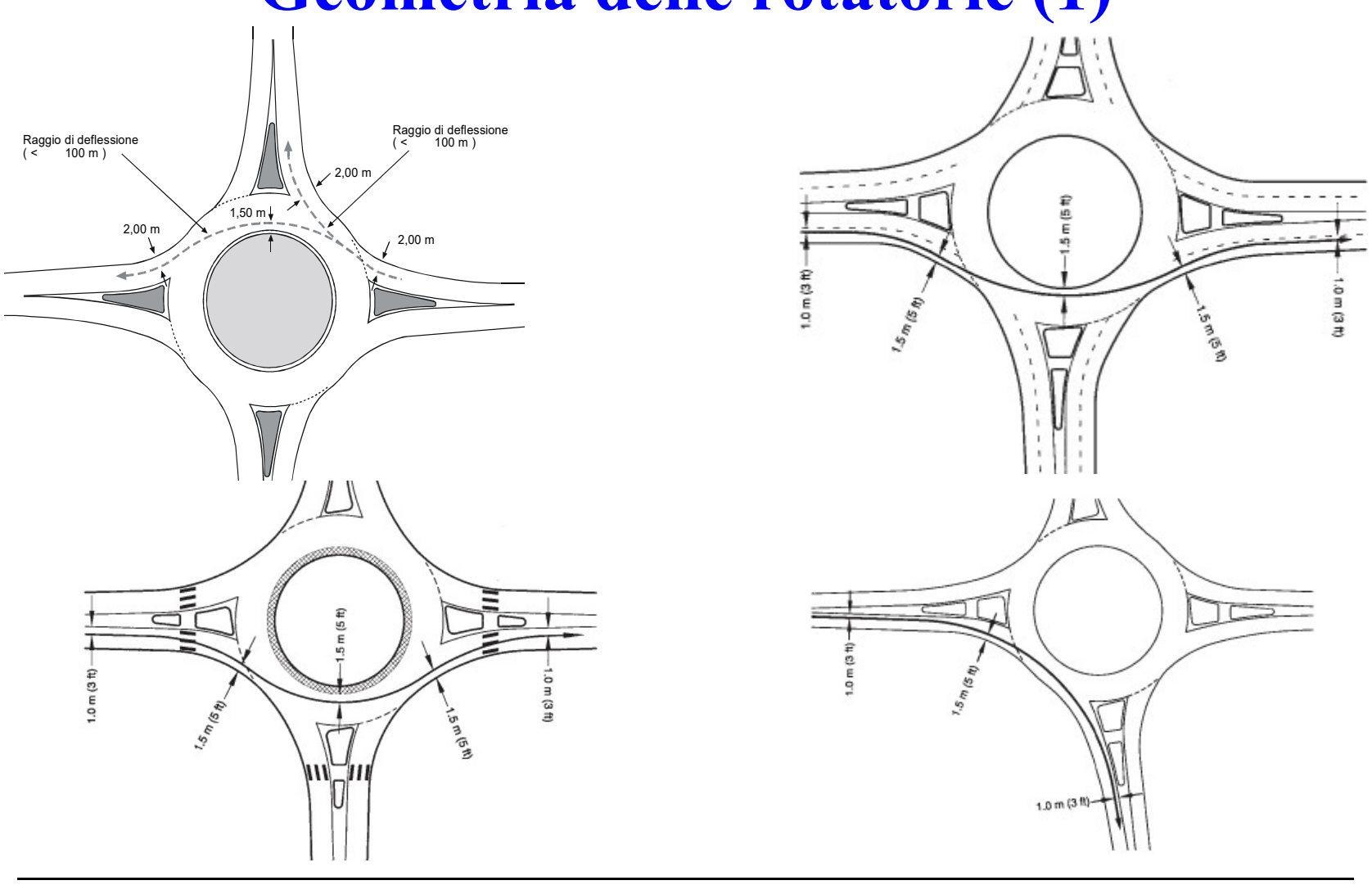
È opportuno evitare un posizionamento dell'incrocio in curva o all'uscita da una curva; in particolare la posizione dell'isola centrale è ottimale quando tutti gli assi dei bracci che confluiscono nella rotatoria passano per il centro della rotatoria stessa

È opportuno escludere una configurazione dell'approccio alla rotatoria in "curva e contro-curva"; è opportuno non posizionare dei filari di alberi lungo i bracci di accesso alla rotatoria che possono dare l'illusione di continuità dell'itinerario; è da escludere un'isola centrale di forma non circolare; è da escludere un anello di larghezza variabile; è da escludersi una pendenza dell'anello circolare verso l'interno della rotatoria; è da evitare la presenza di una corsia specializzata per la svolta a destra sull'anello.

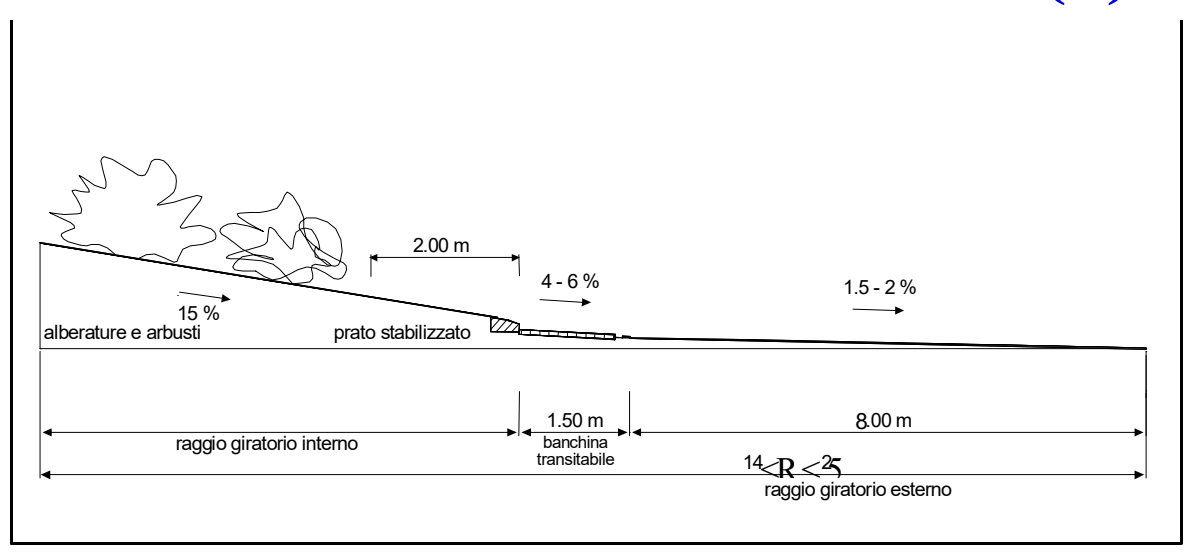
### Elementi funzionali delle rotatorie



# Geometria delle rotatorie (1)



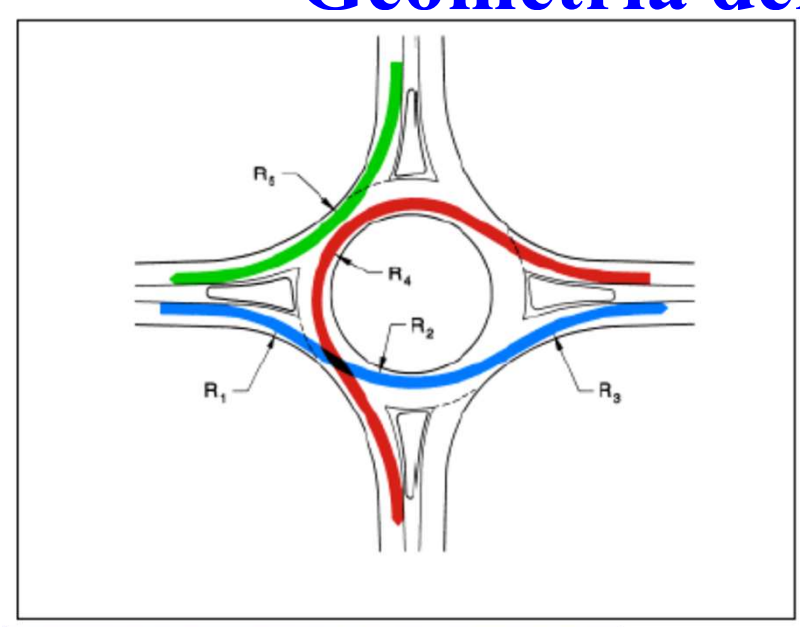
### Geometria delle rotatorie (2)



$$V = \sqrt{127 \cdot R(f + q)}$$

V (km/h)	25	40	60	80	100	120	140
Strade D, E, F urbane	0,22	0,21	0,20	0,16			
Strade A, B, C, F extr.		0,21	0,17	0,13	0,11	0,10	0,09

# Geometria delle rotatorie (3)

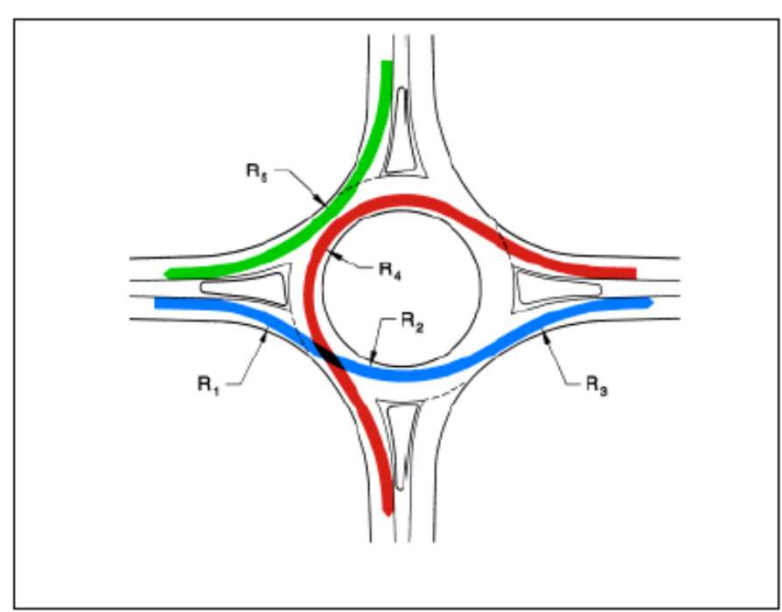








## Geometria delle rotatorie (4)



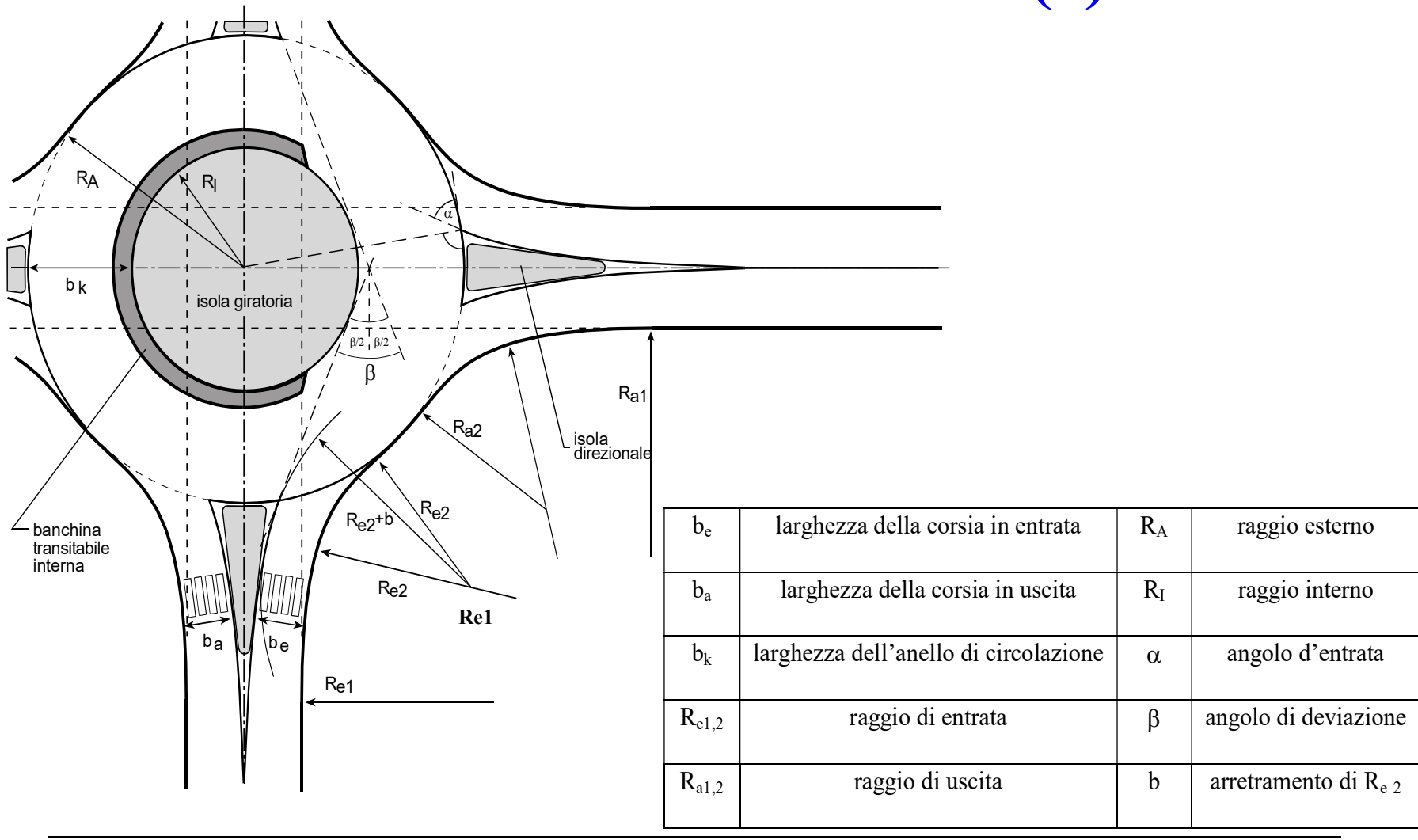
Approxi	mate R, Value	Maximum R, Val		
Radius (m)	Speed (km/h)	Radius (m)	Speed (km/h)	
11	21	54	41	
13	23	61	43	
16	25	69	45	
19	26	73	46	
15	24	65	44	
17	25	69	45	
20	27	78	47	
23	28	83	48	
25	29	88	49	
28	30	93	50	
	Radius (m)  11 13 16 19 15 17 20 23 25	(m) (km/h)  11 21 13 23 16 25 19 26  15 24 17 25 20 27 23 28 25 29	Radius (m)         Speed (km/h)         Radius (m)           11         21         54           13         23         61           16         25         69           19         26         73           15         24         65           17         25         69           20         27         78           23         28         83           25         29         88	

$$R_5 \leq R_1$$

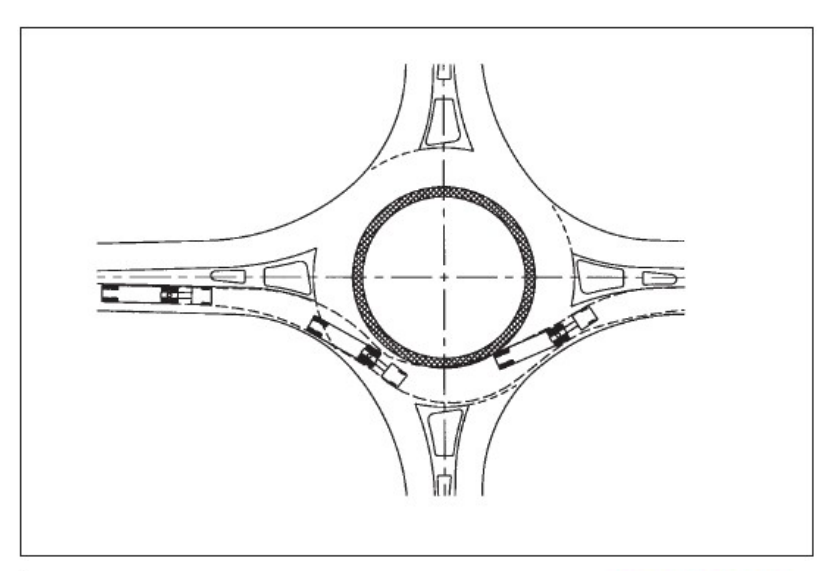
$$\mathbf{R}_5 \le \mathbf{R}^* = \mathbf{R}_4 + 20$$

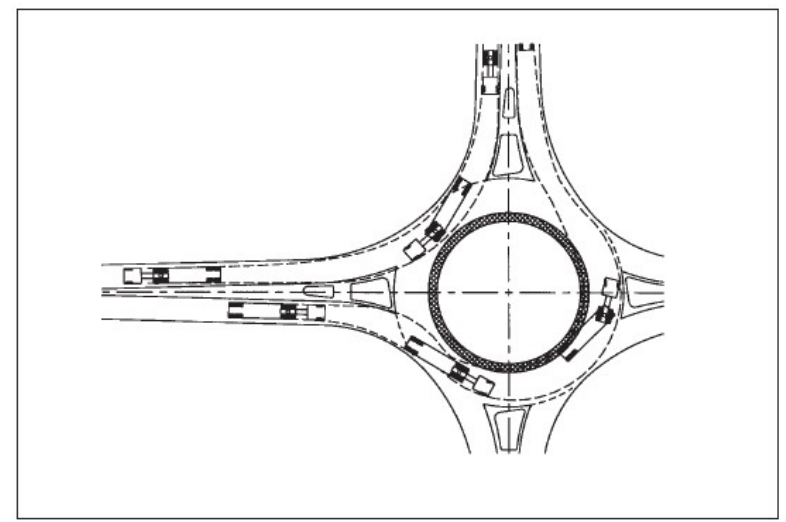
 $R^*$  è il raggio che consente una velocità corrispondente a  $R_4$  + 20 km/h

### Geometria delle rotatorie (5)



# Geometria delle rotatorie (6)





Site Category	Typical Design Vehicle	Inscribed Circle Diameter Range*		
Mini-Roundabout	Single-Unit Truck	13-25m (45-80 ft)		
Urban Compact	Single-Unit Truck/Bus	25-30m (80-100 ft)		
Urban Single Lane	WB-15 (WB-50)	30-40m (100-130 ft)		
Urban Double Lane	WB-15 (WB-50)	45-55m (150-180 ft)		
Rural Single Lane	WB-20 (WB-67)	35-40m (115-130 ft)		
Rural Double Lane	WB-20 (WB-67)	55-60m (180-200 ft)		

<sup>\*</sup> Assumes 90-degree angles between entries and no more than four legs.

### Geometria delle rotatorie (7)

				Me	etric								
						Mil-wewweer	Dimens	ions (m)					
			Overall		Over	hang							Typical
Design Vehicle Type	Symbol	Height	Width	Length	Front	Rear	WB <sub>1</sub>	WB <sub>2</sub>	S	т	WB,	WB4	Kingpin to Cente of Rear Axle
Passenger Car	Р	1.3	2.1	5.8	0.9	1.5	3.4					_	-
Single Unit Truck	SU	3.4-4.1	2.4	9.2	1.2	1.8	6.1		-	-		-	000
U\$6\$	Design Lac.	alel i cali da	Elevition.	Rediment	raiseaut.	MS Colonia di Na	300	and the second			Markata Marka		Si minimalin
Inter-city Bus (Motor Coaches)	BUS-12	3.7	2.6	12.2	1.8	1.9ª	7.3	1.1	-	-			
	BUS-14	3.7	2.6	13.7	1.8	2.6ª	8.1	1.2	-	100 <b>-</b> 100			
City Transit Bus	CITY-BUS	3.2	2.6	12.2	2.1	2.4	7.6	- 10 m	_			_	
Conventional School Bus (65 pass.)	S-BUS 11	3.2	2.4	10.9	0.8	3.7	6.5		_		- 100	_	<del>-</del>
Large School Bus (84 pass.)	S-BUS 12	3.2	2.4	12.2	2.1	4.0	6.1			-	- T		
Articulated Bus	A-BUS	3.4	2.6	18.3	2.6	3.1	6.7	5.9	1.95	4.0	E-10		
rucks		SMITALLE,						10.00	refrontende		NUMBER OF STREET		000010000000
Intermediate Semitrailer	WB-12	4.1	2.4	13.9	0.9	0.8ª	3.8	1 8,4 T	-	T -	T _	_	8.4
Intermediate Semitrailer	WB-15	4.1	2.6	16.8	0.9	0.6ª	4.5	10.8		-	<del>  -</del> -	-	11.4
Interstate Semitrailer	WB-19*	4.1	2.6	20.9	1.2	0.8	6.6	12.3			1 =	<del>  -</del>	13.0
Interstate Semitrailer	WB-20**	4.1	2.6	22.4	1.2	1.4-0.8ª	6.6	13.2-13.8	1887 E 18	1 -	<del>  -</del>	H-	
"Double-Bottom"-Semitrailer/Trailer	WB-20D	4.1	2.6	22.4	0.7	0.9	3.4	7.0	0.9°	2.1°	7.0		13.9-14.
Triple-Semitrailer/ Trailers	WB-30T	4.1	2.6	32.0	0.7	0.9	3.4	6.9	0.9 <sup>d</sup>	2.1ª		-	7.0
Turnpike Double-Semitrailer/Trailer	WB-33D*	4.1	2.6	34.8	0.7	0.8	4.4	12.2	0.8	3.1°	7.0	7.0	7.0
lecreational Vehicles	18 18 18 18 18 18 18 18 18 18 18 18 18 1	100	10 M	ESTATE AND A COL	SOUTH OF SHARE	CAMPONINI A LOUIS	Charles and	Manufacture Communication	0.8	3.1	13.6	-	13.0
Motor Home	MH	3.7	2.4	9.2	1.2	1.8	6.1	1 - 1	att and to place to				
Car and Camper Trailer	P/T	3.1	2.4	14.8	0.9	3.1	3.4	1 - 3 - 1	-	-	-	-	-
Car and Boat Trailer	P/B	_	2.4	12.8	0.9	2.4	3.4	+	1.5	5.8	-		-
Motor Home and Boat Trailer	MH/B	3.7	2.4	16.2	1.2	2.4	6.1		1.5	4.6	-	-	-
Farm Tractor	TR	3.1	2.4-3.1	4.90	1.2	2.4	3.1	2.7	0.9	4.6		-	-

Since vehicles are manufactured in U.S. Customary dimensions and to provide only one physical size for each design vehicle, the values shown in the design vehicle drawings have been soft converted from numbers listed in feet, and then the numbers in this table have been rounded to the nearest tenth of a meter.

Design vehicle with 14.63 m trailer as adopted in 1982 Surface Transportation Assistance Act (STAA).

Design vehicle with 16.16 m trailer as grandfathered in with 1982 Surface Transportation Assistance Act (STAA).

This is overhang from the back axle of the tandem axle assembly.

Combined dimension is 5.91 m and articulating section is 1.22 m wide.

Combined dimension is typically 3.05 m.

= Combined dimension is typically 3.05 m.

= Combined dimension is typically 3.81 m.

Dimensions are for a 150-200 hp tractor excluding any wagon length.

- To obtain the total length of tractor and one wagon, add 5.64 m to tractor length. Wagon length is measured from front of drawbar to rear of wagon, and drawbar is 1.98 m long.
  - WB1, WB2, and WB4 are the effective vehicle wheelbases, or distances between axle groups, starting at the front and working towards the back of each unit.
  - S is the distance from the rear effective axle to the hitch point or point of articulation.
  - T is the distance from the hitch point or point of articulation measured back to the center of the next axle or center of tandem axle assembly.

### Geometria delle rotatorie (8)



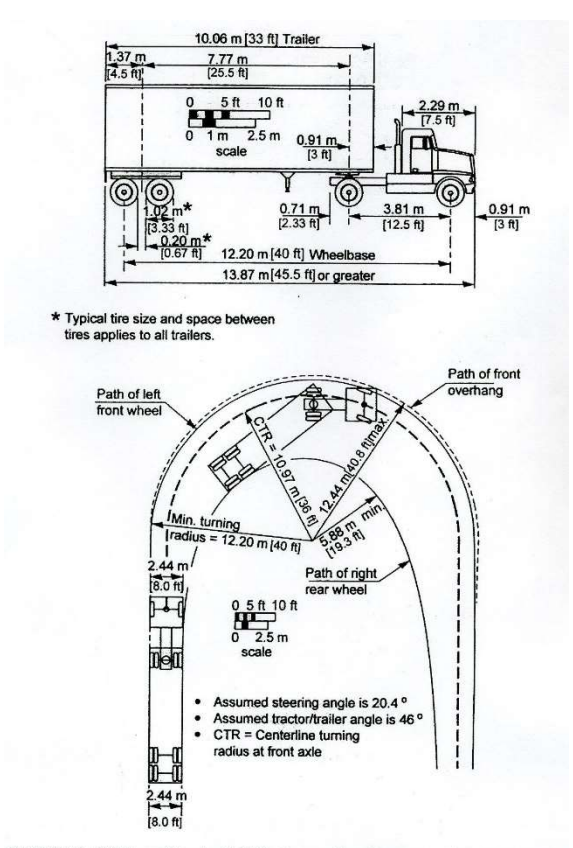


Exhibit 2-13. Minimum Turning Path for Intermediate Semitrailer (WB-12 [WB-40]) Design Vehicle

Design Vehicle Type	Pas- senger Car	Single Unit Truck	Inter-ci		City Transit Bus	Conven- tional School Bus (65 pass.)	Large <sup>2</sup> School Bus (84 pass.)	Articu- lated Bus	Intermed- late Semi- trailer	
Symbol	P	SU	BUS-12	BUS-14	CITY-BUS	S-BUS11	S-BUS12	A-BUS	WB-12	WB-15
Minimum Design Turning Radius (m)	7.3	12.8	13.7	13,7	12.8	11.9	12.0	12.1	12.2	13.7
Center- line <sup>1</sup> Turning Radius (CTR) (m)	6.4	11.6	12.4	12.4	11.5	10.6	10.8	10.8	11.0	12.5
Minimum Inside Radius (m)	4.4	8.6	8.4	7.8	7.5	7.3	7.7	6.5	5.9	5.2
Design Vehicle Type	Inter Semi-	state trailer	"Double Bottom" Combina- tion	Triple Semi- trailer/ trailers	Turnpike Double Semi- trailer/ trailer	Motor Home	Car and Camper Trailer	Car and Boat Trailer	Motor Home and Boat Trailer	Wagon
Symbol	WB-19*	WB-20**	WB-20D	WB-30T	WB-33D*	MH	P/T	P/B	MH/B	TR/W
Minimum Design Turning Radius (m)	13.7	13.7	13.7	13.7	18.3	12.2	10.1	7.3	15.2	5.5
Center- line <sup>1</sup> Turning Radius (CTR) (m)	12.5	12.5	12.5	12.5	17.1	11.0	9.1	6.4	14.0	4.3
Minimum										3.2

Numbers in table have been rounded to the nearest tenth of a meter.

Design vehicle with 14.63 m trailer as adopted in 1982 Surface Transportation Assistance Act (STAA).

Design vehicle with 16.16 m trailer as grandfathered in with 1982 Surface Transportation Assistance Act (STAA).

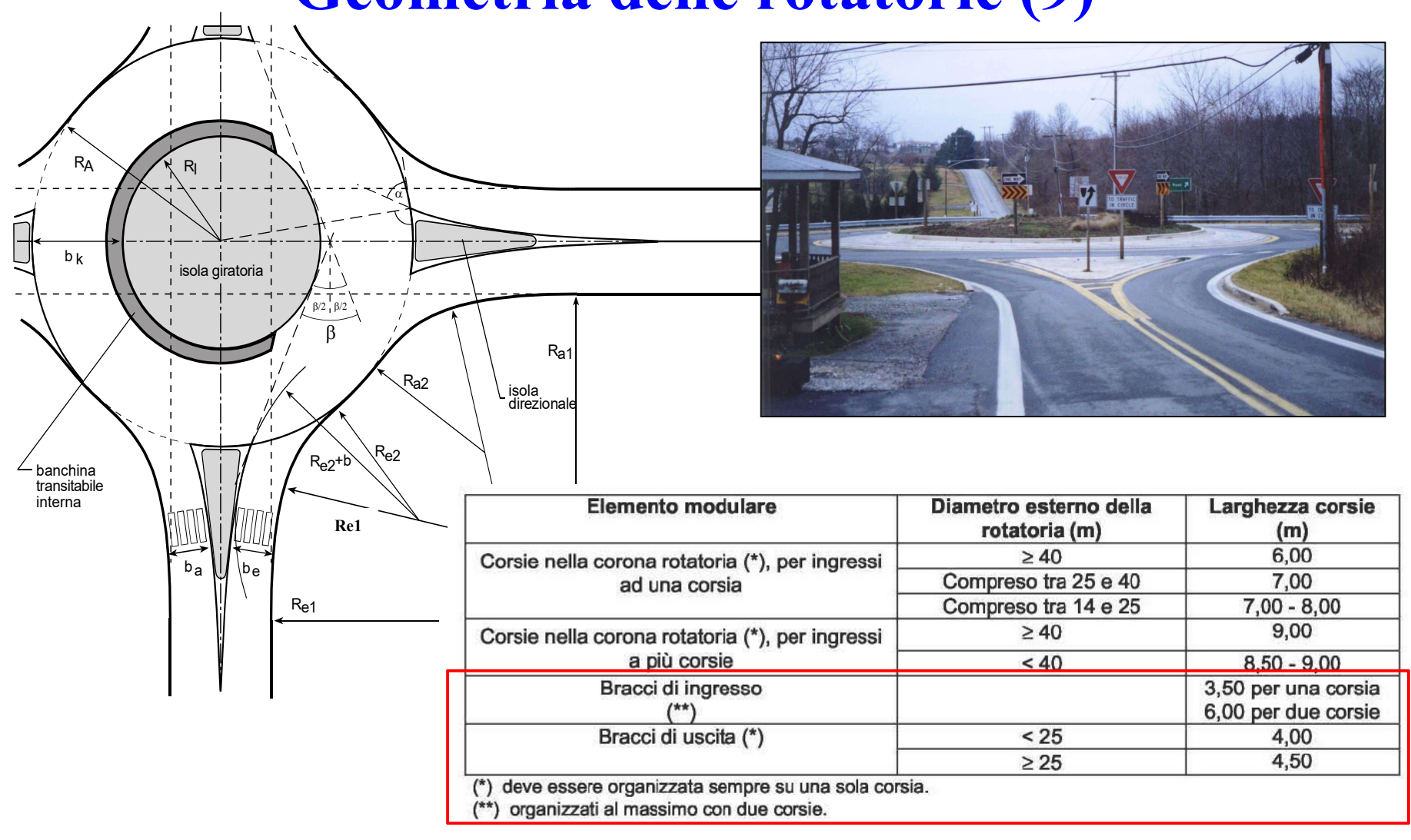
The turning radius assumed by a designer when investigating possible turning paths and is set at the centerline of the front axle of a vehicle. If the minimum turning path is assumed, the CTR approximately equals the minimum

design turning radius minus one-half the front width of the vehicle. School buses are manufactured from 42 passenger to 84 passenger sizes. This corresponds to wheelbase lengths of 3,350 mm to 6,020 mm, respectively. For these different sizes, the minimum design turning radii vary from 8.78 m to 12.01 m and the minimum inside radii vary from 4.27 m to 7.74 m.

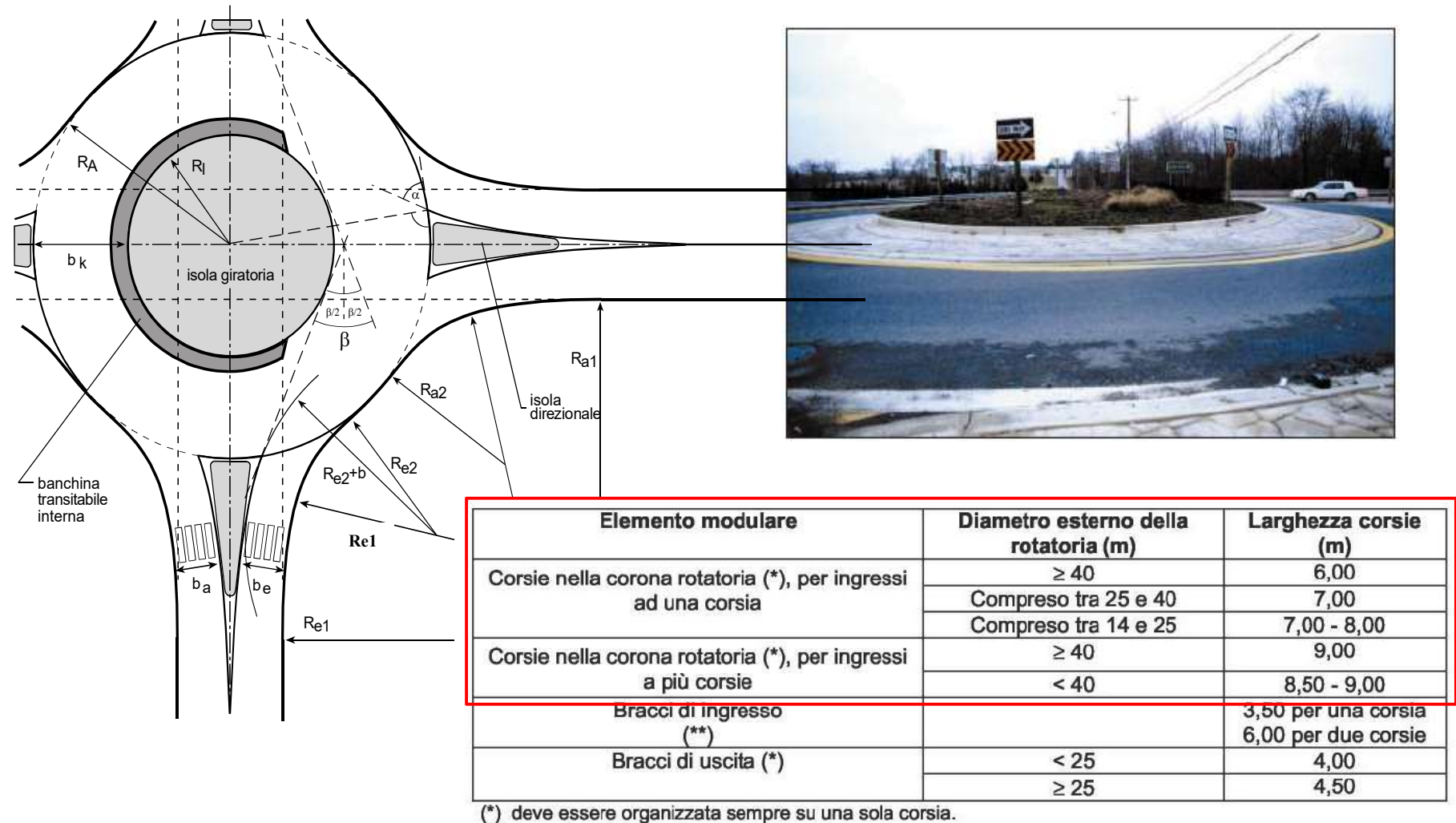
Turning radius is for 150-200 hp tractor with one 5.64 m long wagon attached to hitch point. Front wheel drive is disengaged and without brakes being applied.

Exhibit 2-2. Minimum Turning Radii of Design Vehicles

### Geometria delle rotatorie (9)

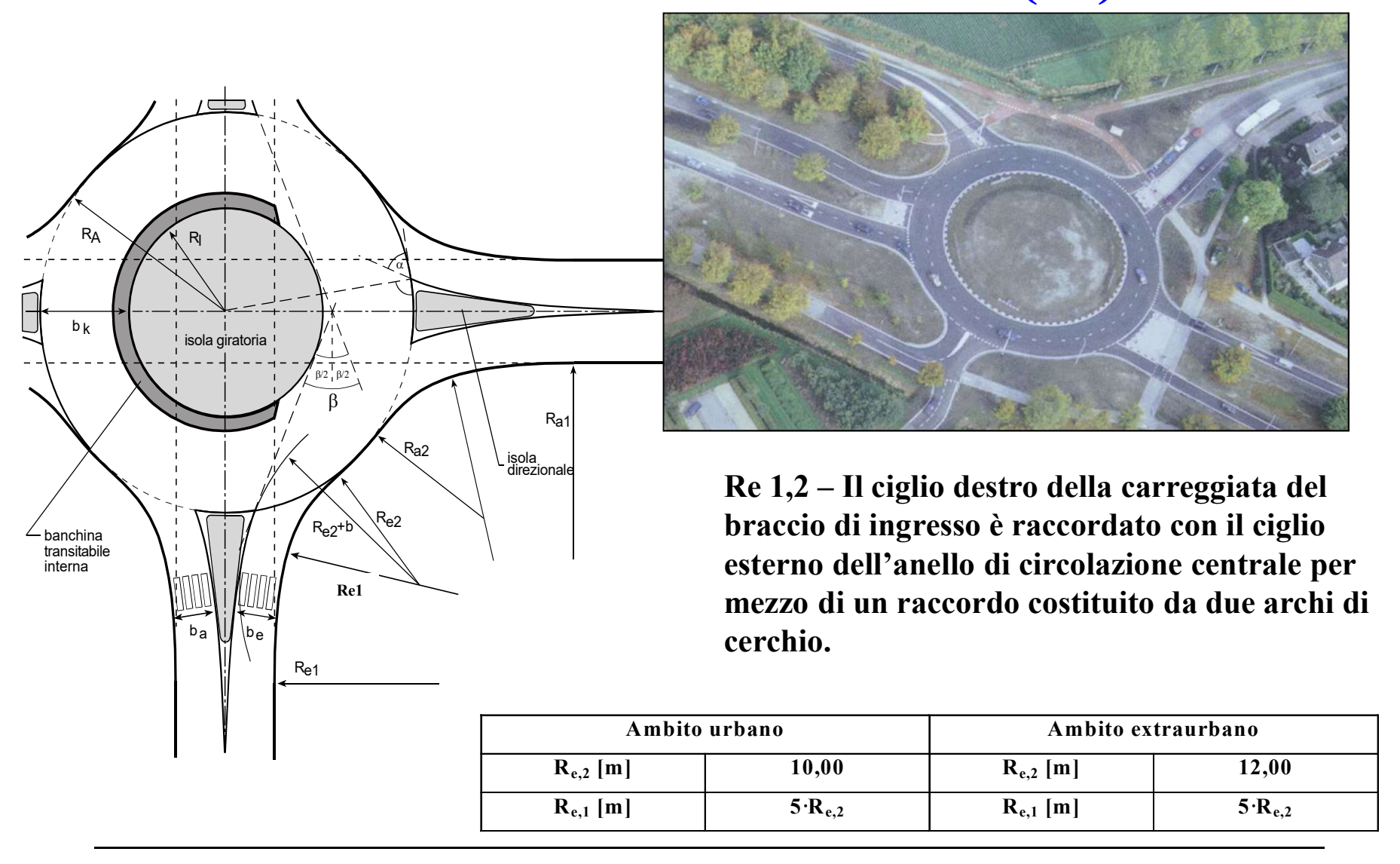


### Geometria delle rotatorie (10)

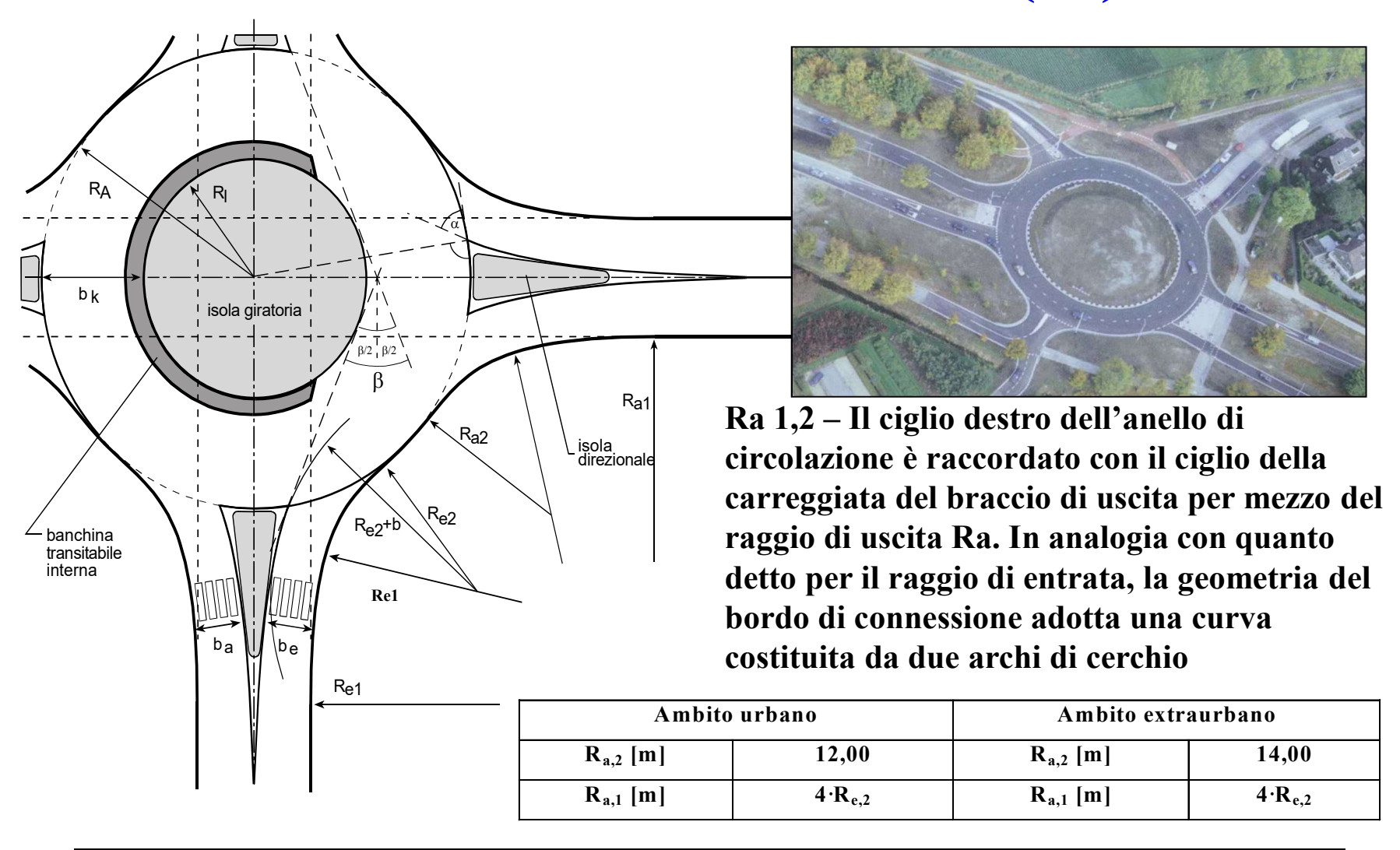


<sup>(\*\*)</sup> organizzati al massimo con due corsie.

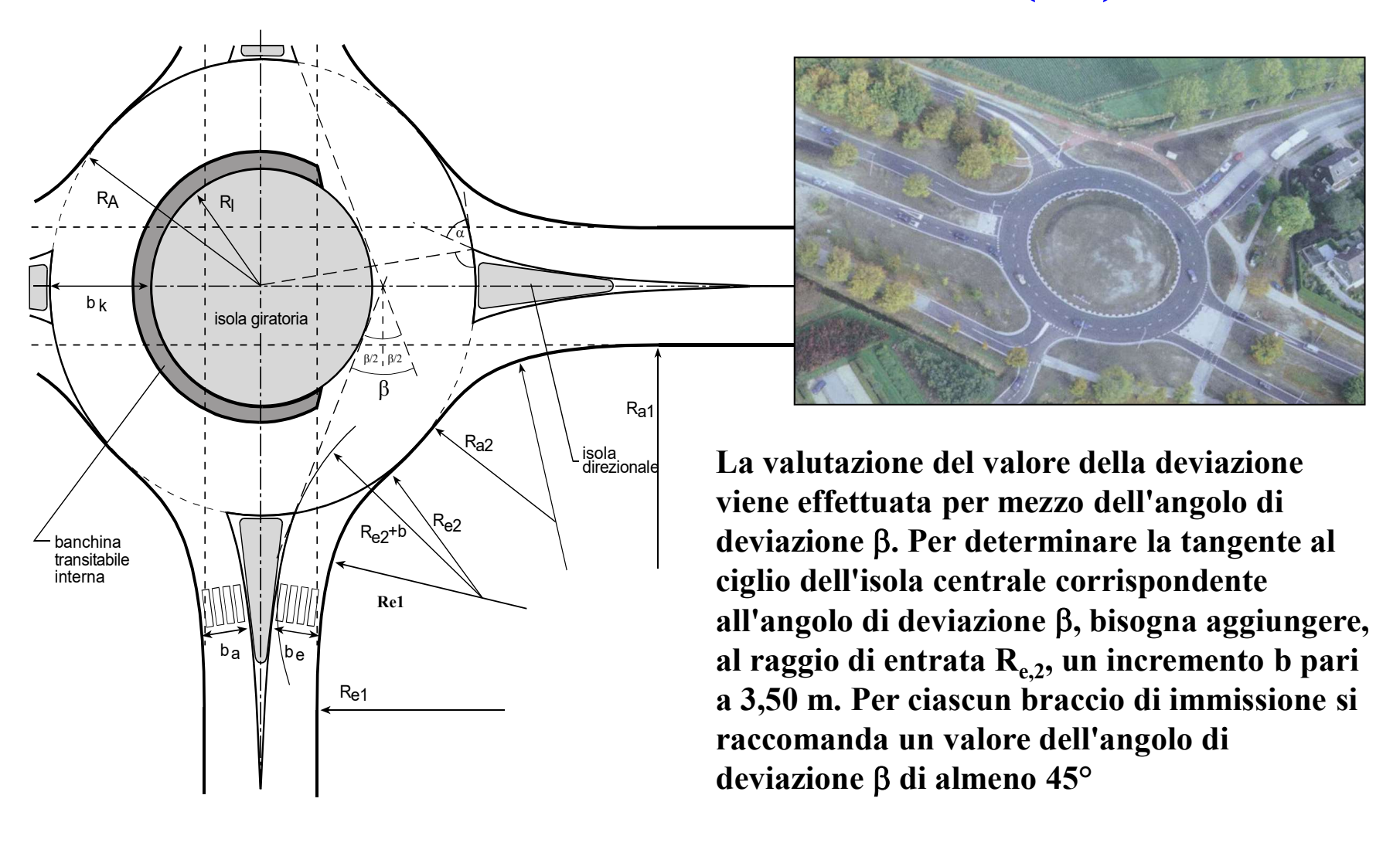
### Geometria delle rotatorie (11)



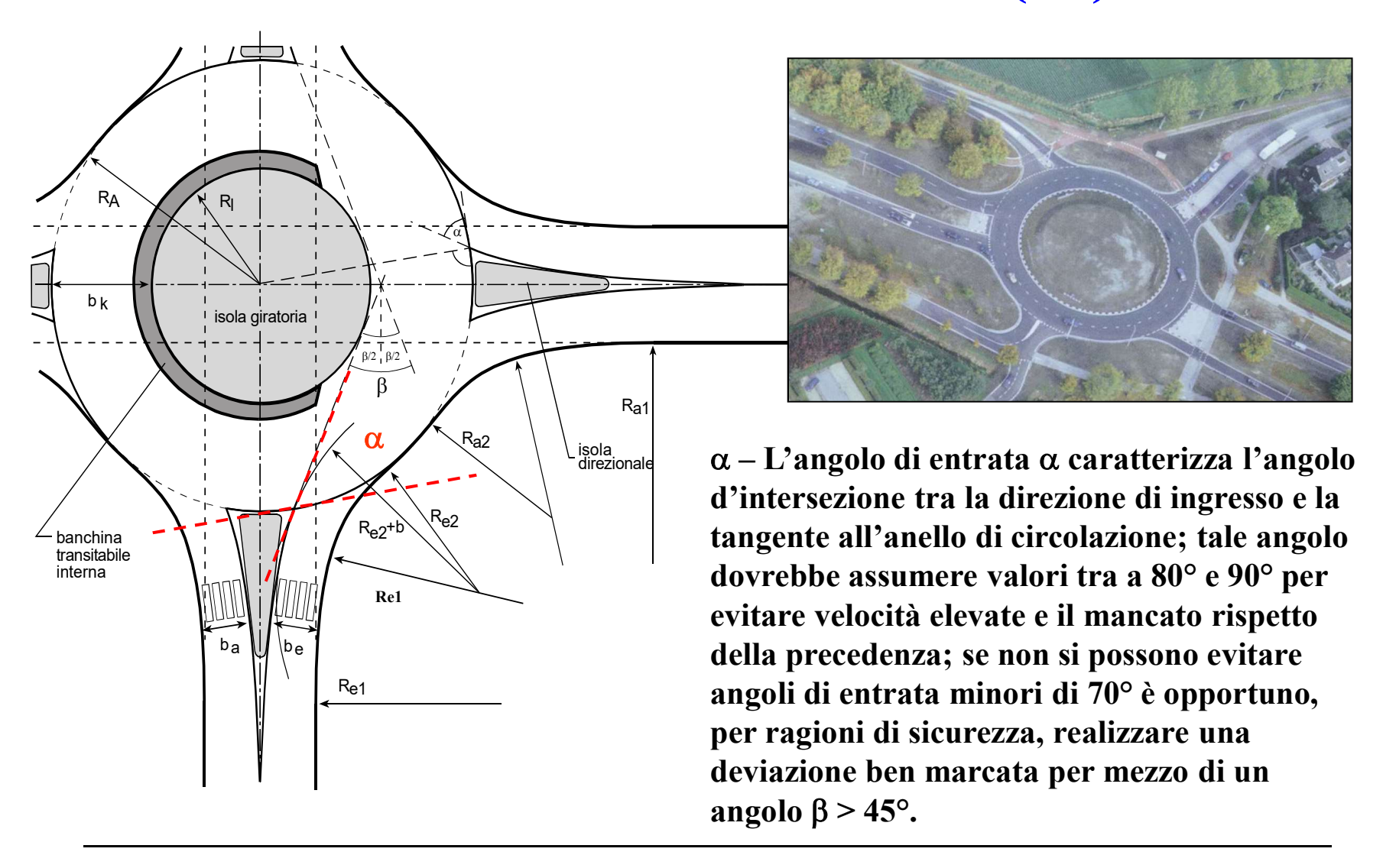
### Geometria delle rotatorie (12)



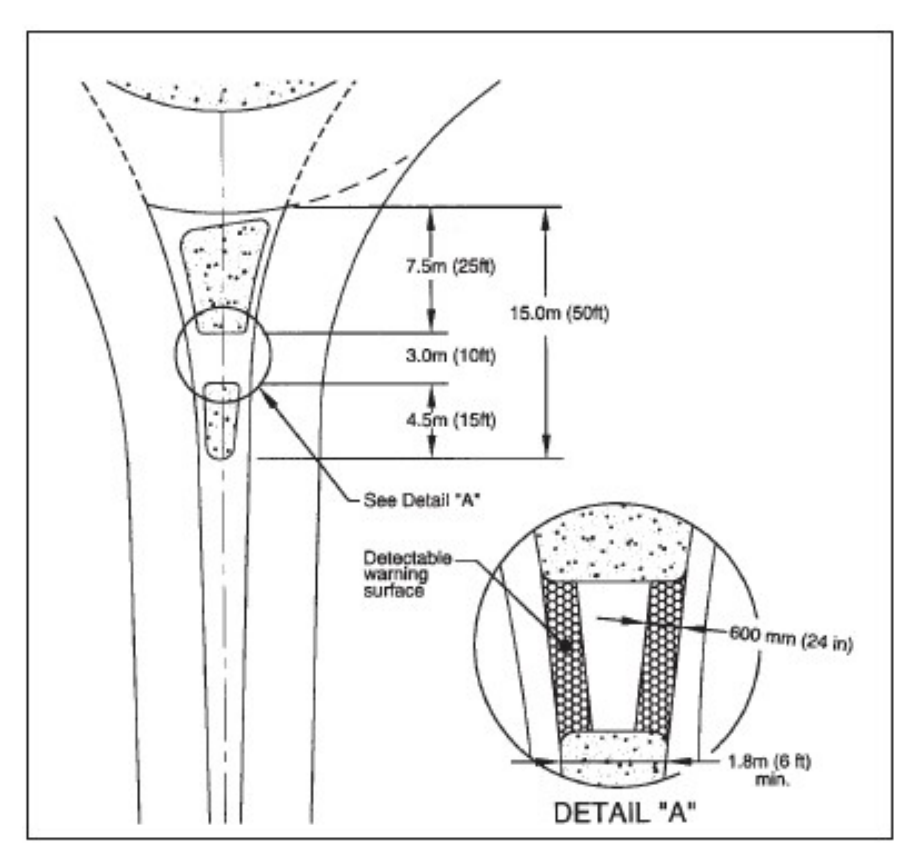
### Geometria delle rotatorie (13)

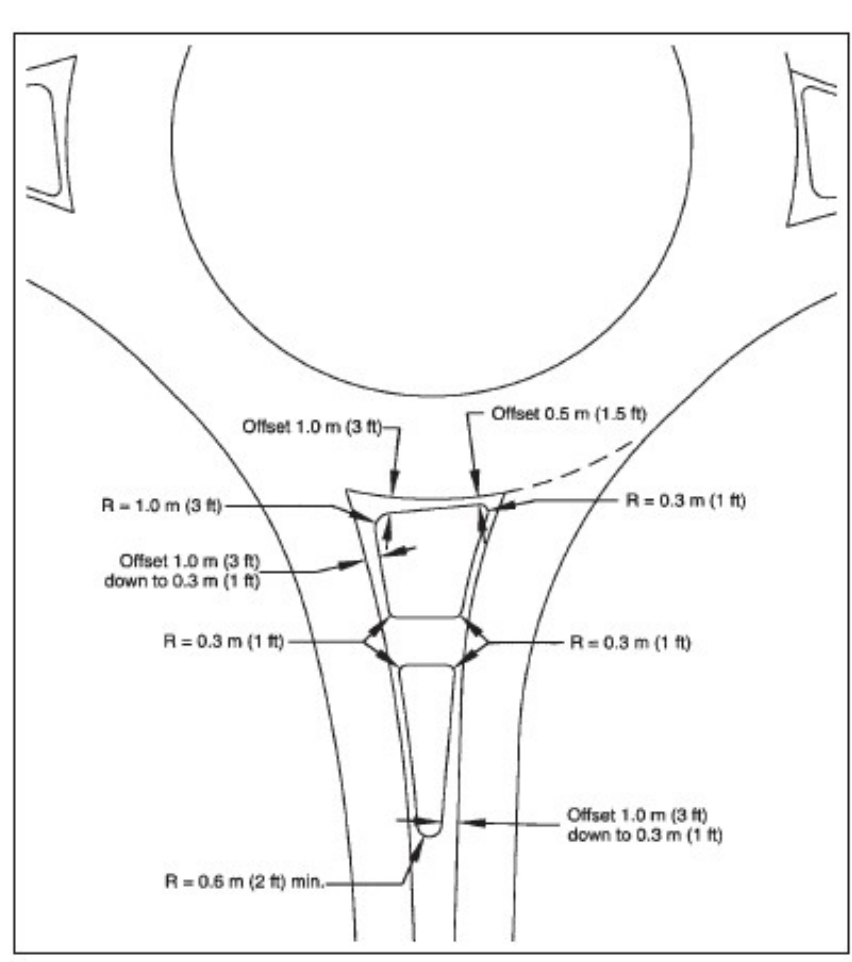


### Geometria delle rotatorie (13)

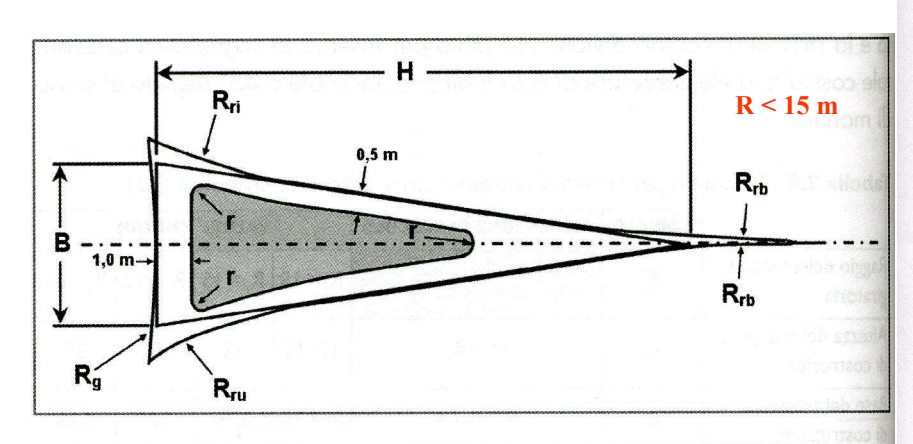


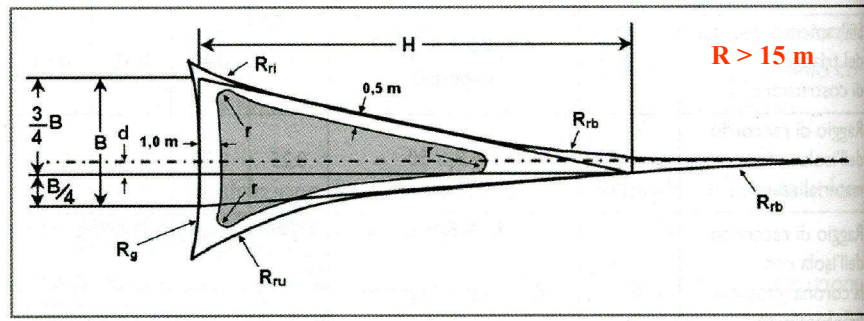
## Geometria delle rotatorie (14)





## Geometria delle rotatorie (15)



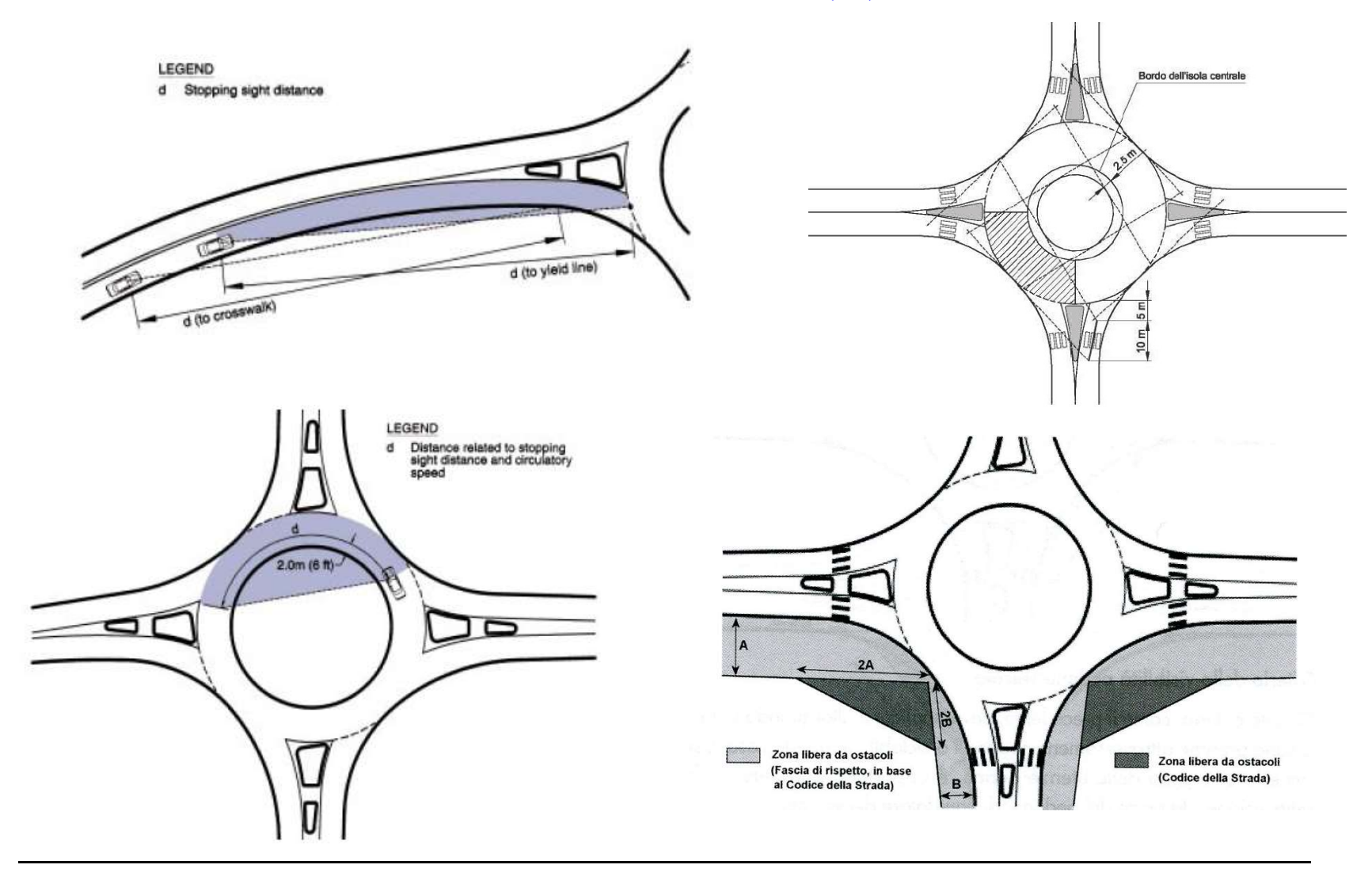


	SIMBOLO	ESPRESSIONE DI CALCOLO		VALORI	(METRI)	
Raggio della corona giratoria	R <sub>g</sub>		R <sub>g</sub> < 15	R <sub>g</sub> = 15	R <sub>g</sub> = 20	R <sub>g</sub> = 25
Altezza del triangolo di costruzione	Н	H = R <sub>g</sub>	12÷15	15	20	25
Base del triangolo di costruzione	В	B = R <sub>g</sub> / 4	3÷3,75	3,75	5,00	6,25
Sfalsamento dell'asse del triangolo di costruzione	d	d = (0,5 + R <sub>g</sub> /50)/2 oppure 0	0	0,40	0,45	0,50
Raggio di raccordo dell'isola materializzata	r	r = R <sub>g</sub> / 50	0,25	0,30	0,40	0,50
Raggio di raccordo dell'isola con la corona giratoria (in prossimità dell'ingresso)	R <sub>ri</sub>	$R_{ri} = R_i + L_i$ $R_i = raggio d'ingresso$ $L_i = larghezza dell'entrata$				
Raggio di raccordo dell'isola con la corona giratoria (in prossimità dell'uscita)	R <sub>ru</sub>	$R_{ru} = R_u + L_u$ $R_u = raggio d'uscita$ $L_u = larghezza dell'uscita$				
Raggio di raccordo dell'isola con l'asse del braccio	R <sub>rb</sub>	$R_{rb} = 4 \cdot R_g$				

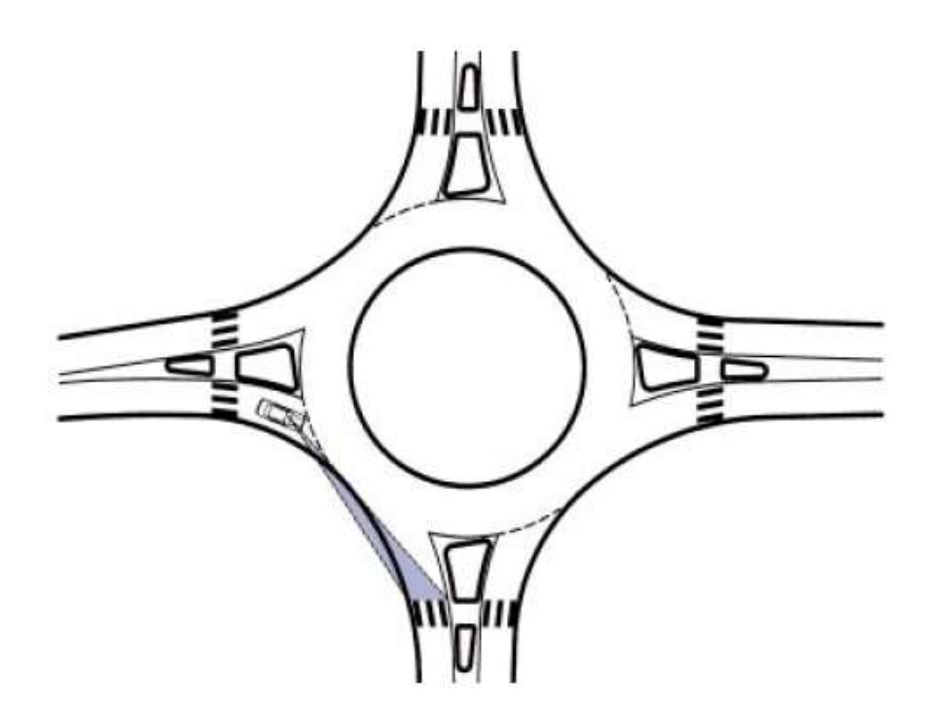
### Visuali libere (1)

Negli incroci a rotatoria, i conducenti che si approssimano alla rotatoria devono vedere i veicoli che percorrono l'anello centrale al fine di cedere ad essi la precedenza o eventualmente arrestarsi; sarà sufficiente una visione completamente libera sulla sinistra per un quarto della sviluppo dell'intero Bordo dell'isola centrale anello, secondo la costruzione geometrica riportata in Figura, posizionando l'osservatore a 15 metri dalla linea che delimita il bordo esterno dell'anello giratorio.

# Visuali libere (2)



# Visuali libere (3)



### Capacità rotatorie (1)

La Federal Highway Associacion da alcune regole generali per le capacità di una rotatoria a singola corsia:

1800 veic/h circolanti sulla rotatoria;

1200 veic/h in uscita;

Le norme Francesi e Olandesi indicano come limite massimo, per una rotatoria a una solo corsia, 1500 veic/h circolanti + entranti in un braccio.

Mediamente si può approssimare la capacità totale entrante in una rotatoria a corsia singola a 2500 veic/h; 3500 – 4000 veic/h per una rotatoria a due corsie.

## Capacità rotatorie (2)

Capacità di un singolo braccio (o capacità di ingresso): sono relazioni funzionali (modelli) che forniscono la capacità (numero massimo veicoli in ingresso) in funzione, oltreché delle caratteristiche geometriche della rotatoria anche dei flussi circolanti sull'anello e dei flussi uscenti.

Capacità semplice: è la somma dei flussi nei bracci di entrata di una rotatoria quando uno dei bracci abbia raggiunto la sua capacità, cioè determina la presenza permanente di veicoli in attesa.

Capacità totale della rotatoria è la somma dei flussi in ingresso che distribuendosi fra le diverse uscite determinano il raggiungimento contemporaneo della capacità su tutti bracci.

$$V_{EB,circ} = V_{WB,LT} + V_{SB,LT} + V_{SB,TH} + V_{NB,U-turn} + V_{WB,U-turn} + V_{SB,U-turn}$$

$$V_{WB,circ} = V_{EB,LT} + V_{NB,LT} + V_{NB,TH} + V_{SB,U-turn} + V_{SB,U-turn} + V_{NB,U-turn}$$

$$V_{NB,circ} = V_{EB,LT} + V_{EB,TH} + V_{SB,LT} + V_{WB,U-turn} + V_{EB,U-turn} + V_{EB,U-turn}$$

$$V_{SB,circ} = V_{WB,LT} + V_{WB,TH} + V_{NB,LT} + V_{NB,U-turn} + V_{WB,U-turn} + V_{WB,U-turn}$$

### Capacità rotatorie (3)

Rc = Riserva di capacità = C - Qe

Riserva capacità percentuale =  $R_c(\%) = \frac{c - Q_e}{c}$  100

C = Capacità ingresso

**Qe = flusso in ingresso** 

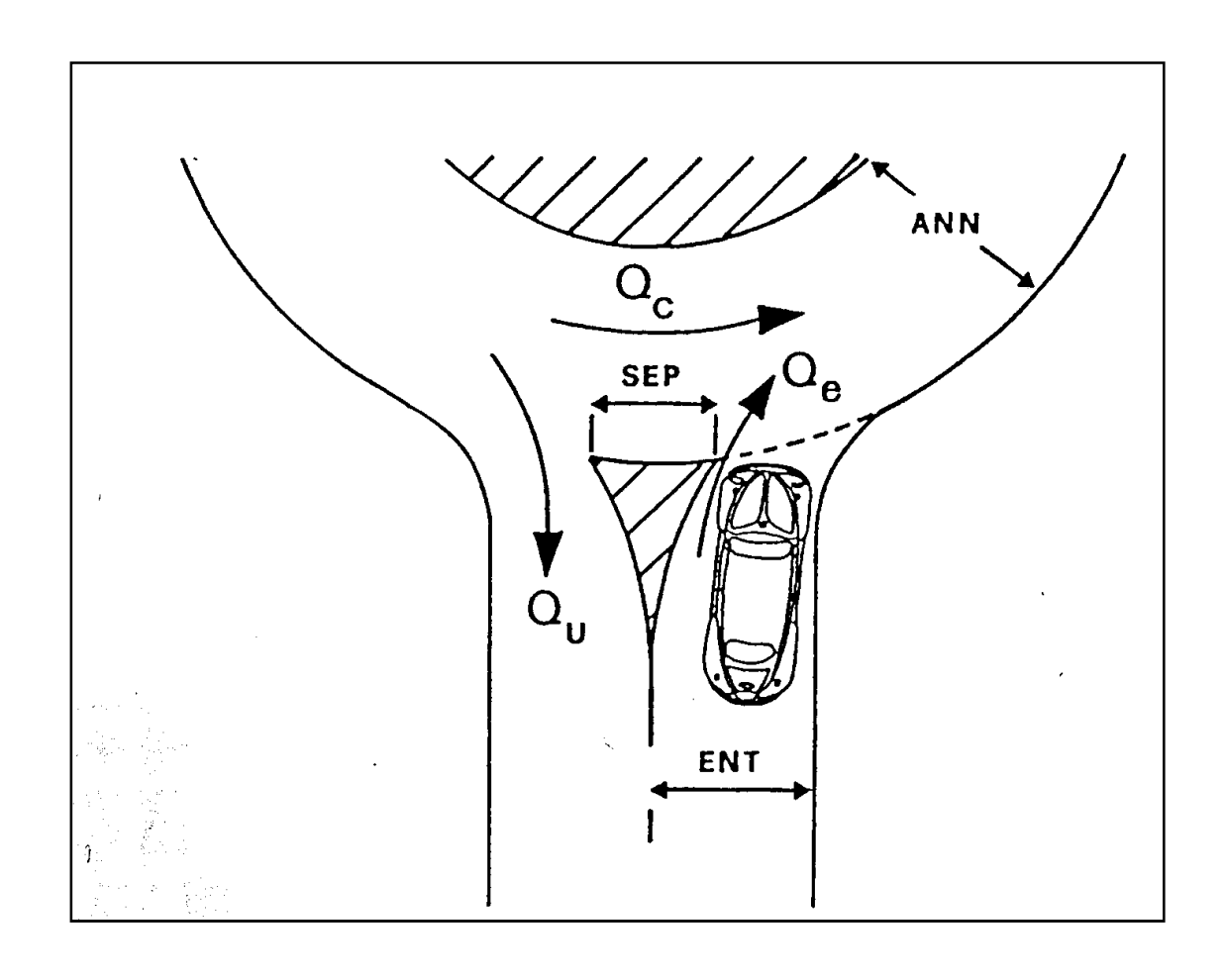
Riserva di capacità (%)	Condizione di esercizio
RC > 30 %	FLUIDO
15 < RC ≤ 30 %	SODDISFACENTE
0 < RC ≤ 15 %	ALEATORIO
RC ≤ 0 %	SATURO/CRITICO

## Capacità rotatorie (4)

In letteratura esistono diversi metodi per il calcolo della capacità che si possono suddividere in tre tipi :

- a) Metodi empirici (Es: Brilon, Kimber, Bovy, FHWA), si tratta di modelli di regressione calibrati con dati raccolti in sito e che usano le proprietà tipologiche o geometriche delle rotatorie come variabili indipendenti.
- b) Metodi basati sulla teoria del Gap Acceptance (Es: HCM, Tanner), si basano sul concetto che i veicoli della corrente secondaria (in questo caso l'ingresso) devono trovare un intervallo temporale sufficiente all'interno della corrente principale (in questo caso l'anello) per potersi immettere.
- c) Modelli di simulazione (Es: VISSIM, PARAMICS), si basano su programmi ci simulazione che riproducono la situazione reale.

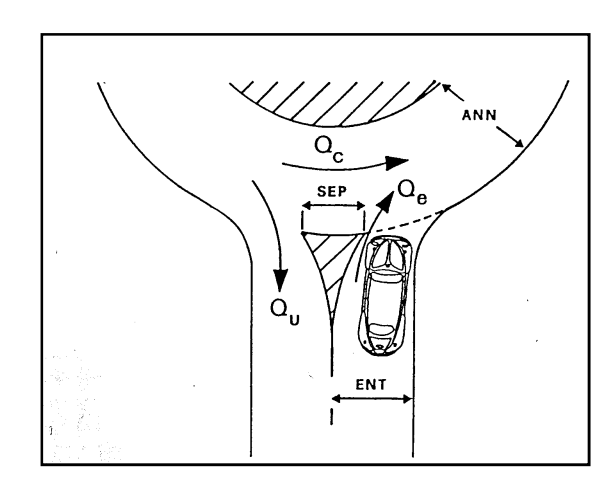
# Capacità rotatorie (5)

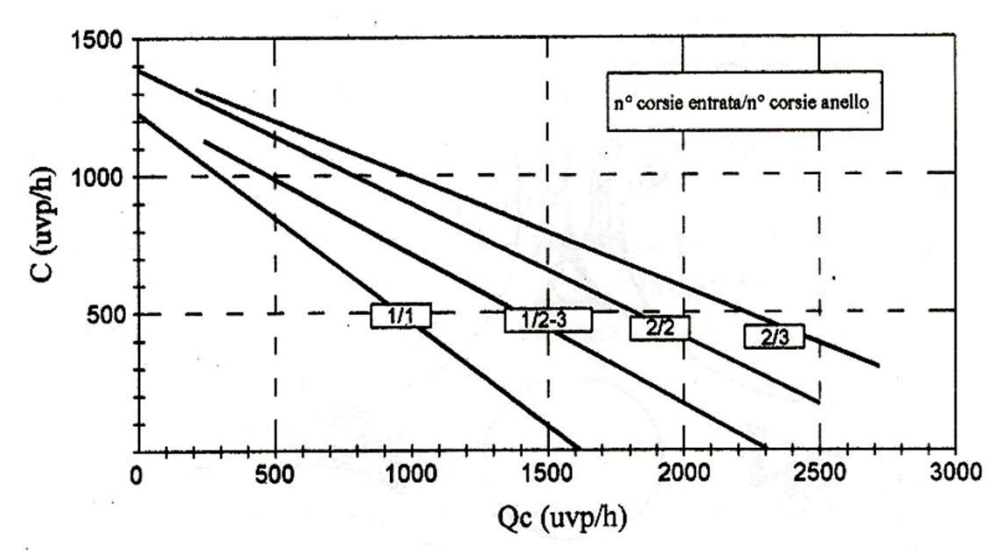


### Capacità rotatorie - metodo tedesco (Brilon)

$$C_i = A - B \cdot Q_{C,i}$$

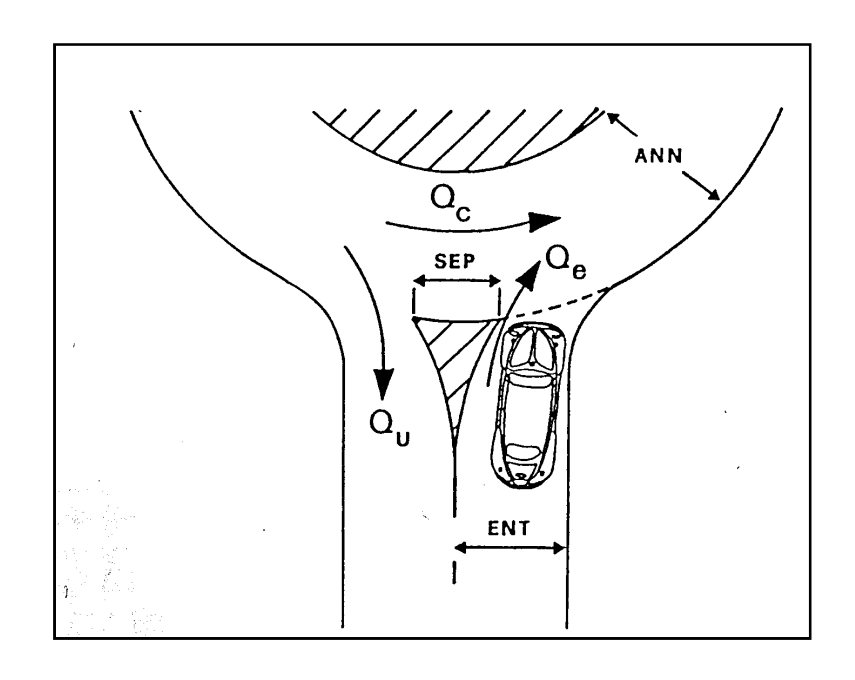
Numero di corsie all'anello	Numero di corsie all'entrata	A	В	Numerosità dei campioni
3	2	1409	0,42	295
2	2	1380	0,50	4574
2-3	1 - 1	1250	0,53	879
1	1	1218	0,74	1504





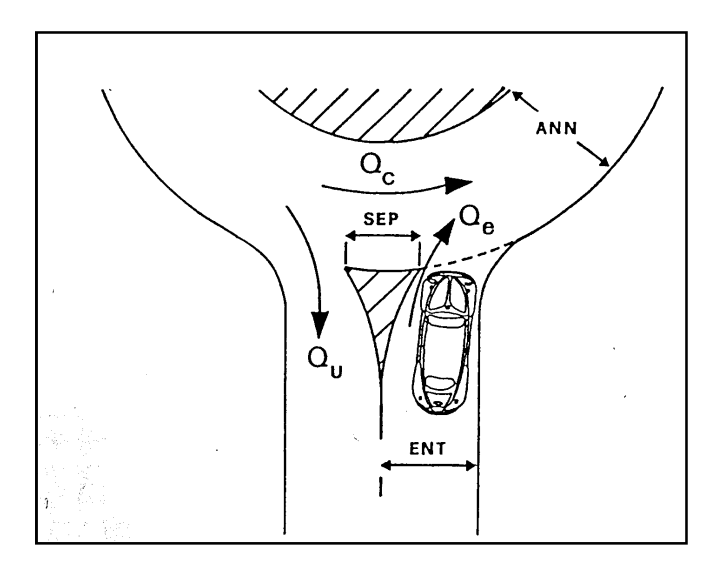
### **Metodo tedesco – Esempio (1)**

Rotatoria a 4 bracci, con 2 corsie all'anello e 2 corsie agli ingressi



$$\begin{split} Q_{e,1} &= 340 \text{ v/h } Q_{u,1} = 380 \text{ v/h } Q_{c,1} = 190 \text{ v/h} \\ Q_{e,2} &= 236 \text{ v/h } Q_{u,2} = 230 \text{ v/h } Q_{c,2} = 300 \text{ v/h} \\ Q_{e,3} &= 477 \text{ v/h } Q_{u,3} = 322 \text{ v/h } Q_{c,3} = 214 \text{ v/h} \\ Q_{e,4} &= 152 \text{ v/h } Q_{u,4} = 271 \text{ v/h } Q_{c,4} = 418 \text{ v/h} \end{split}$$

### Metodo tedesco – Esempio (2)



$$C_2 = 1380 - 0.5 * Q_{c,2} = 1380 - 0.5 * 300 = 1230 \text{ v/h}$$

$$C_3 = 1380 - 0.5 * Q_{c,3} = 1380 - 0.5 * 214 = 1273 \text{ v/h}$$

$$C_4 = 1380 - 0.5 * Q_{c,4} = 1380 - 0.5 * 418 = 1171 \text{ v/h}$$

$$RC_1 = C_1 - Q_{e,1} = 1285 - 340 = 945 \text{ v/h}$$

$$RC_2 = C_2 - Q_{e,2} = 1230 - 236 = 994 \text{ v/h}$$

$$RC_3 = C_3 - Q_{e,3} = 1273 - 477 = 796 \text{ v/h}$$

$$RC_4 = C_4 - Q_{e,4} = 1171 - 152 = 1019 \text{ v/h}$$

$$(CT\%)_1 = 100 * Q_{e,1} / C_1 = 100 * 340 / 1285 = 26.46 \%$$

$$(CT\%)_2 = 100 * Q_{e,2} / C_2 = 100 * 236 / 1230 = 19.19 \%$$

$$(CT\%)_3 = 100 * Q_{e,3} / C_3 = 100 * 477 / 1273 = 37.47 \%$$

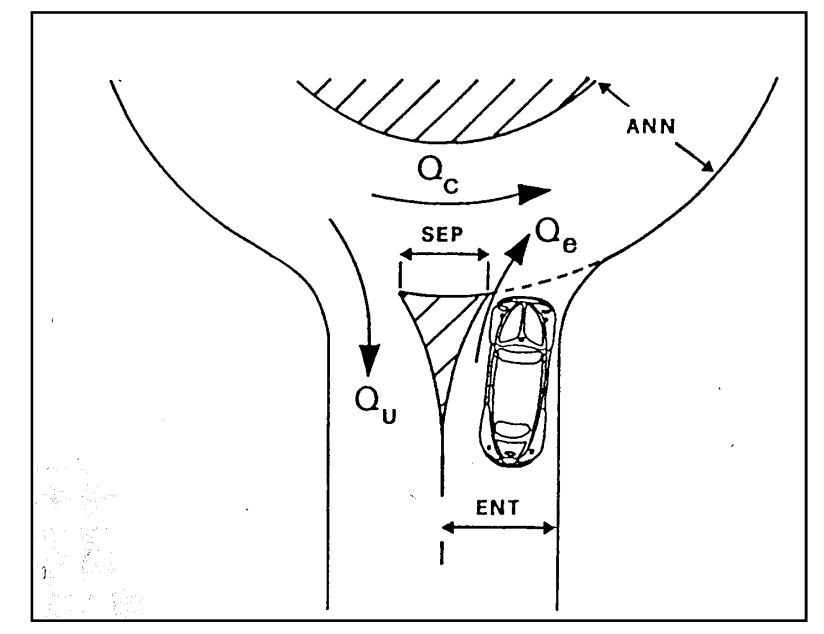
$$(CT\%)_4 = 100 * Q_{e,4} / C_4 = 100 * 152 / 1171 = 12.98 \%$$

 $C_1 = 1380 - 0.5 * Q_{c.1} = 1380 - 0.5 * 190 = 1285 \text{ v/h}$ 

### **Metodo Francese, SETRA (1)**

$$Q_{u}^{'} = \frac{Q_{u} \cdot (15 - SEP)}{15}$$

$$Q'_{u} = 0$$
 per  $SEP > 15$ 

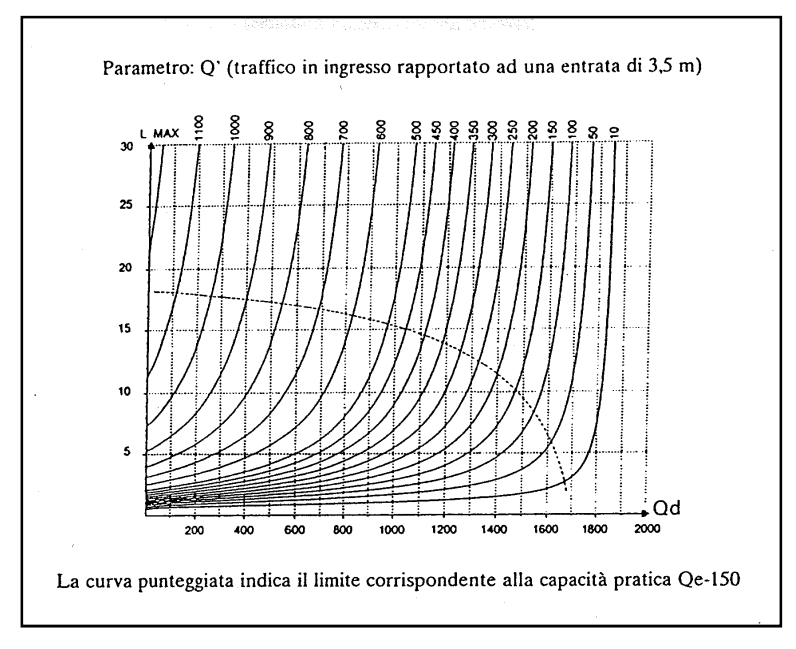


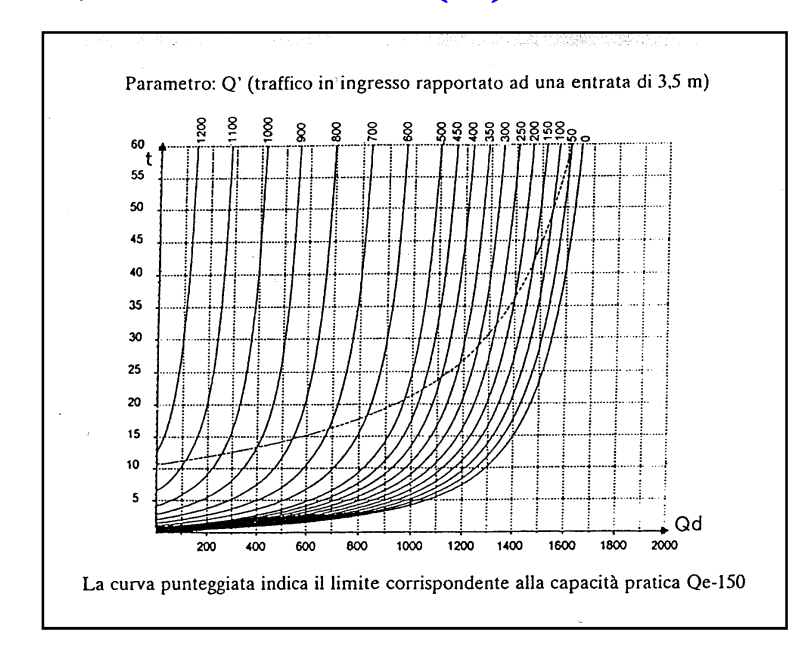
$$Q_{d} = \left(Q_{c} + \frac{2}{3} \cdot Q_{u}^{'}\right) \cdot \left[1 - 0,085 \cdot (ANN - 8)\right]$$

$$C_i = (1330 - 0.7 \cdot Q_{d,i}) \cdot [1 + 0.1(ENT_i - 3.5)]$$
  $C_{p,i} = C_i - 150$ 

$$C_{p,i} = C_i - 150$$

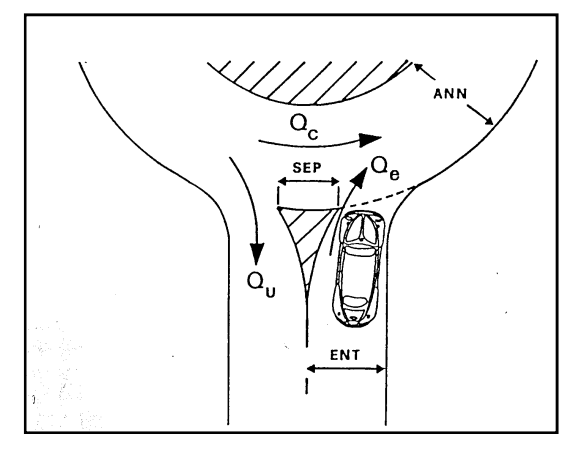
### **Metodo Francese, SETRA (2)**





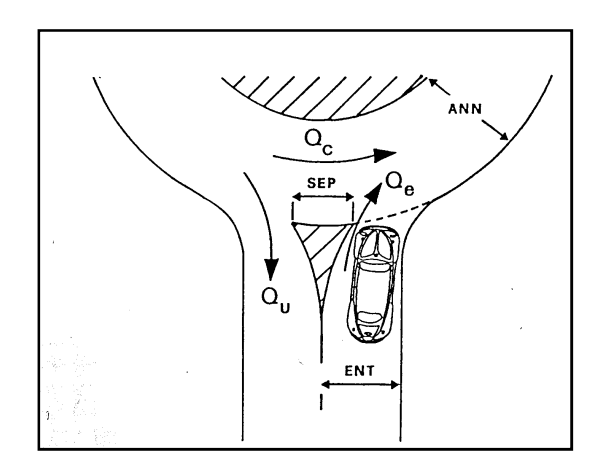
$$Q_e' = \frac{Q_e}{1 + 0,1(ENT - 3,5)}$$

### **Metodo Francese, SETRA – Esempio (1)**



$$\begin{split} Q_{e,1} &= 340 \text{ v/h } Q_{u,1} = 380 \text{ v/h } Q_{c,1} = 190 \text{ v/h} \\ Q_{e,2} &= 236 \text{ v/h } Q_{u,2} = 230 \text{ v/h } Q_{c,2} = 300 \text{ v/h} \\ Q_{e,3} &= 477 \text{ v/h } Q_{u,3} = 322 \text{ v/h } Q_{c,3} = 214 \text{ v/h} \\ Q_{e,4} &= 152 \text{ v/h } Q_{u,4} = 271 \text{ v/h } Q_{c,4} = 418 \text{ v/h} \end{split}$$

### **Metodo Francese, SETRA – Esempio (2)**



$$Q'_{u,1} = \frac{Q_{u,1} \cdot (15 - SEP_1)}{15} = \frac{380 \cdot (15 - 2,37)}{15} = 320 \quad veic./h$$

$$Q'_{u,2} = \frac{Q_{u,2} \cdot (15 - SEP_2)}{15} = \frac{230 \cdot (15 - 9,23)}{15} = 88$$
 veic./ h

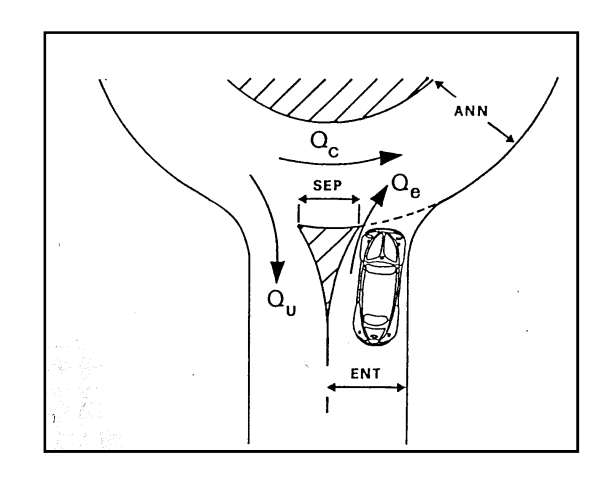
$$Q'_{u,3} = \frac{Q_{u,3} \cdot (15 - SEP_3)}{15} = \frac{322 \cdot (15 - 2,37)}{15} = 271 \quad veic./h$$

$$Q'_{u,4} = \frac{Q_{u,4} \cdot (15 - SEP_4)}{15} = \frac{271 \cdot (15 - 9,23)}{15} = 104 \quad veic./h$$

### **Metodo Francese, SETRA – Esempio (3)**

$$Q_{d,1} = \left(Q_{c,1} + \frac{2}{3} \cdot Q_{u,1}^{'}\right) \cdot \left[1 - 0.085 \cdot \left(ANN - 8\right)\right] = \left(190 + \frac{2}{3} \cdot 320\right) \cdot \left[1 - 0.085 \cdot \left(8 - 8\right)\right] = 403 \quad veic./h$$

$$Q_{d,2} = \left(300 + \frac{2}{3} \cdot 88\right) \cdot \left[1 - 0.085 \cdot (8 - 8)\right] = 359 \quad veic./h$$



$$Q_{d,3} = \left(214 + \frac{2}{3} \cdot 271\right) \cdot \left[1 - 0.085 \cdot (8 - 8)\right] = 395 \quad veic./h$$

$$Q_{d,4} = \left(418 + \frac{2}{3} \cdot 104\right) \cdot \left[1 - 0,085 \cdot (8 - 8)\right] = 487 \quad veic./h$$

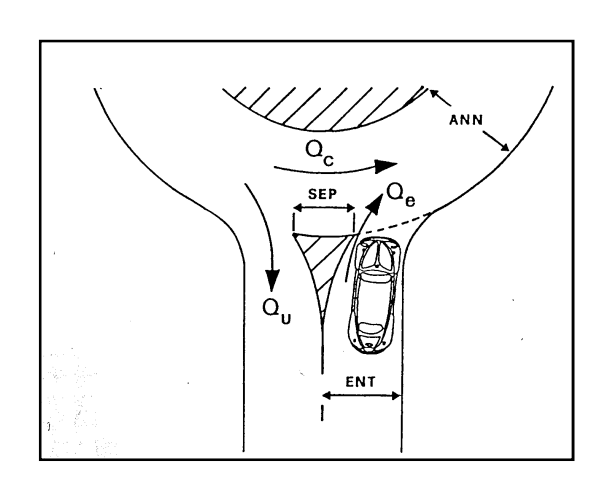
### **Metodo Francese, SETRA – Esempio (4)**

$$C_{1} = (1330 - 0.7 \cdot Q_{d,1}) \cdot [1 + 0.1 \cdot (ENT_{1} - 3.5)] = (1330 - 0.7 \cdot 403) \cdot [1 + 0.1 \cdot (7.00 - 3.5)] = 1415 \quad veic./h$$

$$C_{2} = (1330 - 0.7 \cdot 359) \cdot [1 + 0.1 \cdot (4.00 - 3.5)] = 1133 \quad veic./h$$

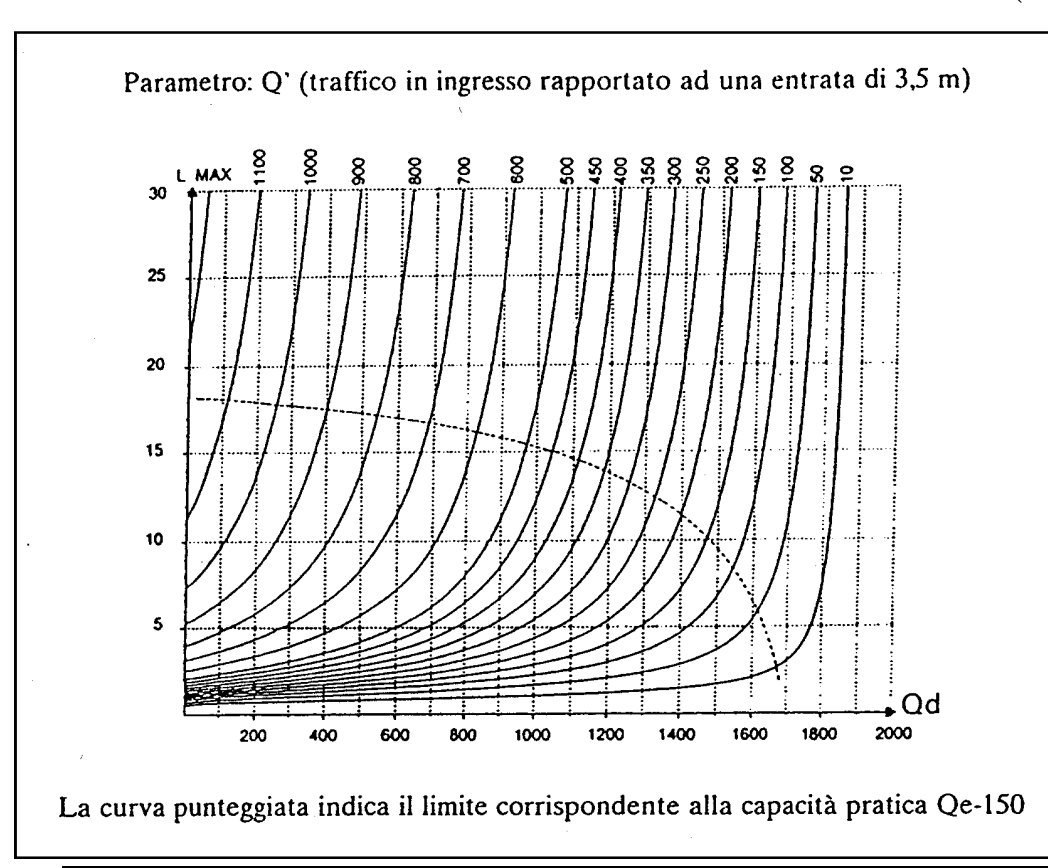
$$C_{3} = (1330 - 0.7 \cdot 395) \cdot [1 + 0.1 \cdot (7.00 - 3.5)] = 1422 \quad veic./h$$

$$C_{4} = (1330 - 0.7 \cdot 487) \cdot [1 + 0.1 \cdot (4.00 - 3.5)] = 1039 \quad veic./h$$



### **Metodo Francese, SETRA – Esempio (5)**

$$Q'_{e,1} = \frac{Q_{e,1}}{1 + 0,1 \cdot (ENT_1 - 3,5)} = \frac{340}{1 + 0,1 \cdot (7,00 - 3,5)} = 252 \text{ veic/h}$$



$$Q'_{e,2} = \frac{236}{1 + 0.1 \cdot (4.00 - 3.5)} = 225 \quad veic/h$$

$$Q'_{e,3} = \frac{477}{1 + 0.1 \cdot (7.00 - 3.5)} = 353 \quad veic / h$$

$$Q'_{e,4} = \frac{152}{1 + 0.1 \cdot (4.00 - 3.5)} = 145 \quad veic / h$$

$$L1 = 2$$
 veic.

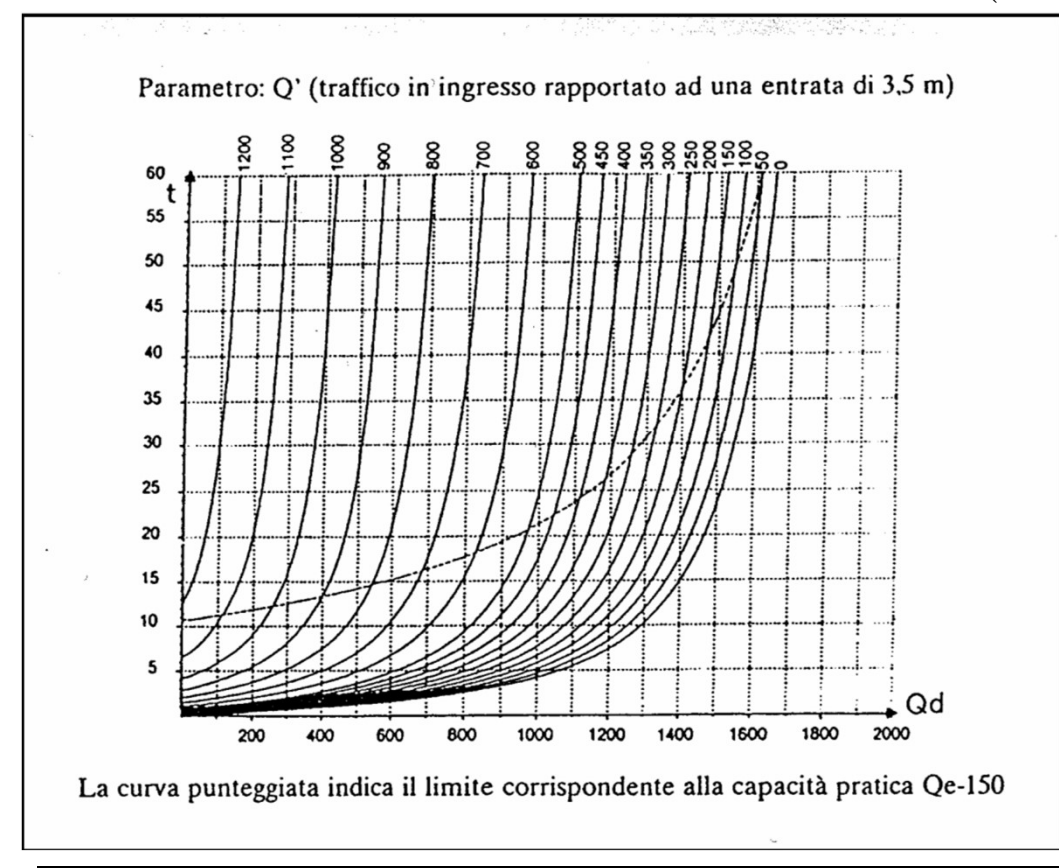
$$L2 = 2$$
 veic.

$$L3 = 3$$
 veic.

$$L4 = 3$$
 veic.

#### **Metodo Francese, SETRA – Esempio (5)**

$$Q'_{e,1} = \frac{Q_{e,1}}{1 + 0.1 \cdot (ENT_1 - 3.5)} = \frac{340}{1 + 0.1 \cdot (7.00 - 3.5)} = 252 \text{ veic/h}$$



$$Q'_{e,2} == \frac{236}{1+0.1\cdot(4.00-3.5)} = 225 \quad veic/h$$

$$Q'_{e,3} = \frac{477}{1+0,1\cdot(7,00-3,5)} = 353 \quad veic/h$$

$$Q'_{e,4} = \frac{152}{1 + 0.1 \cdot (4.00 - 3.5)} = 145 \quad veic / h$$

$$E1 = 1 s$$

$$E2 = 1 s$$

$$E3 = 2 s$$

$$E4 = 2 s$$

#### Metodo Francese, SETRA – Esempio (6)

$$C_{p,1} = C_1 - 150 = 1415 - 150 = 1265$$
 veic./ h

$$C_{p,2} = C_2 - 150 = 1133 - 150 = 983$$
 veic./ h

$$C_{p,3} = C_3 - 150 = 1272 - 150 = 1272$$
 veic./ h

$$C_{n,4} = C_4 - 150 = 1039 - 150 = 889$$
 veic./ h

$$(RC\%)_1 = \frac{C_{p,1} - Q_{e,1}}{C_{p,1}} \cdot 100 = \frac{1265 - 340}{1265} \cdot 100 = 73,12\%$$
 veic./h

$$(RC\%)_2 = \frac{983 - 236}{983} \cdot 100 = 76,00\%$$
 veic./h

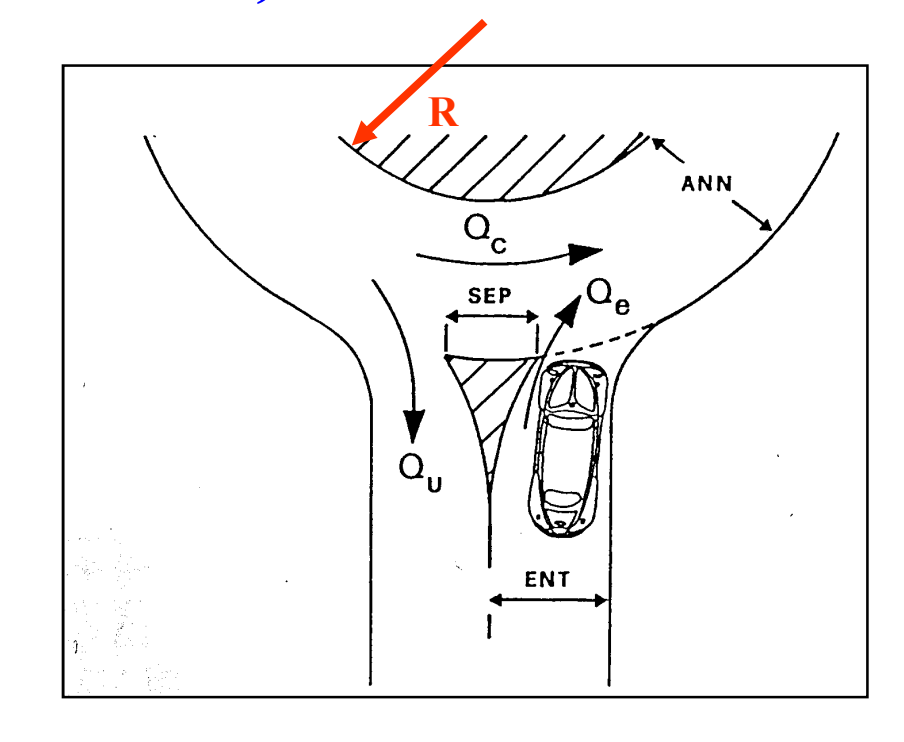
$$(RC\%)_3 = \frac{1272 - 477}{1272} \cdot 100 = 62,50\%$$
 veic./h

$$(RC\%)_4 = \frac{889 - 152}{889} \cdot 100 = 82,90\%$$
 veic./h

#### **Metodo Francese, CETUR**

$$C = \gamma \cdot \left(1500 - \frac{5}{6} \cdot Q_d\right)$$
$$Q_d = \beta \cdot Q_c + 0.2 \cdot Q_u$$

$$Q_d = \beta \cdot Q_c + 0.2 \cdot Q_u$$



 $\gamma = 1$  per ingressi con 1 corsia;  $\gamma = 1.5$  per ingressi a due o più corsie

 $\beta = 1 \text{ per ANN} < 8 \text{ m}; \ \beta = 0.9 \text{ per ANN} \ge 8 \text{ m e R} < 20 \text{ m}; \ \beta = 0.7 \text{ per ANN} \ge 8$ m e  $R \ge 20$  m;

#### Metodo Francese, CETUR - Esempio

$$Q_{d,1} = \beta \cdot Q_{c,1} + 0.2 \cdot Q_{u,1} = 0.7 \cdot 190 + 0.2 \cdot 380 = 209$$
 veic./ h

$$Q_{d,2} = 0.7 \cdot 300 + 0.2 \cdot 230 = 256$$
 veic./h

$$Q_{d,3} = 0.7 \cdot 214 + 0.2 \cdot 322 = 214$$
 veic./h

$$Q_{d,4} == 0.7 \cdot 418 + 0.2 \cdot 271 = 346$$
 veic./h

$$Q_{e,1} = 340 \text{ v/h} Q_{u,1} = 380 \text{ v/h} Q_{e,1} = 190 \text{ v/h}$$

$$Q_{e,2} = 236 \text{ v/h} \ Q_{u,2} = 230 \text{ v/h} \ Q_{c,2} = 300 \text{ v/h}$$

$$Q_{e,3} = 477 \text{ v/h} \ Q_{u,3} = 322 \text{ v/h} \ Q_{c,3} = 214 \text{ v/h}$$

$$Q_{e,4} = 152 \text{ v/h} \ Q_{u,4} = 271 \text{ v/h} \ Q_{c,4} = 418 \text{ v/h}$$

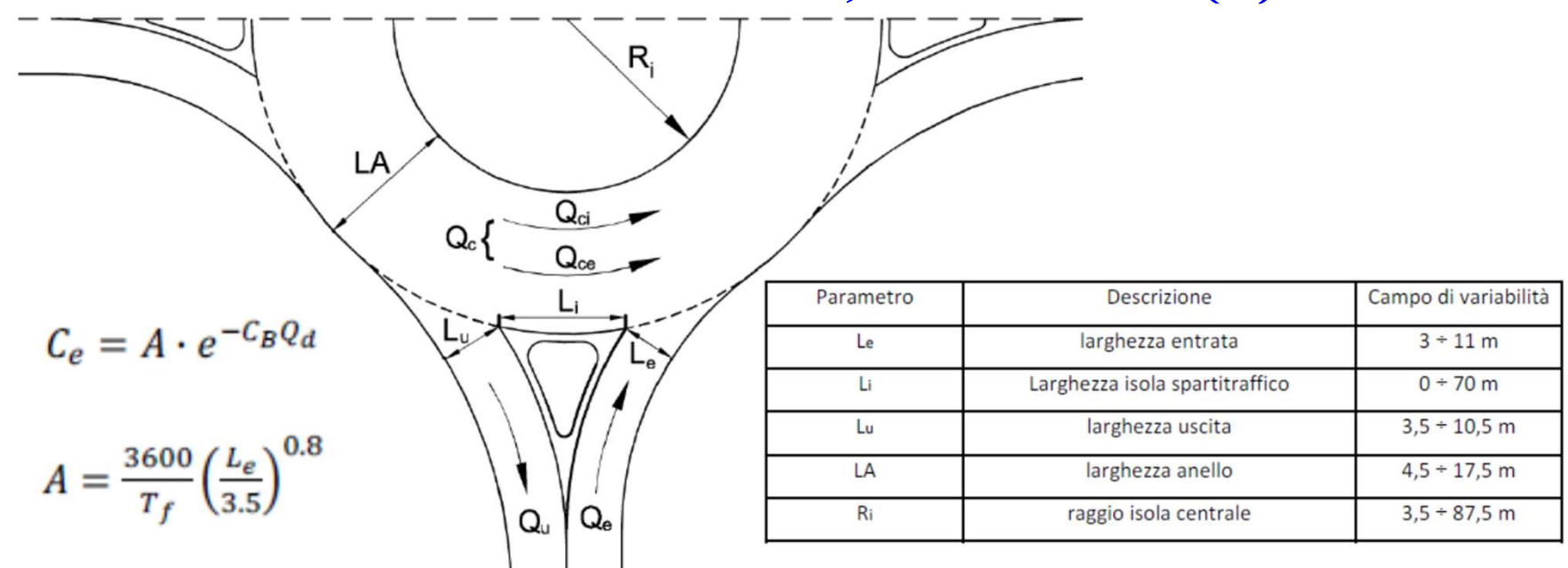
$$C_1 = \gamma \cdot \left(1500 - \frac{5}{6} \cdot Q_{d,1}\right) = 1,5 \cdot \left(1500 - \frac{5}{6} \cdot 209\right) = 1988$$
 veic./ h

$$C_2 = 1.5 \cdot \left(1500 - \frac{5}{6} \cdot 256\right) = 1930$$
 veic./h

$$C_3 = 1.5 \cdot \left(1500 - \frac{5}{6} \cdot 214\right) = 1982$$
 veic./ h

$$C_{41} = 1.5 \cdot \left(1500 - \frac{5}{6} \cdot 346\right) = 1817 \quad veic./h$$

#### **Metodo Francese, Girabase (1)**



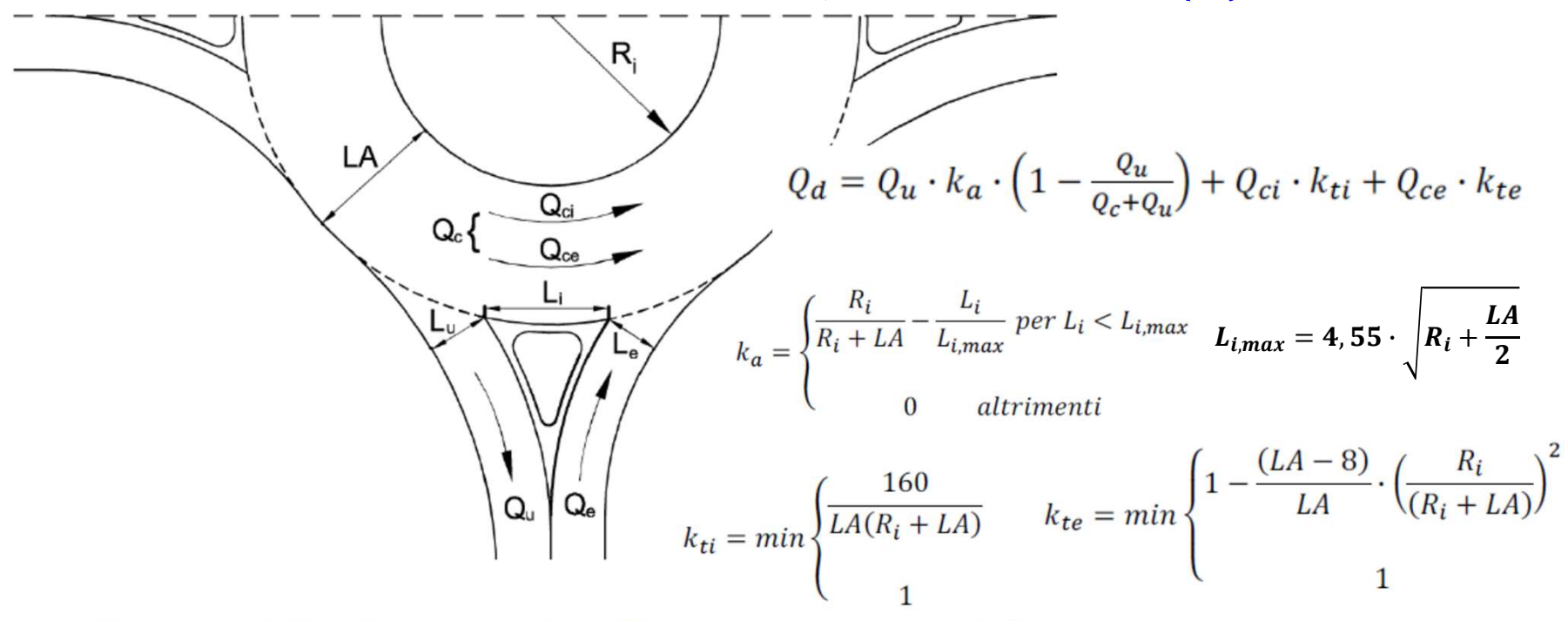
dove:

T<sub>f</sub>= tempo di follow-up= 2,05 s

L<sub>e</sub>= larghezza dell'entrata in prossimità della rotatoria, misurata perpendicolarmente alla direzione dell'ingresso(m)

C<sub>B</sub>= coefficiente che vale 3,525 per aree urbane e 3,625 per aree extraurbane

#### **Metodo Francese, Girabase (2)**



Q<sub>d</sub>= traffico di disturbo in prossimità dell'ingresso considerato (veh/h)

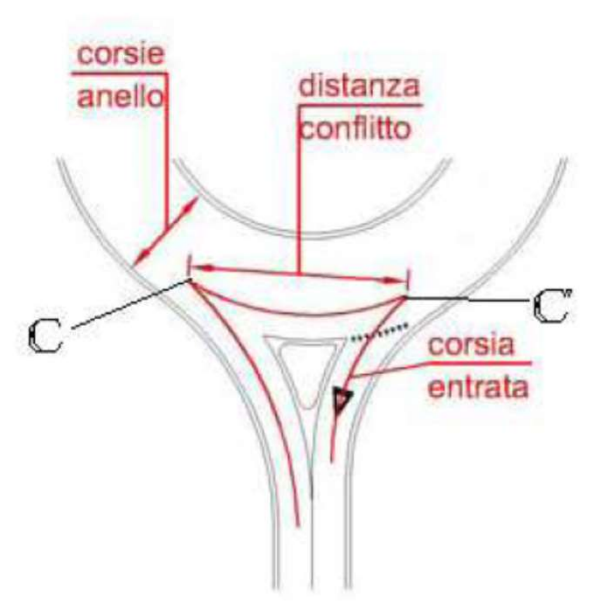
Qu= flusso uscente (veh/h)

 $Q_c$ =  $Q_{ci}$ + $Q_{ce}$ = flusso di traffico circolante sull'anello in corrispondenza dell'ingresso considerato (veh/h)

Qci= aliquota di traffico Qc sulla semicarreggiata interna dell'anello (veh/h)

Qce= aliquota di traffico Qc sulla semicarreggiata esterna dell'anello (veh/h)

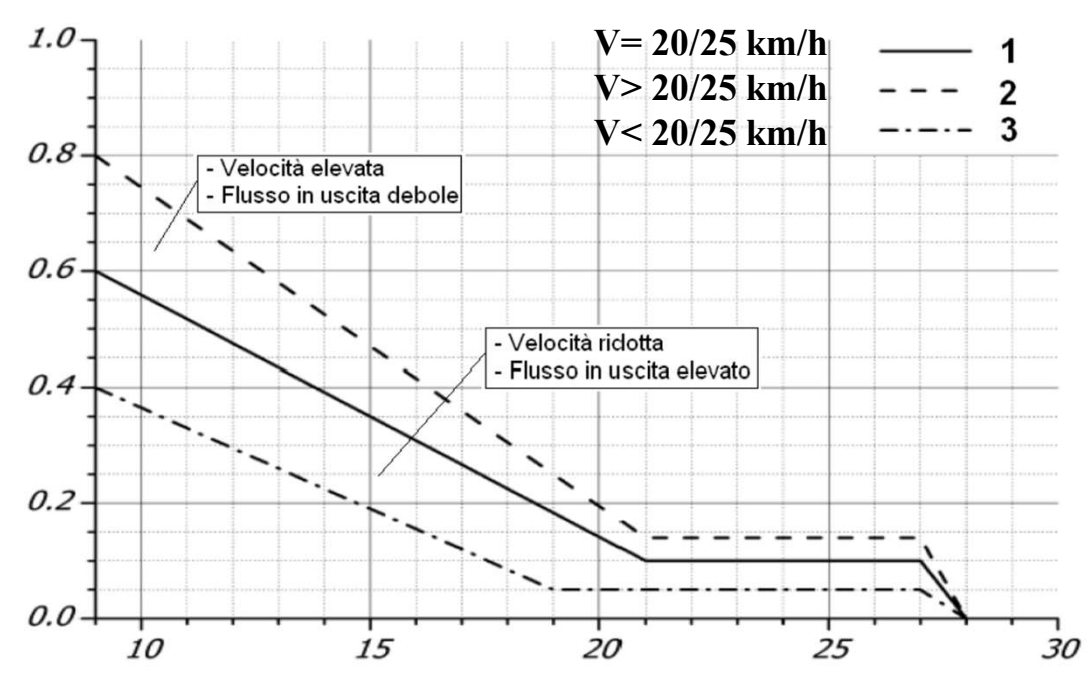
#### Metodo Svizzero, Bovy (1)



γ	n° corsie in ingresso
1,0	1
0,6-0,7	2
0,5	3

$$C_e = \frac{1}{\gamma} \left( 1500 - \frac{8}{9} Q_d \right) \quad [veh/h]$$

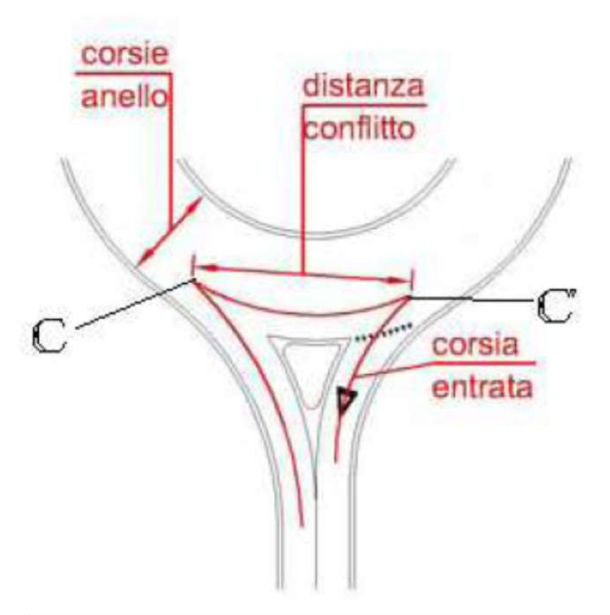
$$Q_d = \alpha Q_u + \beta Q_c$$
 [veh/h]



Distanza b tra i punti di conflitto (m)

 $\alpha$ 

#### Metodo Svizzero, Bovy (2)



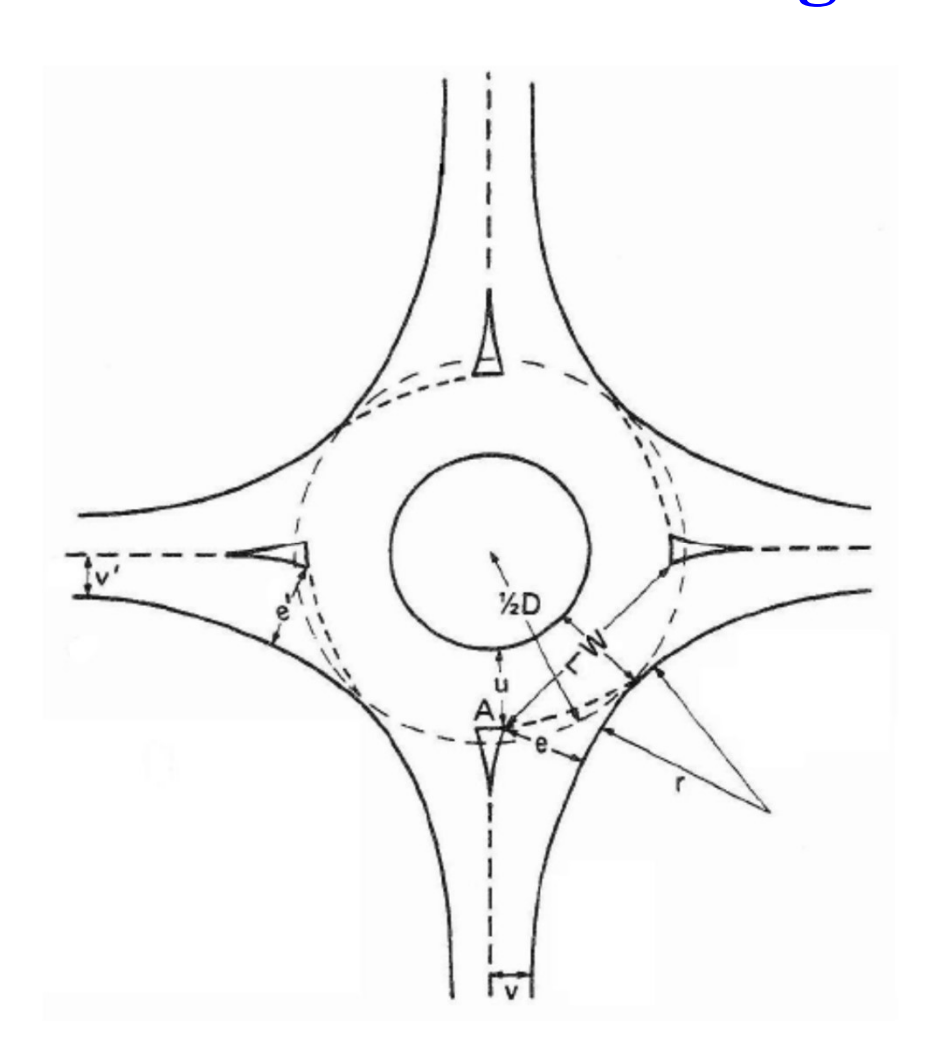
$$C_e = \frac{1}{\gamma} \left( 1500 - \frac{8}{9} Q_d \right) \quad [veh/h]$$

$$Q_d = \alpha Q_u + \beta Q_c$$
 [veh/h]

Tipo di veicolo	Coefficiente di equivalenza
1 ciclo o motociclo in ingresso	0,2 autovetture
1 ciclo o motociclo sull'anello	0,8 autovetture
1 mezzo pesante o autobus	2,0 autovetture

β	n° corsie sull'anello
0,9-1,0	1
0,6-0,8	2
0,5-0,6	3

#### Metodo inglese, Kimber (1)



$$C_e = k(F - f_c Q_c)$$
 [veh/h]

$$f_c = 0.210t_D(1+0.2x)$$

$$k = 1 - 0.00347(\Phi - 30) - 0.978\left(\frac{1}{r} - 0.05\right)$$

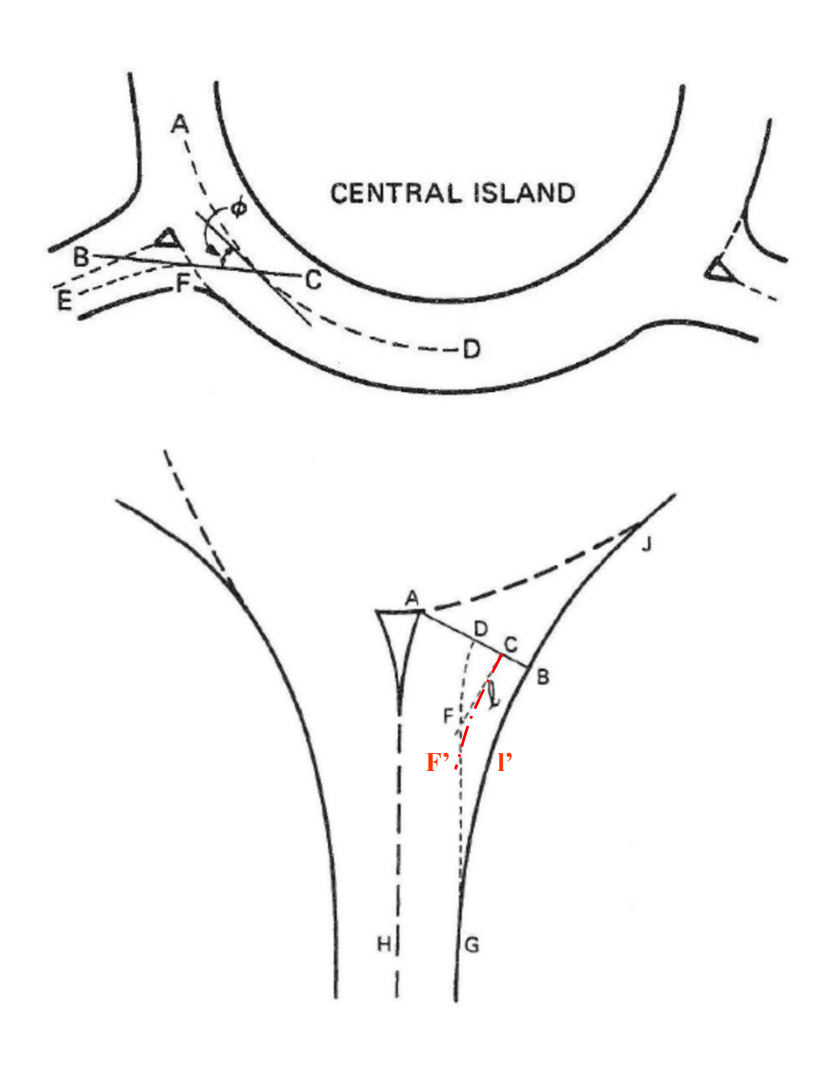
$$t_D = 1 + \frac{1}{2\left[1 + exp\left(\frac{(D-60)}{10}\right)\right]}$$

$$x = v + \frac{(e - v)}{(1 + 2S)}$$

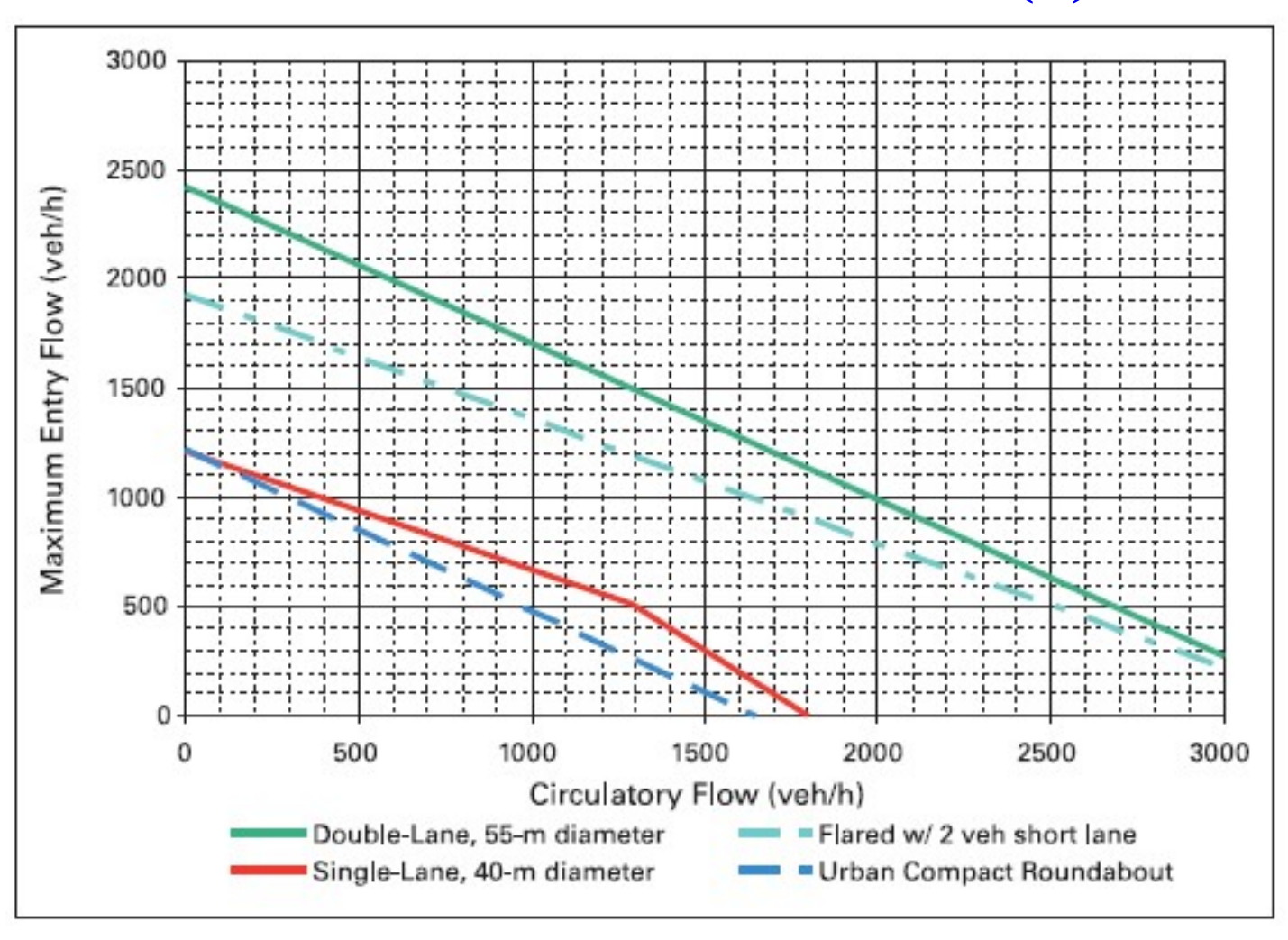
$$S = \frac{1,6(e-v)}{l'} = \frac{(e-v)}{l}$$

## Metodo inglese, Kimber (2)

Development	D	Canada di cantalatita
Parametro	Descrizione	Campo di variabilità
е	larghezza entrata	3,6 ÷ 16,5 m
V	larghezza corsia	1,9 ÷ 12,5 m
e'	larghezza entrata precedente	3,6 ÷ 15,0 m
v'	larghezza corsia precedente	2,9 ÷ 12,5 m
u	larghezza anello	4,9 ÷ 22,7 m
1, 1'	lunghezza media svasatura	1,0 ÷ ∞ m
S	acutezza svasatura	0 ÷ 2,9 m
r	raggio curvatura entrata	3,4 ÷ ∞ m
Φ	angolo d'entrata	0° ÷ 77°
D=Dext	diametro cerchio inscritto	13,5 ÷ 171,6 m
w	larghezza tronco di scambio	7,0 ÷ 26,0 m
L	lunghezza tronco di scambio	9,0 ÷ 86,0 m



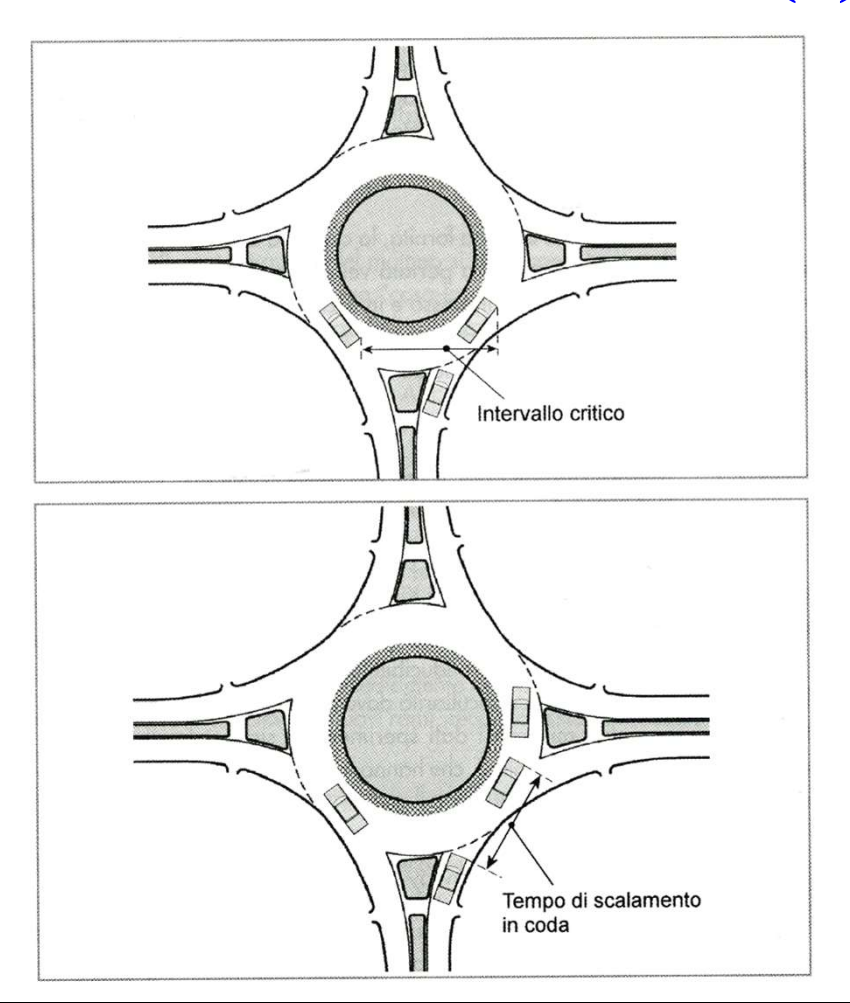
## Metodo FHWA - USA (1)



# Metodo FHWA - USA (2)

Parametri geometrici	Rotatorie a singola corsia	Rotatorie a doppia corsia	Rotatorie urbane compatte
D	40 m	55 m	
re	20 m	20 m	Basato sul metodo
Φ	30°	30°	di Brilon
v	4 m	8 m	Equazione 2.14
е	4 m	8 m	
I'	40 m	40 m	
Qe	1212-0,5447Qc	2424-0,71Qc	1218-0,74Qc

## Metodo HCM - USA (1)



## Metodo HCM - USA (2)

EXHIBIT 17-36. ANALYSIS ON ONE ROUNDABOUT LEG

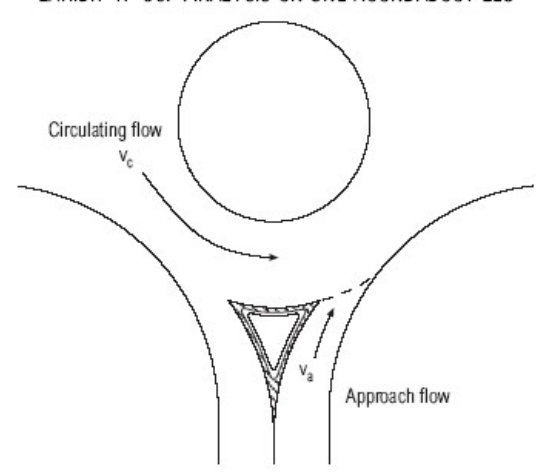


EXHIBIT 17-37. CRITICAL GAP AND FOLLOW-UP TIMES FOR ROUNDABOUTS

	Critical Gap (s)	Follow-Up Time (s)
Upper bound	4.1	2.6
Lower bound	4.6	3.1

$$c_a = \frac{v_c e^{-v_c t_c/3600}}{1 - e^{-v_c t_f/3600}}$$

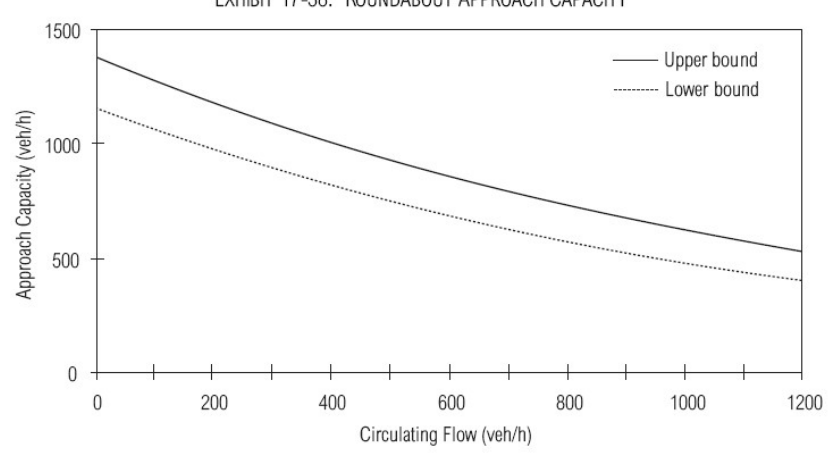
 $c_a$  = approach capacity (veh/h),

 $v_c$  = conflicting circulating traffic (veh/h),

 $t_c$  = critical gap (s), and

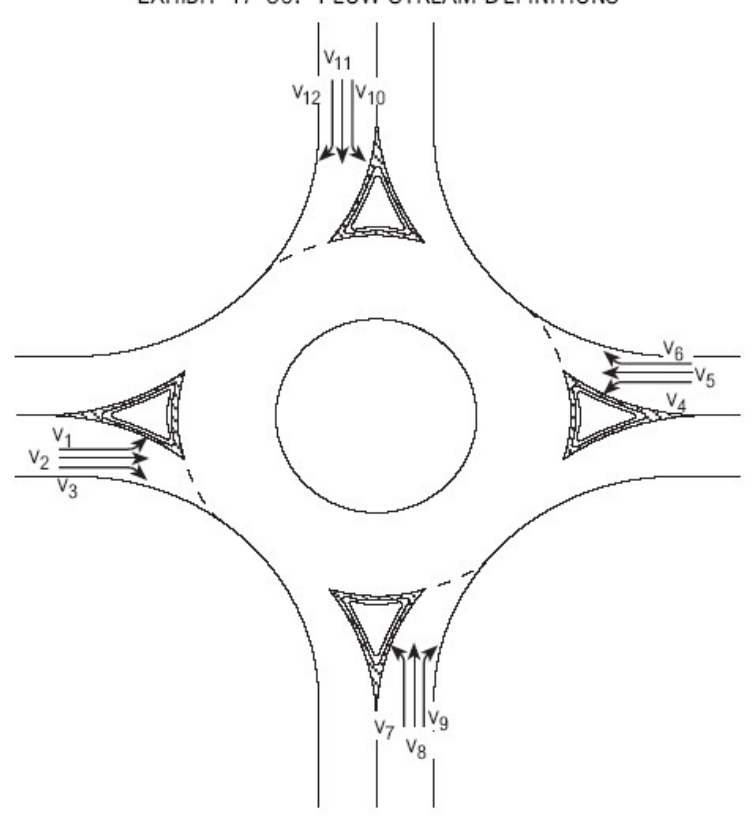
 $t_f$  = follow-up time (s).

EXHIBIT 17-38. ROUNDABOUT APPROACH CAPACITY



## Metodo HCM - USA (3)

EXHIBIT 17-39. FLOW STREAM DEFINITIONS



### Metodo HMC - USA (4)

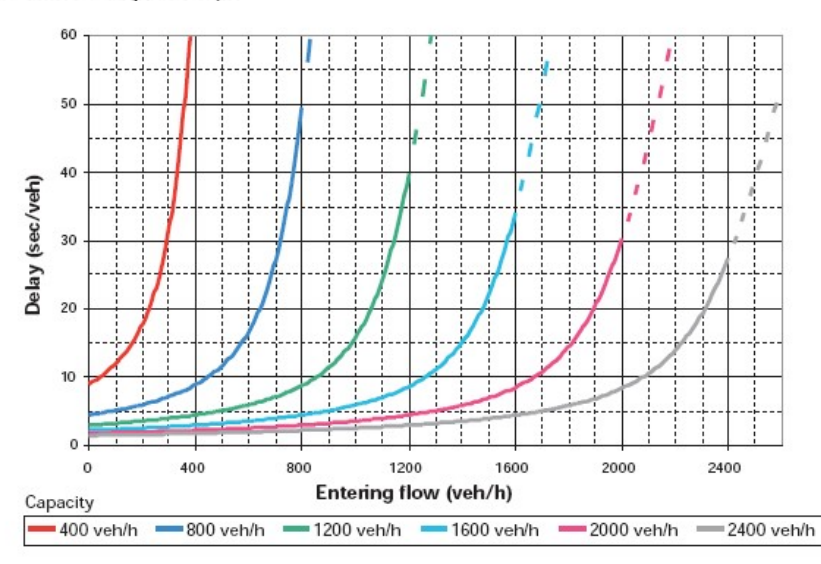
$$d = \frac{3600}{c_{m,x}} + 900T \times \left[ \frac{v_x}{c_{m,x}} - 1 + \sqrt{\left(\frac{v_x}{c_{m,x}} - 1\right)^2 + \frac{\left(\frac{3600}{c_{m,x}}\right)\left(\frac{v_x}{c_{m,x}}\right)}{450T}} \right]$$

where: d = average control delay, sec/veh;

 $v_x$  = flow rate for movement x, veh/h;

 $c_{\rm mx}$  = capacity of movement x, veh/h; and

T = analysis time period, h (T = 0.25 for a 15-minute period).



#### Metodo HMC - USA (5)

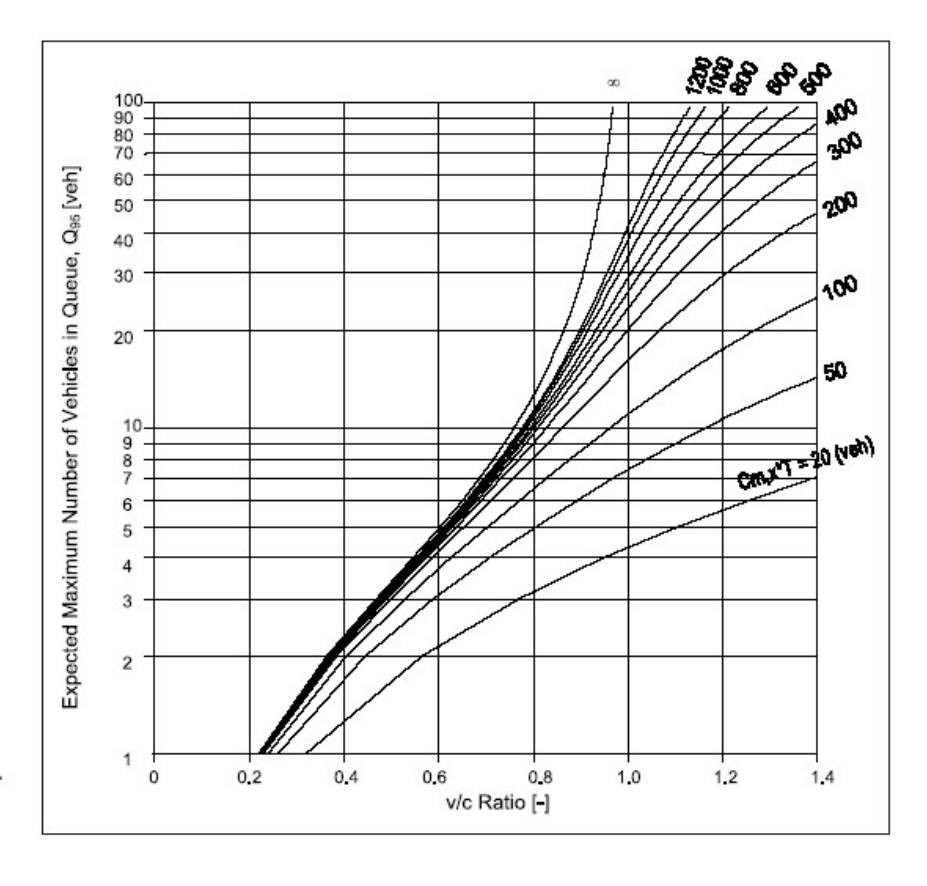
$$L = v \cdot \frac{d}{3600}$$

$$Q_{95} \approx 900T \left[ \frac{v_x}{c_{m,x}} - 1 + \sqrt{\left(1 - \frac{v_x}{c_{m,x}}\right)^2 + \frac{\left(\frac{3600}{c_{m,x}}\right)\left(\frac{v_x}{c_{m,x}}\right)}{150T}} \right] \left(\frac{c_{m,x}}{3600}\right)$$

Q<sub>a5</sub>= 95th percentile queue, veh, where:

 $v_{\star}$  = flow rate for movement x, veh/h,

 $\hat{c}_{mx}$  = capacity of movement x, veh/h, and T = analysis time period, h (0.25 for 15-minute period).



### Metodo USA – Esempio (1)

$$V_{a,1} = 340 \text{ v/h } V_{u,1} = 380 \text{ v/h } V_{c,1} = 190 \text{ v/h}$$

$$V_{a,2} = 236 \text{ v/h } V_{u,2} = 230 \text{ v/h } V_{c,2} = 300 \text{ v/h}$$

$$V_{a,3} = 477 \text{ v/h } V_{u,3} = 322 \text{ v/h } V_{c,3} = 214 \text{ v/h}$$

$$V_{a,4} = 152 \text{ v/h } V_{u,4} = 271 \text{ v/h } V_{c,4} = 418 \text{ v/h}$$

$$C_{a,i} = \frac{V_{c,i} \cdot e^{-V_{c,i} \cdot t_c/3600}}{1 - e^{-V_{c,i} \cdot t_f/3600}}$$

EXHIBIT 17-37. CRITICAL GAP AND FOLLOW-UP TIMES FOR ROUNDABOUTS

	Critical Gap (s)	Follow-Up Time (s)
Upper bound	4.1	2.6
Lower bound	4.6	3.1

$$C_{a,1,u} = \frac{V_{c,1} \cdot e^{-V_{c,1} \cdot t_c/3600}}{1 - e^{-V_{c,1} \cdot t_f/3600}} = \frac{190 \cdot e^{-190 \cdot 4,1/3600}}{1 - e^{-190 \cdot 2,6/3600}} = 1193 \quad veic./h \qquad C_{a,1,l} = \frac{190 \cdot e^{-190 \cdot 4,6/3600}}{1 - e^{-190 \cdot 3,1/3600}} = 987 \quad veic./h$$

$$C_{a,2,u} = \frac{300 \cdot e^{-300 \cdot 4,1/3600}}{1 \cdot e^{-300 \cdot 2,6/3600}} = 1094 \quad veic./h$$

$$C_{a,3,u} = \frac{214 \cdot e^{-214 \cdot 4,1/3600}}{1 - e^{-214 \cdot 2,6/3600}} = 1171 \quad veic./h$$

$$C_{a,4,u} = \frac{418 \cdot e^{-418 \cdot 4,1/3600}}{1 - e^{-418 \cdot 2,6/3600}} = 996 \quad veic./h$$

$$C_{a,1,l} = \frac{190 \cdot e^{-190 \cdot 4,6/3600}}{1 - e^{-190 \cdot 3,1/3600}} = 987$$
 veic./h

$$C_{a,2,l} = \frac{300 \cdot e^{-300 \cdot 4,6/3600}}{1 - e^{-300 \cdot 3,1/3600}} = 898 \quad veic./h$$

$$C_{a,3,l} = \frac{214 \cdot e^{-214 \cdot 4,6/3600}}{1 - e^{-214 \cdot 3,1/3600}} = 967 \quad veic./h$$

$$C_{a,4,l} = \frac{418 \cdot e^{-418 \cdot 4,6/3600}}{1 - e^{-418 \cdot 3,1/3600}} = 810 \quad veic./h$$

#### Metodo USA – Esempio (2)

 $C_{m,1} = 1090 \text{ v/h}; C_{m,2} = 996 \text{ v/h}; C_{m,3} = 1069 \text{ v/h}; C_{m,4} = 903 \text{ v/h};$ 

$$d_1 = \frac{3600}{C_{m,1}} + 900 \cdot T \cdot \left[ \frac{V_1}{C_{m,1}} - 1 + \sqrt{\left(\frac{V_1}{C_{m,1}} - 1\right)^2 + \frac{\frac{3600}{C_{m,1}} \cdot \frac{V_1}{C_{m,1}}}}{450 \cdot T} \right] = \frac{3600}{1090} + 900 \cdot 0, 25 \cdot \left[ \frac{340}{1090} - 1 + \sqrt{\left(\frac{340}{1090} - 1\right)^2 + \frac{\frac{3600}{1090} \cdot \frac{340}{1090}}{450 \cdot 0, 25}} \right] = 4,793 [s]$$

$$L_1 = V_1 \cdot \frac{d_1}{3600} = 340 \cdot \frac{4,793}{3600} = 0,453 \ [veic.]$$

$$Q_{95} = 900 \cdot T \cdot \left[ \frac{V_1}{C_{m,1}} - 1 + \sqrt{\left(\frac{V_1}{C_{m,1}} - 1\right)^2 + \frac{\frac{3600}{C_{m,1}} \cdot \frac{V_1}{C_{m,1}}}{150 \cdot T}} \right] \cdot \frac{C_{m,1}}{3600} = +900 \cdot 0, 25 \cdot \left[ \frac{340}{1090} - 1 + \sqrt{\left(\frac{340}{1090} - 1\right)^2 + \frac{\frac{3600}{1090} \cdot \frac{340}{1090}}{150 \cdot 0, 25}} \right] \cdot \frac{1090}{3600} = 1,341 \left[ veic. \right]$$

#### Confronti e considerazioni

	Braccio 1	Braccio 2	Braccio 3	Braccio 4
Germania	1285	1230	1273	1171
SETRA	1415	1133	1422	1039
CETUR	1988	1930	1982	1817
USA	1090	996	1069	903

### Capacità in presenza di flusso pedonale

$$C_{ped} = C_e \cdot M$$

Metodo di Brilon, Struwe e Drews

dove M dipende dalla configurazione degli ingressi:

Entrata ad 1 corsia

$$M = \frac{1119,5 - 0,715Q_c - 0,644Q_{ped} + 0,00073Q_cQ_{ped}}{1069 - 0,65Q_c}$$

Entrata a 2 corsie

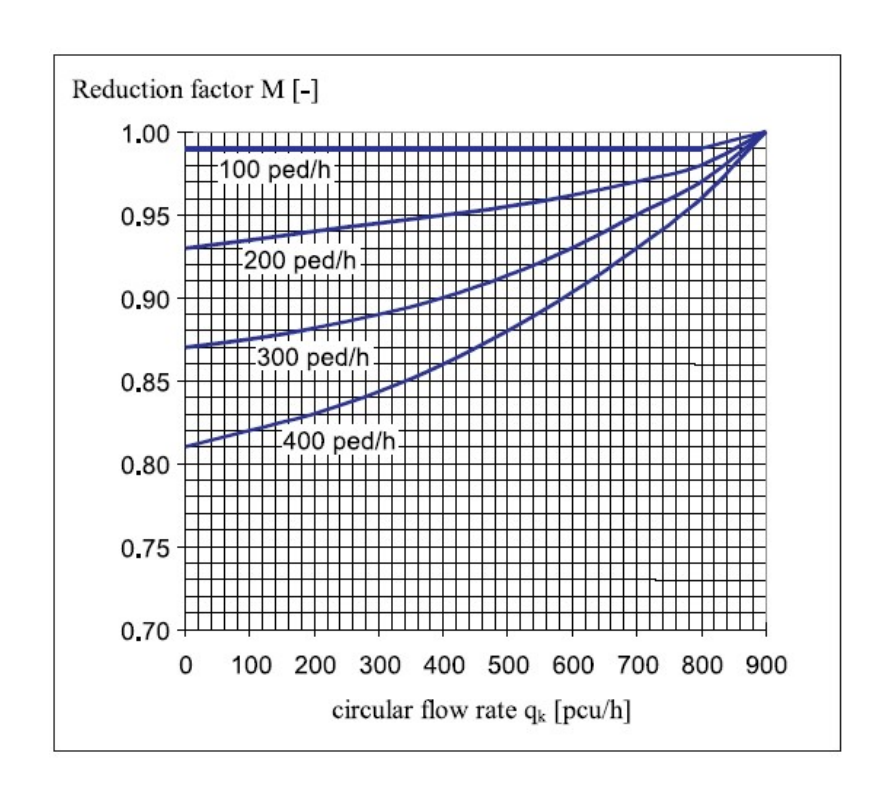
$$M = \frac{1260,6 - 0,381Q_{ped} - 0,329Q_c}{1380 - 0,50Q_c}$$

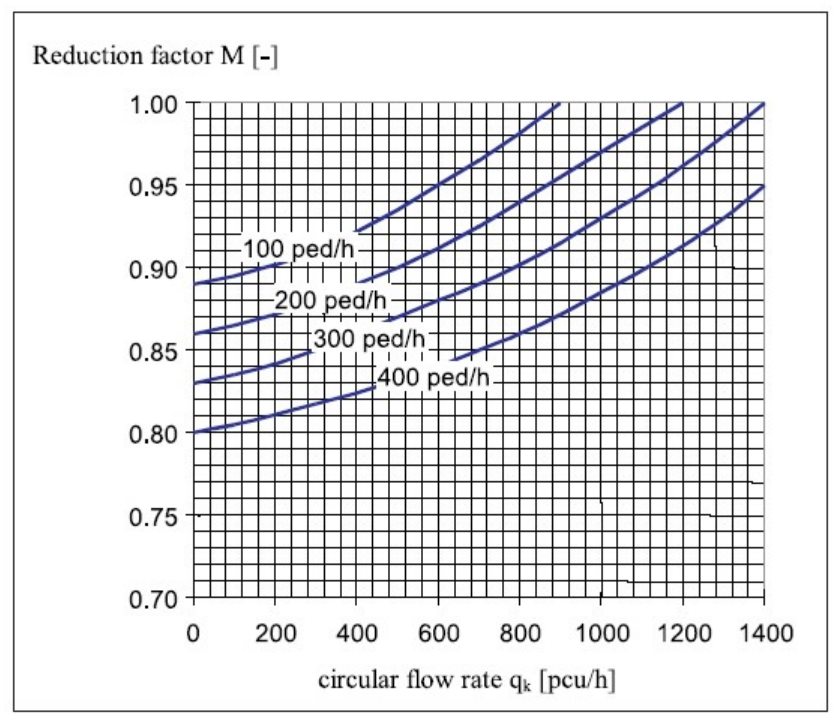
con:

Q<sub>c</sub> = flusso circolante all'anello in prossimità dell'ingresso considerato (veh/h)

Q<sub>ped</sub> = flusso di traffico pedonale in attraversamento del braccio considerato (ped/h)

#### Capacità in presenza di flusso pedonale



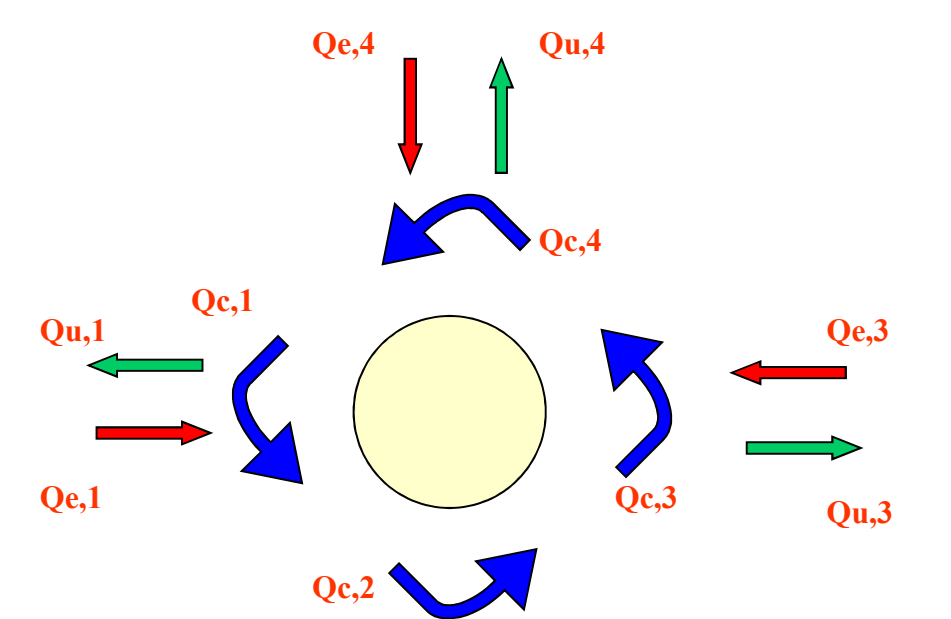


#### Capacità delle uscite e dell'anello

Da osservazioni sperimentali per le uscite, si sono ricavati valori del limite di capacità per corsia di 1200÷1400 veh/h.

Tino di rotatorio	Numero di corsie	Capacità dell'anello
Tipo di rotatoria	agli ingressi	[veh/h]
Rotatorie ad 1 corsia all'anello (minirotatorie e rotatorie compatte)	1	1600
Rotatorie compatte con	1	1600
2 corsie all'anello	2	1600
Grandi rotatorie	1	2000
	2	2500

#### Calcolo flussi



Uscite Ingressi	1	2	3	4
1	0,00	0,18	0,65	0,17
2	0,20	0,00	0,21	0,59
3	0,72	0,10	0,00	0,18
4	0,20	0,70	0,10	0,00

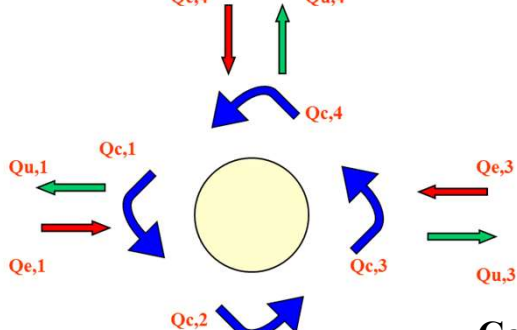
Qe,1=700; Qe,2=525; Qe,3=310; Qe,4=430

Qu,1= Qe,2\*0,20+Qe,3\*0,72+Qe,4\*0,20

Qc,1= Qe,4\*0,70+Qe,4\*0,10+Qe,3\*0,10

Flusso Flusso Flusso entrato in 4 e uscente in 2 in 3 Flusso entrato in 2 in 2

#### Calcolo Capacità Semplice



Modelli per il calcolo capacità degli ingressi:  $C_i = f(Q_{c,i}; \ Q_{u,i}) \ per ogni "i"$ 

Per esempio il metodo tedesco:  $C_i = A - B \cdot Q_{c,i}$ 

Capacità semplice: è la somma dei flussi nei bracci di entrata di una rotatoria quando uno dei bracci abbia raggiunto la sua capacità, cioè determina la presenza permanente di veicoli in attesa.

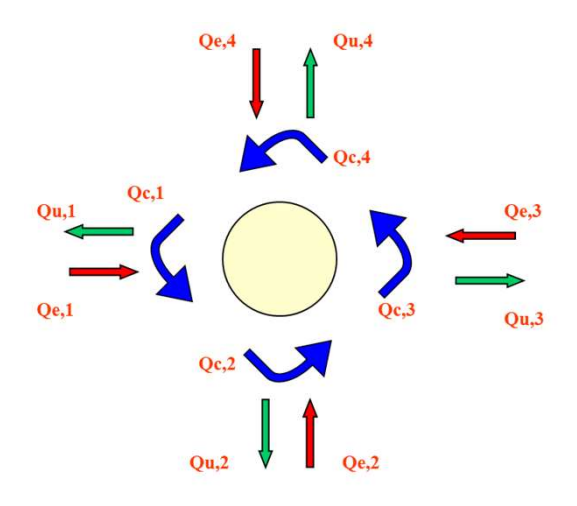
Per individuare la capacità semplice si scrivono un insieme di equazioni del tipo:

$$\delta_i \cdot Q_{e,i} = C_i = f(\delta_i \cdot Q_{c,i}; \ \delta_i \cdot Q_{u,i}) \quad \text{ una per ogni ramo "i"}$$

Da cui si individuano le incognite  $\delta i$  ed il minimo dei  $\delta i$ :  $\hat{\delta} = \min\{\delta_i\}$ 

$$C_{semplice} = \sum_{i} (\widehat{\delta} \cdot Q_{e,i}) \quad \text{quando in un ramo "i"} \quad \widehat{\delta} \cdot Q_{e,i} = C_{i} = f(\widehat{\delta} \cdot Q_{c,i}; \ \widehat{\delta} \cdot Q_{u,i})$$

#### Calcolo Capacità Totale



La Capacità totale rappresenta una misura sintetica delle condizioni limite della rotatoria a smaltire il traffico quando ad ognuno degli accessi «i» sono presenti code.

Capacità totale della rotatoria è la somma dei flussi in ingresso che distribuendosi fra le diverse uscite determinano il raggiungimento contemporaneo della capacità su tutti bracci.

$$C_{Totale} = \sum_{i} C_{i}$$

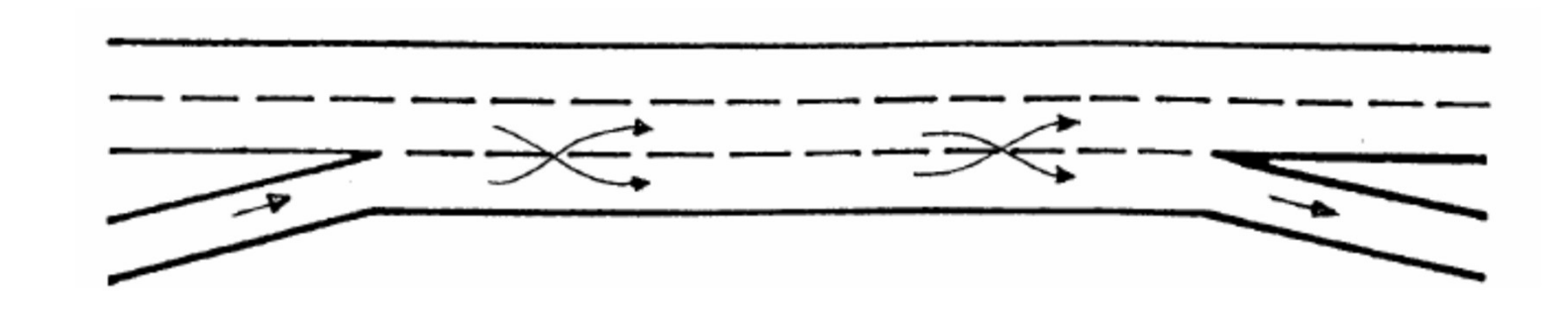
Per individuare la capacità totale va risolto un sistema di equazioni (tante quante sono gli ingressi) con incognite le Qe,i:

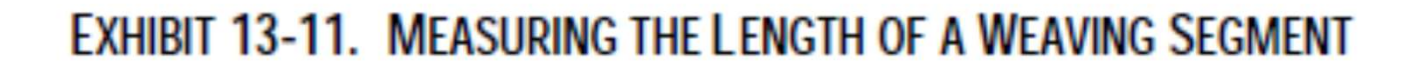
$$Q_{e,i} = C_i = f(Q_{c,i}; Q_{u,i})$$
 una per ogni ramo "i"

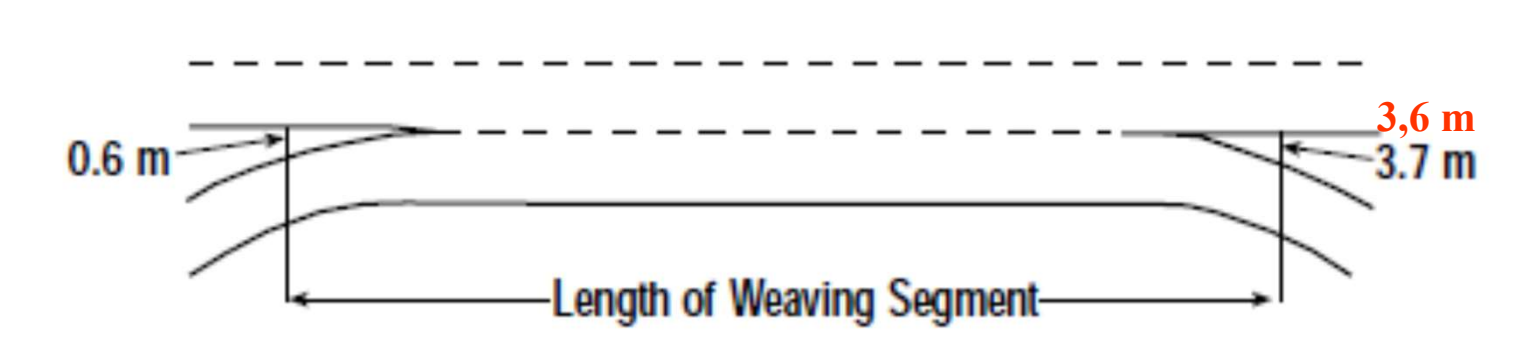
Con ciascun Qc,i e Qu,i che dipendono dalle incognite Qe,i, di TUTTI rami

#### Zone di scambio (1)

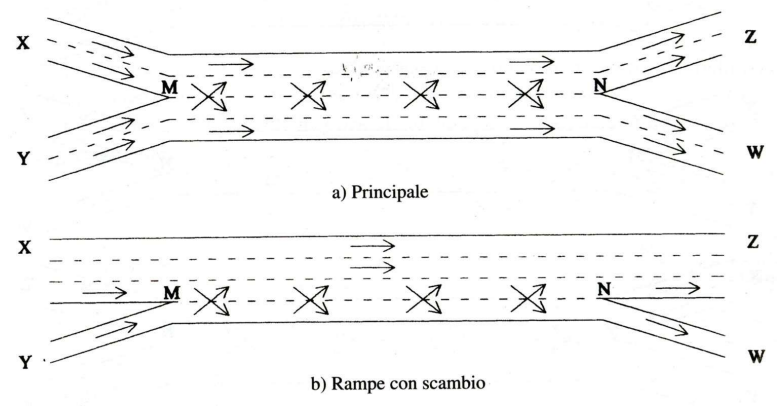
Le zone di scambio. Queste si hanno quando avviene l'attraversamento reciproco di due correnti di traffico aventi medesima direzione e verso, lungo un tronco stradale di lunghezza significativa (FONTE: DM intersezioni).







#### Zone di scambio (2)



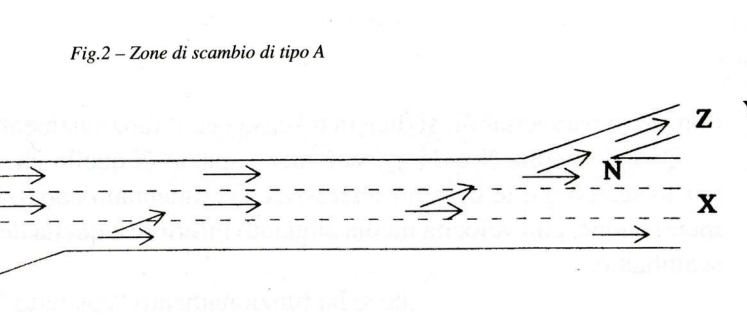


Fig.4 – Zona di scambio di tipo C

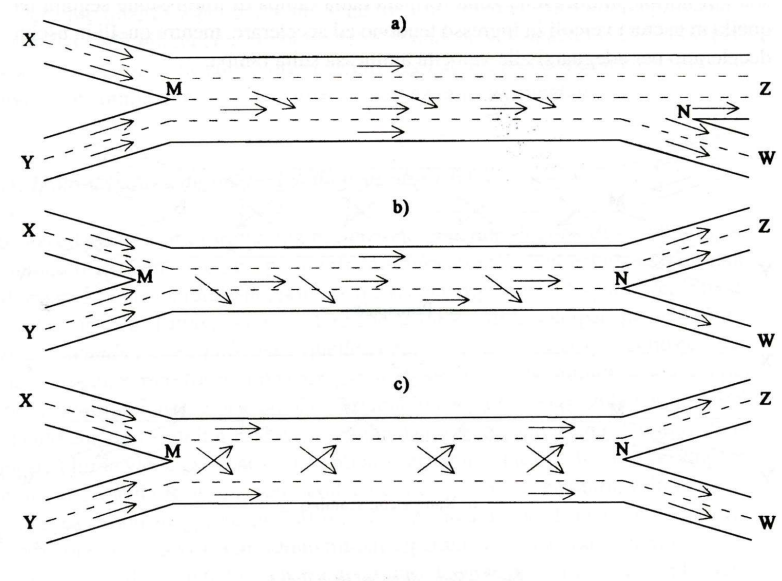


Fig.3 - Zone di scambio di tipo B

EXHIBIT 24-5. DETERMINING CONFIGURATION TYPE

	Number of Lane Changes Required by Movement v <sub>w2</sub>		
Number of Lane Changes Required by Movement v <sub>w1</sub>	0	1	≥2
0	Type B	Type B	Type C
1	Type B	Type A	N/A
≥2	Type C	N/A	N/A

Note:

N/A = not applicable; configuration is not feasible.

### Zone di scambio (3)

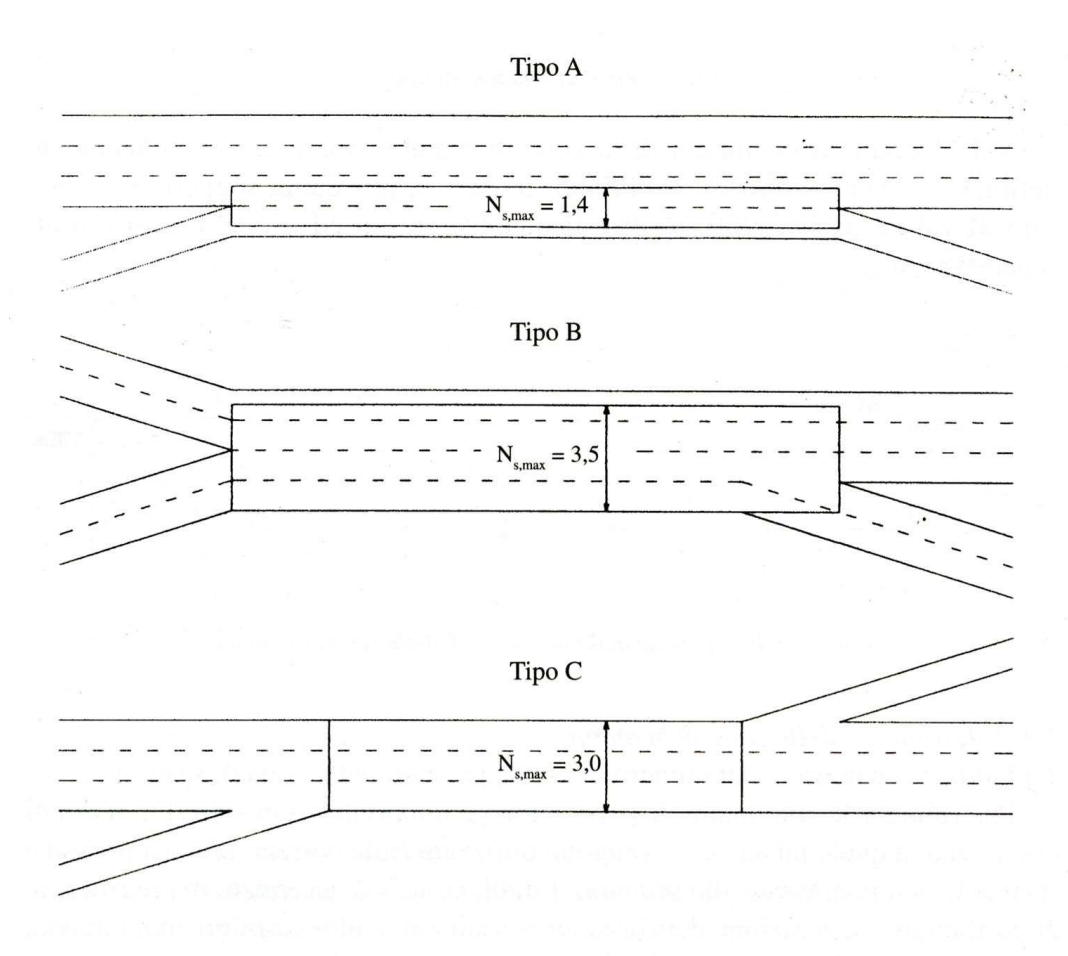


Fig.6 – Massimo numero di corsie utilizzabili dalle correnti che scambiano

#### Zone di scambio (4)

EXHIBIT 24-2. LOS CRITERIA FOR WEAVING SEGMENTS

	Density (pc/km/ln)		
LOS	Freeway Weaving Segment	Multilane and Collector-Distributor Weaving Segments	
Α	≤ 6.0	≤ 8.0	
В	> 6.0-12.0	> 8.0-15.0	
C	> 12.0-17.0	> 15.0–20.0	
D	> 17.0–22.0	> 20.0–23.0	
E	> 22.0–27.0	> 23.0-25.0	
F	> 27.0	> 25.0	

EXHIBIT 13-13. EXAMPLE SERVICE VOLUMES FOR FREEWAY WEAVING SEGMENTS (SEE FOOTNOTE FOR ASSUMED VALUES)

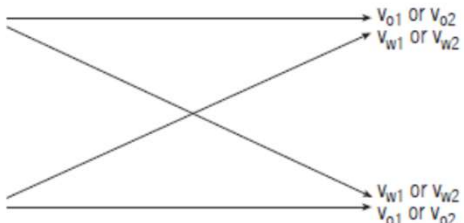
		Service	Volumes (veh/h) t	or LOS	
Weaving Section Number of Lanes	Α	В	С	D	E
		Тур	e A		
3	1710	3010	3920	4740	5490
4	2280	4010	5230	6320	7330
5	2850	5010	6540	7930	9260
		Тур	е В		
3	1780	3290	4430	5490	6320
4	2380	4390	5900	7320	8430
5	2970	5490	7380	9140	10,540
00		Тур	e C		362
3	1790	3280	4380	5400	6320
4	2380	4370	5840	7200	8430

Note:

Assumptions: FFS = 120 km/h, PHF = 0.90, 5 percent trucks, level terrain, volume ratio = 0.20, weaving segment length = 300 m.

### Zone di scambio (5)

EXHIBIT 24-3. PARAMETERS AFFECTING WEAVING SEGMENT OPERATION



Symbol	Definition
L	Length of weaving segment (m)
N	Total number of lanes in the weaving segment
$N_{\rm w}$	Number of lanes to be used by weaving vehicles if unconstrained operation is to be achieved
N <sub>w</sub> (max)	Maximum number of lanes that can be used by weaving vehicles for a given configuration
N <sub>nw</sub>	Number of lanes used by nonweaving vehicles
V	Total flow rate in the weaving segment (pc/h)
V <sub>o1</sub>	Larger of the two outer, or nonweaving, flow rates in the weaving segment (pc/h)
V <sub>o2</sub>	Smaller of the two outer, or nonweaving, flow rates in the weaving segment (pc/h)
$V_{w1}$	Larger of the two weaving flow rates in the weaving segment (pc/h)
V <sub>w2</sub>	Smaller of the two weaving flow rates in the weaving segment (pc/h)
V <sub>w</sub>	Total weaving flow rate in the weaving segment (pc/h) $(v_w = v_{w1} + v_{w2})$
V <sub>nw</sub>	Total nonweaving flow rate in the weaving segment (pc/h) $(v_{nw} = v_{o1} + v_{o2})$
VR	Volume ratio; the ratio of weaving flow rate to total flow rate in the weaving segmen $(VR = v_w/v)$
R	Weaving ratio; the ratio of the smaller weaving flow rate to total weaving flow rate $(R = V_{wp}/V_w)$
Sw	Speed of weaving vehicles in the weaving segment (km/h)
Snw	Speed of nonweaving vehicles in the weaving segment (km/h)
S	Speed of all vehicles in the weaving segment (km/h)
D	Density of all vehicles in the weaving segment (pc/km/ln)
W <sub>w</sub>	Weaving intensity factor for prediction of weaving speed
W <sub>nw</sub>	Weaving intensity factor for prediction of nonweaving speed

#### Zone di scambio (6)

$$S_i = S_{min} + \frac{S_{max} - S_{min}}{1 + W_i}$$
 (24-2)

where

 $S_i$  = average speed of weaving (i = w) or nonweaving (i = nw) vehicles (km/h),

 $S_{min}$  = minimum speed expected in a weaving segment (km/h),

 $S_{max}$  = maximum speed expected in a weaving segment (km/h), and

 $W_i$  = weaving intensity factor for weaving (i = w) and nonweaving (i = nw) flows.

$$S_i = 24 + \frac{S_{FF} - 16}{1 + W_i} \tag{24-3}$$

where  $S_{FF}$  is the average free-flow speed of the freeway segments entering and leaving the weaving segment (km/h).

#### Zone di scambio (7)

EXHIBIT 24-6. CONSTANTS FOR COMPUTATION OF WEAVING INTENSITY FACTORS

#### General Form

$$W = \frac{a(1+VR)^b \left(\frac{V}{N}\right)^c}{(3.28L)^d}$$

	Constants for Weaving Speed, S <sub>w</sub>				Constants for Nonweaving Speed, S <sub>nw</sub>			
	a	b	С	d	a	b	С	d
			Type A	Configuration	on			
Unconstrained	0.15	2.2	0.97	0.80	0.0035	4.0	1.3	0.75
Constrained	0.35	2.2	0.97	0.80	0.0020	4.0	1.3	0.75
			Type B	Configuration	on			
Unconstrained	0.08	2.2	0.70	0.50	0.0020	6.0	1.0	0.50
Constrained	0.15	2.2	0.70	0.50	0.0010	6.0	1.0	0.50
			Type C	Configuration	on			
Unconstrained	0.08	2.3	0.80	0.60	0.0020	6.0	1.1	0.60
Constrained	0.14	2.3	0.80	0.60	0.0010	6.0	1.1	0.60

#### where

 $W_i$  = weaving intensity factors for weaving (i = w) and nonweaving (i = nw)

flows;

VR = volume ratio;

v = total flow rate in the weaving segment (pc/h);

N = total number of lanes in the weaving segment;

L = length of the weaving segment (m); and

a, b, c, d = constants of calibration.

#### Zone di scambio (8)

EXHIBIT 24-7. CRITERIA FOR UNCONSTRAINED VERSUS CONSTRAINED OPERATION OF WEAVING SEGMENTS

Configuration	Number of Lanes Required for Unconstrained Operation, N <sub>w</sub>	N <sub>w</sub> (max)
Type A	1.21(N) VR <sup>0.571</sup> L <sup>0.234</sup> /S <sub>w</sub> <sup>0.438</sup>	1.4
Type B	$N[0.085 + 0.703VR + (71.57/L) - 0.0112(S_{nw} - S_{w})]$	3.5
Type C	$N[0.761 + 0.047VR - 0.00036L - 0.0031(S_{nw} - S_{w})]$	$3.0^{a}$

#### Note:

a. For two-sided weaving segments, all freeway lanes may be used by weaving vehicles.

#### Zone di scambio (9)

$$S = \frac{V}{\left(\frac{V_{W}}{S_{W}}\right) + \left(\frac{V_{NW}}{S_{NW}}\right)}$$
(24-5)

where

S = space mean speed of all vehicles in the weaving segment (km/h),

 $S_w$  = space mean speed of weaving vehicles in the weaving segment (km/h),

 $S_{nw}$  = space mean speed of nonweaving vehicles in the weaving segment

(km/h),

v = total flow rate in the weaving segment (pc/h),

 $v_w$  = weaving flow rate in the weaving segment (pc/h), and

 $v_{nw}$  = nonweaving flow rate in the weaving segment (pc/h).

$$D = \frac{\left(\frac{V}{N}\right)}{S}$$
 (24-6)

where D is the average density for all vehicles in the weaving segment (pc/km/ln).

### Zone di scambio (10)

EXHIBIT 24-8. CAPACITY FOR VARIOUS WEAVING SEGMENTS

			s—120-km/h Free h of Weaving Segm		
Volume Ratio, VR	150	300	450	600	750a
		Three-Lar	e Segments		
0.10	6050	6820	7200b	7200b	7200b
0.20	5490	6260	6720	7050	7200b
0.30	5040	5780	6240	6570	6830
0.40	4660	5380	5530	5800€	6050c
0.45d	4430	5000≎	5270°	5550°	5800°
		Four-Lan	e Segments		
0.10	8060	9010	9600b	9600b	9600b
0.20	7320	8340	8960	9400	9600b
0.30	6710	7520°	8090c	8510°	8840
0.35e	6370°	7160°	7700c	8000f	8000f
		Five-Lane	Segments	•	
0.10	10,080	11,380	12,000b	12,000b	12,000b
0.209	9150	10,540°	11,270c	11,790°	12,000b
	(B) Type A	Weaving Segment	s—110-km/h Free	-Flow Speed	
		Lengt	h of Weaving Segm	ent (m)	
Volume Ratio, VR	150	300	450	600	750ª
		Three-Lan	e Segments		
0.10	5770	6470	6880	7050b	7050b
0.20	5250	5960	6280	6680	6900
0.30	4830	5520	5940	6240	6480
0.40	4480	5150	5250c	5530°	5760°
0.45d	4190	4790°	5020c	5310≎	5530°
		Four-Lan	e Segments		
0.10	7690	8630	9180	9400b	9400b
0.20	7000	7940	8500	8900	9200
0.30	6440	7180°	7710°	8090c	8390c
0.35e	6080c	6830c	7360°	7730°	8030c
20		Five-Lane	Segments		
0.10	9610	10,790	11,470	11,750b	11,750b
0.209	8750	10,030°	10,690°	11,160°	11,520°

Refer to the last page of Exhibit 24-8.

EXHIBIT 24-8 (CONTINUED). CAPACITY FOR VARIOUS WEAVING SEGMENTS

	(C) Type A	Weaving Segment	s—100-km/h Free-	-Flow Speed				
	Length of Weaving Segment (m)							
Volume Ratio, VR	150	300	450	600	750a			
		Three-Lan	e Segments	2				
0.10	5470	6110	6480	6730	6910			
0.20	5000	5640	6020	6290	6490			
0.30	4610	5240	5620	5900	6110			
0.40	4290	4900	4990c	5250°	5460c			
0.45 <sup>d</sup>	4000	4520°	4790°	5040°	5200°			
		Four-Lane	e Segments					
0.10	7300	8150	8630	8970	9220			
0.20	6660	7520	8030	8380	8650			
0.30	6080c	6830c	7310¢	7650°	7920c			
0.35e	5780°	6520°	6990c	7330°	7600c			
		Five-Lane	Segments					
0.10	9120	10,180	10,790	11,210	11,500b			
0.209	8330	9500€	10,080°	10,510°	10,830c			
	(D) Type A	Weaving Segmen	ts-90-km/h Free-	Flow Speed				
		Lengt	h of Weaving Segm	ent (m)				
Volume Ratio, VR	150	300	450	600	750a			
		Three-Lan	e Segments	ž				
0.10	5160	5730	6050	6270	6430			
0.20	4730	5310	5650	5880	6060			
0.30	4380	4850	5290	5540	5720			
0.40	4090	4420°	4730c	4960¢	5140c			
0.45d	3850	4240°	4470°	4780°	4950°			
		Four-Lane	e Segments					
0.10	6880	7460	8070	8350	8570			
0.20	6310	7080	7530	7840	8080			
0.30	5790°	6360 <sup>c</sup>	6890°	7190°	7430°			
0.35e	5520°	6180°	6590¢	6910¢	7140¢			
		Five-Lane	Segments					
0.10	8600	9550	10,080	10,440	10,710			
0.209	8060°	8930¢	9460¢	9820¢	10,100¢			

Notes: Refer to the last page of Exhibit 24-8.

### Zone di scambio (11)

EXHIBIT 24-8 (CONTINUED). CAPACITY FOR VARIOUS WEAVING SEGMENTS

	(E) Type B	Weaving Segment:	—120-km/h Free-	-Flow Speed				
	Length of Weaving Segment (m)							
Volume Ratio, VR	150	300	450	600	750a			
6.00		Three-Lan	e Segments	U zd	/			
0.10	7200b	7200b	7200 <sup>b</sup>	7200b	7200 <sup>b</sup>			
0.20	6830	7200b	7200b	7200b	7200b			
0.30	6120	6690	7010	7200b	7200b			
0.40	5550	6100	6430	6670	6850			
0.50	5100	5630	5950	6180	6370			
0.60	4750	5260	5570	5800	5980			
0.70	4180	4990	5290	5520	5690			
0.80 <sup>h</sup>	3900	4820	5000f	5000f	5000f			
- Ct	- 2	Four-Lane	Segments	2.				
0.10	9600b	9600b	9600b	9600b	9600b			
0.20	9110	9600b	9600b	9600b	9600b			
0.30	8170	8910	9350	9600b	9600b			
0.40	7400	8140	8570	8890	9130			
0.50	6670°	7500	7930	8000 <sup>f</sup>	8000f			
0.60	6070°	6670f	6670f	6670f	6670f			
0.70	5580¢	5760f	5760f	5760f	5760f			
0.80h	5000f	5000f	5000f	5000f	5000f			
	-	Five-Lane	Segments		•			
0.10	12,000b	12,000b	12,000b	12,000b	12,000b			
0.20	11,390	12,000b	12,000b	12,000b	12,000b			
0.30	10,210	11,140	11,690	12,000b	12,000b			
0.40	9270°	10,000f	10,000f	10,000f	10,000f			
0.50	8000f	8000f	8000f	8000f	8000f			
0.60	6670 <sup>f</sup>	6670 <sup>f</sup>	6670 <sup>f</sup>	6670 <sup>f</sup>	6670 <sup>f</sup>			
0.70	5760f	5760f	5760f	5760f	5760f			
0.80h	5000f	5000f	5000f	5000f	5000f			

Refer to the last page of Exhibit 24-8.

EXHIBIT 24-8 (CONTINUED). CAPACITY FOR VARIOUS WEAVING SEGMENTS

	(1) 19po b	Weaving Segments						
1	Length of Weaving Segment (m)							
Volume Ratio, VR	150	300	450	600	750a			
		Three-Lan	e Segments		***			
0.10	7050b	7050b	7050b	7050b	7050b			
0.20	6460	6950	7050b	7050b	7050b			
0.30	5810	6320	6620	6830	6980			
0.40	5280	5790	6090	6300	6470			
0.50	4860	5350	5650	5860	6030			
0.60	4550	5010	5300	5510	5680			
0.70	4320	4770	5050	5250	5410			
0.80h	3650	4600	4880	5000f	5000 <sup>f</sup>			
		Four-Lane	Segments					
0.10	9400b	9400b	9400b	9400b	9400b			
0.20	8610	9270	9400b	9400b	9400b			
0.30	7750	8430	8820	9100	9310			
0.40	7040	7720	8120	8400	8620			
0.50	6370°	7140	7530	7820	8000f			
0.60	5810°	6670f	6670f	6670f	6670f			
0.70	5350¢	5760f	5760f	5760f	5760f			
0.80h	5000f	5000f	5000f	5000f	5000f			
		Five-Lane	Segments					
0.10	11,750b	11,750b	11,750b	11,750b	11,7505			
0.20	10,760	11,590	11,750b	11,750b	11,750b			
0.30	9690	10,540	11,030	11,370	11,640			
0.40	8830c	9650	10,000f	10,000f	10,000f			
0.50	7960€	8000f	8000f	8000f	8000f			
0.60	6670 <sup>f</sup>	6670 <sup>f</sup>	6670 <sup>f</sup>	6670 <sup>f</sup>	6670 <sup>f</sup>			
0.70	5760f	5760f	5760f	5760f	5760f			
0.80h	5000f	5000f	5000f	5000f	5000f			

Notes: Refer to the last page of Exhibit 24-8.

#### Zone di scambio (12)

EXHIBIT 24-8 (CONTINUED). CAPACITY FOR VARIOUS WEAVING SEGMENTS

	(G) Type B	Weaving Segment	s—100-km/h Free-	Flow Speed	
		Lengt	h of Weaving Segm	ent (m)	
Volume Ratio, VR	150	300	450	600	750a
		Three-Lan	e Segments		
0.10	6750	6900b	6900b	6900b	6900b
0.20	6070	6510	6750	6900b	6900b
0.30	5490	5950	6210	6400	6540
0.40	5010	5470	5740	5930	6070
0.50	4620	5070	5340	5530	5680
0.60	4330	4760	5020	5220	5360
0.70	4120	4530	4790	4970	5120
0.80 <sup>h</sup>	3600	4380	4630	4820	4960
		Four-Lane	Segments		
0.10	9000	9200b	9200b	9200b	9200b
0.20	8100	8680	9010	9200b	9200b
0.30	7320	7930	8280	8530	8710
0.40	6680	7290	7650	7900	8100
0.50	6060°	6760	7120	7370	7580
0.60	5540c	6340	6670f	6670 <sup>f</sup>	6670f
0.70	5130c	5640b	5760f	5760f	5760f
0.80h	4800c	5000f	5000f	5000f	5000f
		Five-Lane	Segments		
0.10	11,250	11,500b	11,500b	11,500b	11,500b
0.20	10,120	10,850	11,260	11,500b	11,500b
0.30	9150	9910	10,350	10,660	10,890
0.40	8370¢	9110	9560	9880	10,000f
0.50	7570°	8000f	8000f	8000f	8000f
0.60	6670 <sup>f</sup>				
0.70	5760f	5760f	5760f	5760f	5760f
0.80h	5000f	5000f	5000f	5000f	5000f

EXHIBIT 24-8 (CONTINUED). CAPACITY FOR VARIOUS WEAVING SEGMENTS

	333 364	Lengti	of Weaving Segm	ent (m)	
Volume Ratio, VR	150	300	450	600	7508
		Three-Lan	e Segments		
0.10	6270	6600	6750b	6750b	6750k
0.20	5670	6050	6270	6410	6520
0.30	5150	5560	5790	5950	6070
0.40	4720	5130	5370	5540	5670
0.50	4370	4770	5010	5190	5320
0.60	4110	4500	4730	4900	5030
0.70	3910	4290	4520	4690	4820
0.80h	3440	4150	4380	4540	4670
-		Four-Lane	Segments		
0.10	8350	8800	9000p	3000p	9000b
0.20	7560	8070	8360	8550	8690
0.30	6870	7410	7720	7940	8100
0.40	6290	6840	7160	7390	7560
0.50	5740°	6360	6680	6920	7090
0.60	5270°	5990	6310	6530	6670f
0.70	4890¢	5350€	5760f	5760f	5760f
0.80h	4590¢	5000f	5000f	5000f	5000f
4.0		Five-Lane	Segments	16	71
0.10	10,440	10,990	11,250b	11,250b	11,250b
0.20	9450	10,090	10,440	10,680	10,860
0.30	8580	9260	9650	9920	10,120
0.40	7890€	8550	8950	9230	9450
0.50	7170°	7960	8000f	8000f	8000f
0.60	6580°	6670 <sup>f</sup>	6670 <sup>f</sup>	6670 <sup>f</sup>	6670 <sup>f</sup>
0.70	5760f	5760f	5760f	5760f	5760f
0.80h	5000f	5000f	5000f	5000f	5000f

Notes: Refer to the last page of Exhibit 24-8.

Refer to the last page of Exhibit 24-8.

### Zone di scambio (13)

EXHIBIT 24-8 (CONTINUED). CAPACITY FOR VARIOUS WEAVING SEGMENTS

	(I) Type C I	Weaving Segments						
_	Length of Weaving Segment (m)							
Volume Ratio, VR	150	300	450	600	750a			
		Three-Lane	Segments					
0.10	7200b	7200b	7200b	7200b	7200b			
0.20	6590	7200b	7200b	7200b	7200b			
0.30	5890	6540	6930	7200	7200b			
0.40	5530	5960	6350	6620	6840			
0.50i	4890	5500	5870	6140	6360			
		Four-Lane	Segments					
0.10	9600b	9600b	9600b	9600b	9600b			
0.20	8780	9600b	9600b	9600b	9600b			
0.30	7850	8720	9230	9590	9600b			
0.40	7110	7950	8470	8750f	8750f			
0.50i	6520	7000f	7000 <sup>f</sup>	7000f	7000f			
		Five-Lane	Segments					
0.10	12,000b	12,000b	12,000b	12,000b	12,000b			
0.20	11,520¢	12,000b	12,000b	12,000b	12,000b			
0.30	10,140¢	11,170°	11,670f	11,670f	11,670f			
0.40	8750f	8750f	8750f	8750f	8750f			
0.50i	7000f	7000 <sup>f</sup>	7000 <sup>f</sup>	7000 <sup>f</sup>	7000f			
	(J) Type C 1	Weaving Segments	—110-km/h Free-	Flow Speed				
		Length	of Weaving Segm	ent (m)				
Volume Ratio, VR	150	300	450	600	750ª			
		Three-Lane	Segments					
0.10	7010	7050b	7050b	7050b	7050b			
0.20	6240	6830	7050b	7050b	7050b			
0.30	5610	6200	6550	6790	6980			
0.40	5090	5670	6020	6270	6470			
0.50i	4680	5240	5590	5840	6030			
		Four-Lane	Segments					
0.10	9350	9400b	9400b	9400b	9400b			
0.20	8320	9100	9400b	9400b	9400b			
0.30	7470	8270	8730	9060	9300			
0.40	6240	7560	8030	8360	8620			
0.50	5830	6990	7000f	7000f	7000f			
		Five-Lane	Segments					
0.10	11,750b	11,750b	11,750b	11,750b	11,750b			
0.20	10,900¢	11,750b	11,750b	11,750b	11,750b			
0.30	9630c	10,570°	10,910	11,320	11,630			
0.40	8590¢	8750f	8750f	8750f	8750f			
0.50	7000f	7000f	7000f	7000f	7000f			

EXHIBIT 24-8 (CONTINUED). CAPACITY FOR VARIOUS WEAVING SEGMENTS

	(K) Type C	Weaving Segments	s-100-km/h Free-	Flow Speed		
	,	Length	Length of Weaving Segment (m)			
Volume Ratio, VR	150	300	450	600	750ª	
		Three-Lan	e Segments			
0.10	6570	6900b	6900b	6900b	6900b	
0.20	5890	6410	6700	6900	6900b	
0.30	5310	5850	6160	6370	6540	
0.40	4840	5370	5680	5910	6080	
0.50 <sup>i</sup>	4460	4970	5290	5510	5690	
	-	Four-Lane	Segments	ico:		
0.10	8760	9200b	9200b	9200b	9200b	
0.20	7850	8540	8930	9200	9200b	
0.30	7080	7790	8210	8500	8720	
0.40	6450	7150	7580	7880	8110	
0.50 <sup>i</sup>	5950	6630	7000 <sup>f</sup>	7000 <sup>f</sup>	7000f	
		Five-Lane	Segments			
0.10	11,500b	11,500b	11,500b	11,500b	11,500b	
0.20	10,250°	11,050℃	11,170	11,500	11,500b	
0.30	9110°	9960≎	10,260	10,620	10,900	
0.40	8170°	8750f	8750f	8750f	8750f	
0.50 <sup>i</sup>	7000f	7000f	7000f	7000f	7000f	

Refer to the last page of Exhibit 24-8.

Notes: Refer to the last page of Exhibit 24-8.

#### Zone di scambio (14)

EXHIBIT 24-8 (CONTINUED). CAPACITY FOR VARIOUS WEAVING SEGMENTS

	(L) Type C	Weaving Segmen	ts-90-km/h Free-	Flow Speed	
	Length of Weaving Segment (m)				
Volume Ratio, VR	150	300	450	600	750°
		Three-Lan	e Segments		
0.10	6120	6520	6730	6750b	6750b
0.20	5510	5970	6230	6400	6520
0.30	5000	5480	5750	5940	6090
0.40	4570	5050	5330	5530	5680
0.50i	4230	4700	4980	5180	5330
		Four-Lane	e Segments		
0.10	8150	8700	8980	9000p	9000b
0.20	7350	7960	8300	8530	8700
0.30	6660	7300	7670	7920	8110
0.40	5640	6730	7110	7370	7580
0.50i	5300	6260	6640	6900	7000f
		Five-Lane	Segments		
0.10	10,770°	11,250b	11,230	11,250b	11,250b
0.20	9580°	10,270°	10,380	10,660	10,870
0.30	8570°	9310≎	9580	9900	10,140
0.40	7720c	8470°	8750f	8750f	8750f
0.50i	7000f	7000f	7000 <sup>f</sup>	7000 <sup>f</sup>	7000 <sup>f</sup>

#### Notes:

- a. Weaving segments longer than 750 m are treated as isolated merge and diverge areas using the procedures of Chapter 25, "Ramps and Ramp Junctions."
- b. Capacity constrained by basic freeway capacity.
- c. Capacity occurs under constrained operating conditions.
- d. Three-lane Type A segments do not operate well at volume ratios greater than 0.45. Poor operations and some local queuing are expected in such cases.
- e. Four-lane Type A segments do not operate well at volume ratios greater than 0.35. Poor operations and some local queuing are expected in such cases.
- f. Capacity constrained by maximum allowable weaving flow rate: 2,800 pc/h (Type A), 4,000 (Type B), 3,500 (Type C).
- g. Five-lane Type A segments do not operate well at volume ratios greater than 0.20. Poor operations and some local queuing are expected in such cases.
- h. Type B weaving segments do not operate well at volume ratios greater than 0.80. Poor operations and some local queuing are expected in such cases.
- Type C weaving segments do not operate well at volume ratios greater than 0.50. Poor operations and some local queuing are expected in such cases.

#### Approfondimenti e Riflessioni



Inventas vitam juvat excoluisse per artes. Lasciateci migliorare la vita attraverso la scienza e l'arte (Virgilio)

